

Numéro ordre C.N.R.S.  
A.O 11350

70085  
1575/DS

1975.2  
(043)D.E.  
(e)

THÈSE  
présentée à

L'UNIVERSITE SCIENTIFIQUE ET MEDICALE  
ET L'INSTITUT NATIONAL POLYTECHNIQUE  
DE GRENOBLE

pour obtenir le grade  
DOCTEUR ES SCIENCES PHYSIQUES

par

Jean-Louis PORTESEIL

SUJET

Quelques aspects semi-microscopiques  
des mécanismes d'aimantation et  
d'hystérésis dans les ferromagnétiques  
(Figures)

Soutenue le 2 Juillet 1975 devant la commission d'Examen

MM. L. NEEL                      Président  
J.C. BARBIER  
N. BOCCARA                      Examinateurs  
P. BRISONNEAU  
R. VERGNE  
A. FERRO-MILONI                Invité



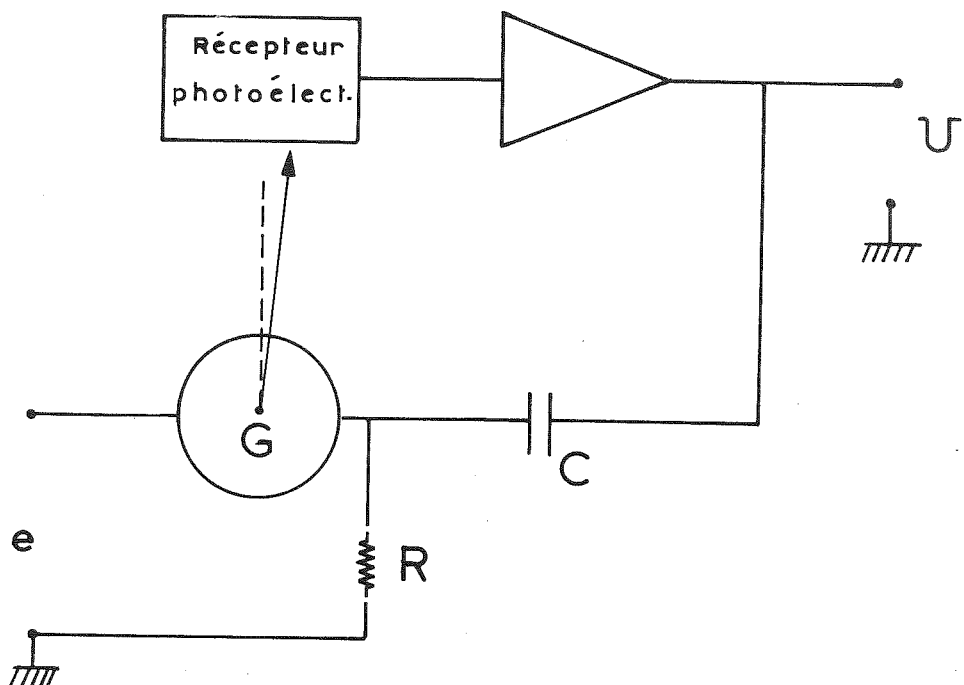


Fig.1

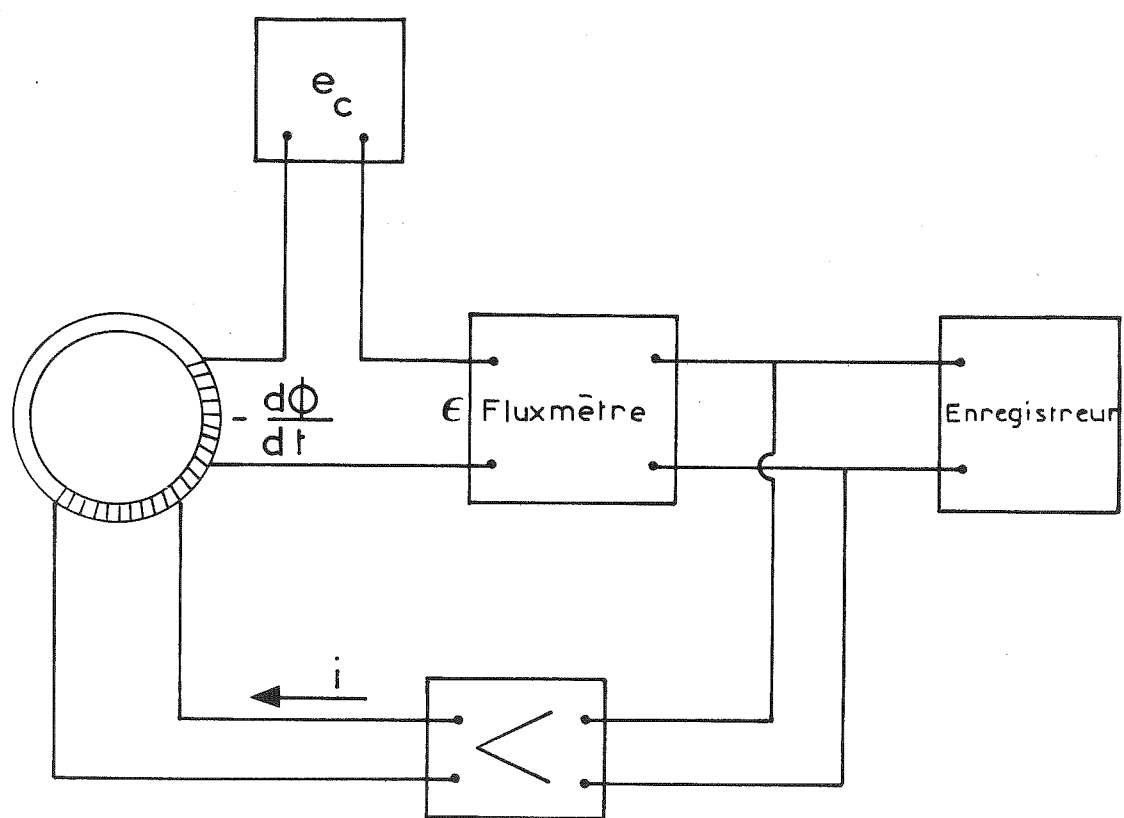
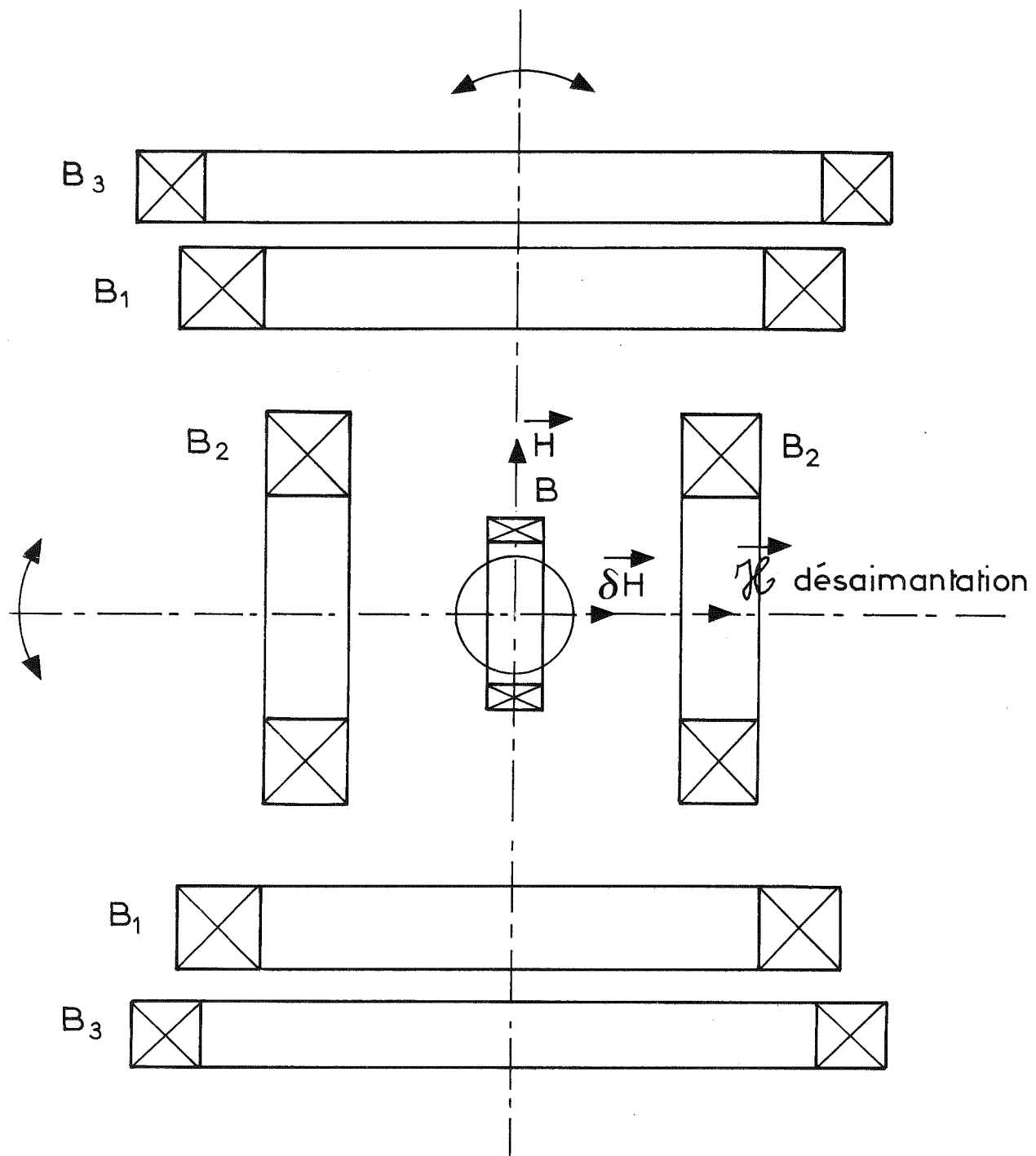


Fig.2



$B_1$  Bobines de champ principal  $H$

$B_2$  Bobines de champ additionnel  $h$  et de désaimantation

$B_3$  Bobines de champ compensation du champ terrestre

$B$  Ensemble des bobines de mesure

Le plan de figure est le plan du disque

Fig.3

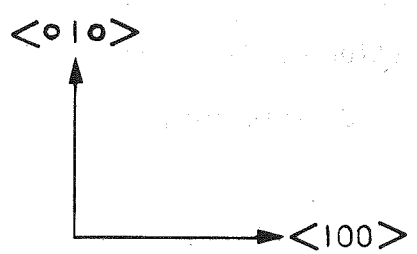
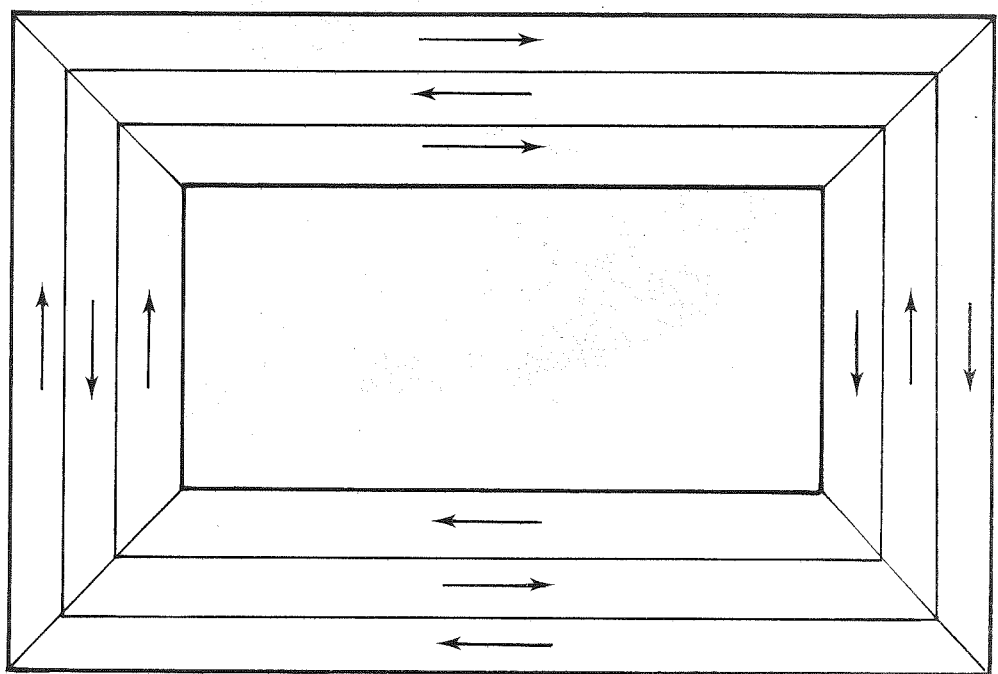
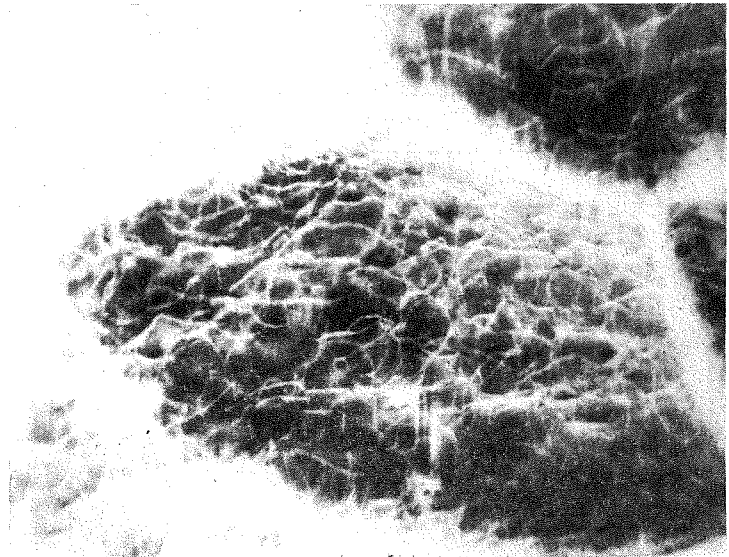


Fig. 4



Topographie aux rayons-X du cadre A

Radiation Mo  $K\alpha_1$  - Réflexion 020

Grossissement 58

Fig. 5

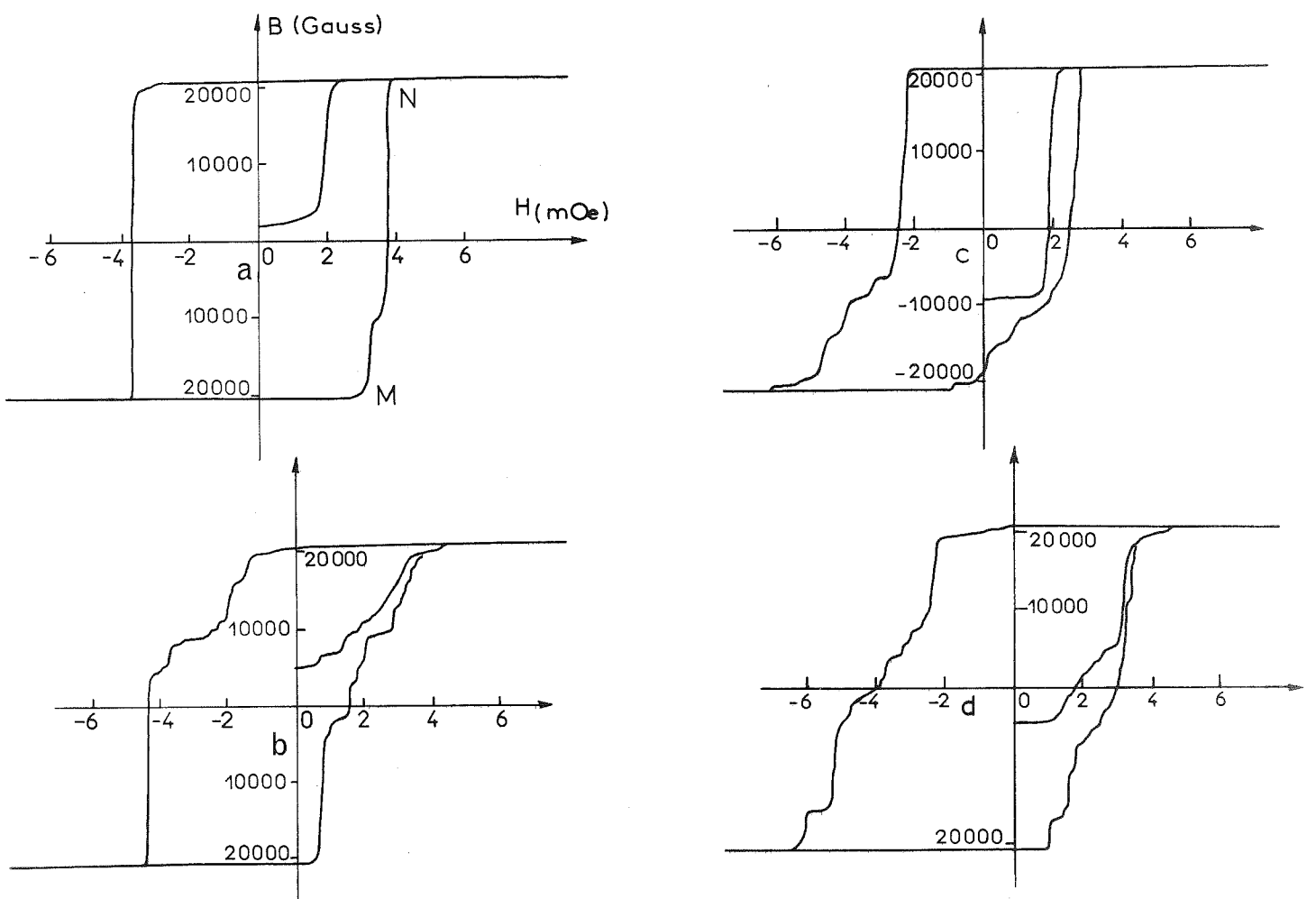


Fig. 6

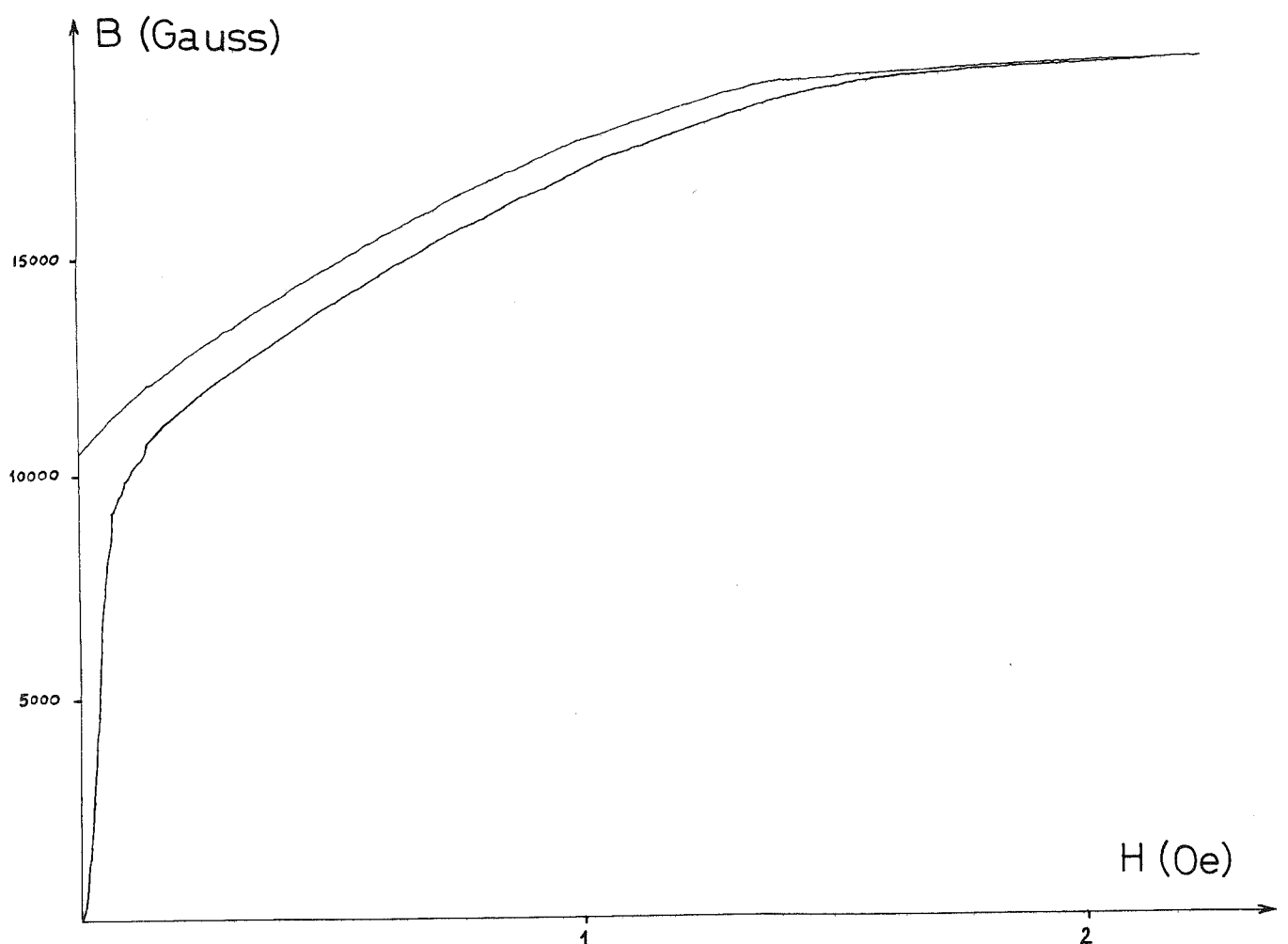


Fig. 7

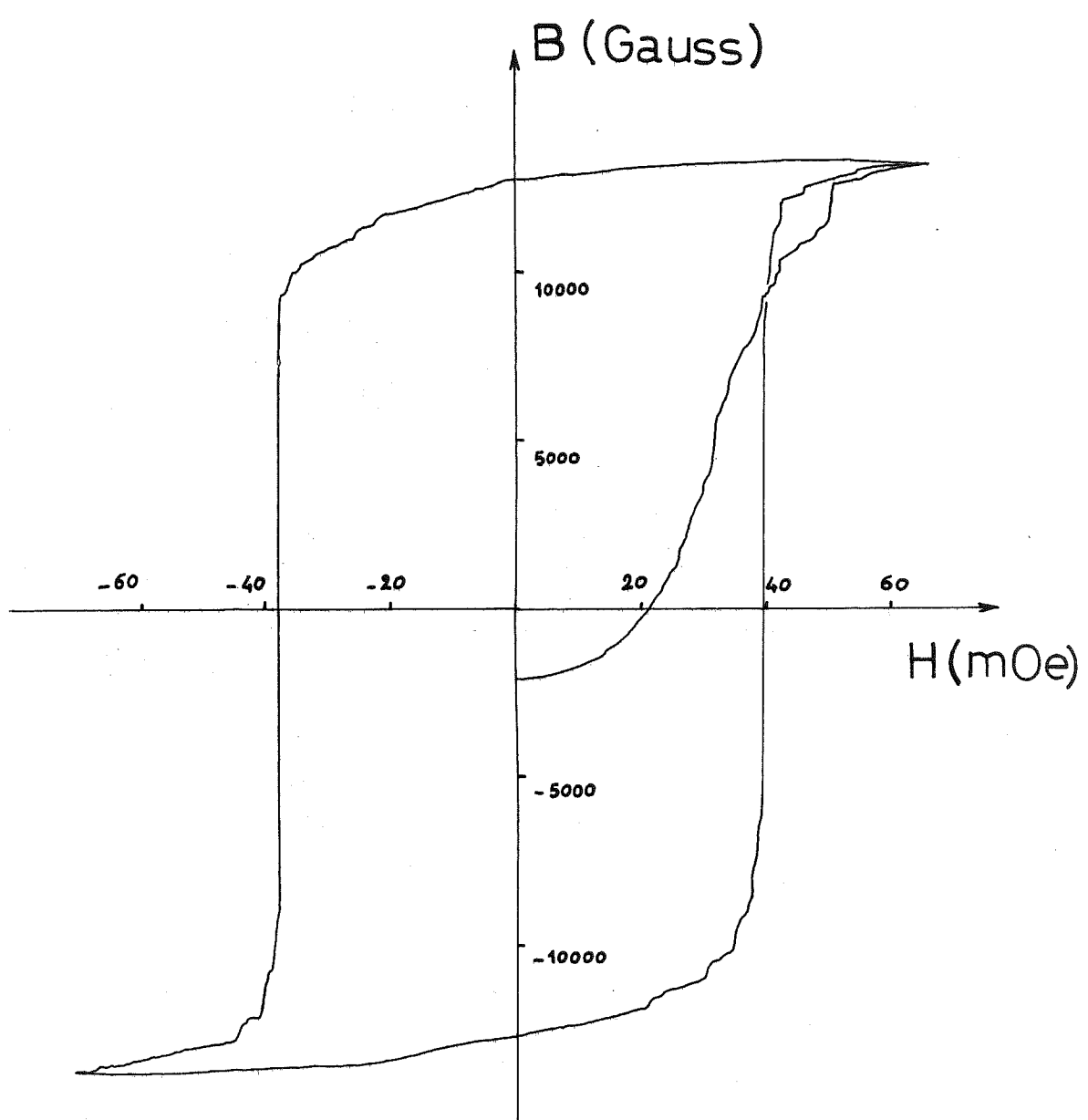


Fig. 8

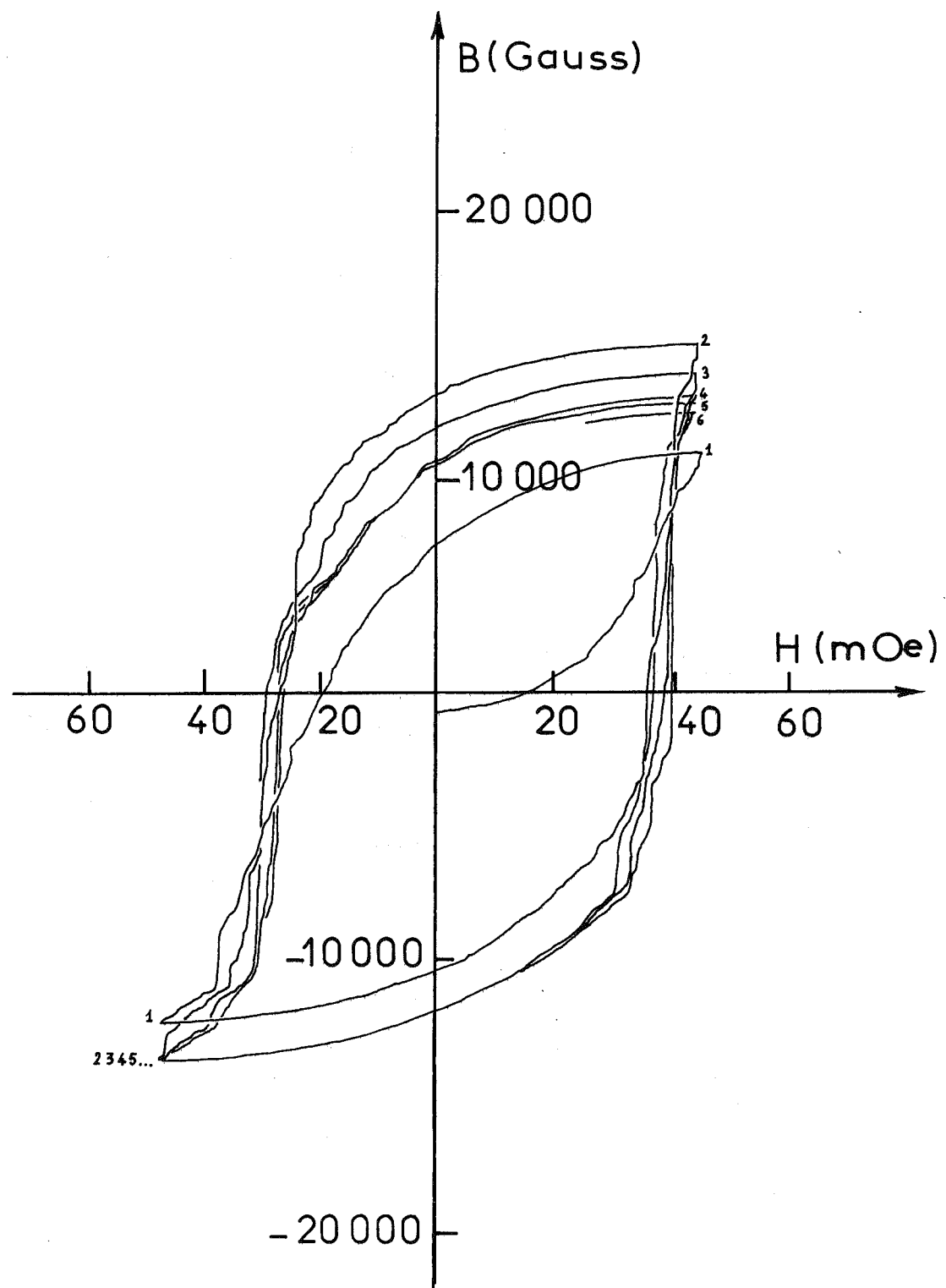


Fig. 9

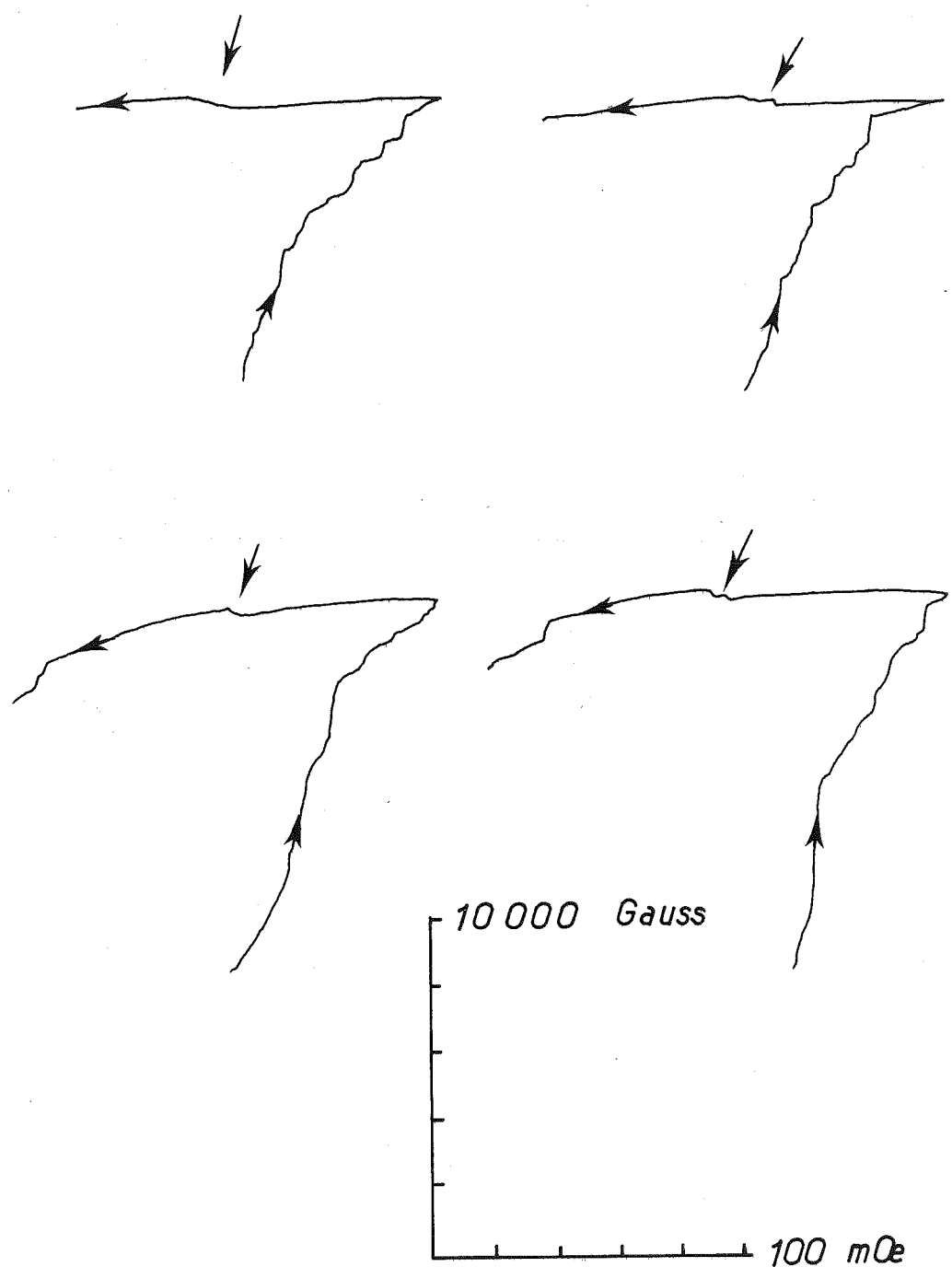


Fig. 10

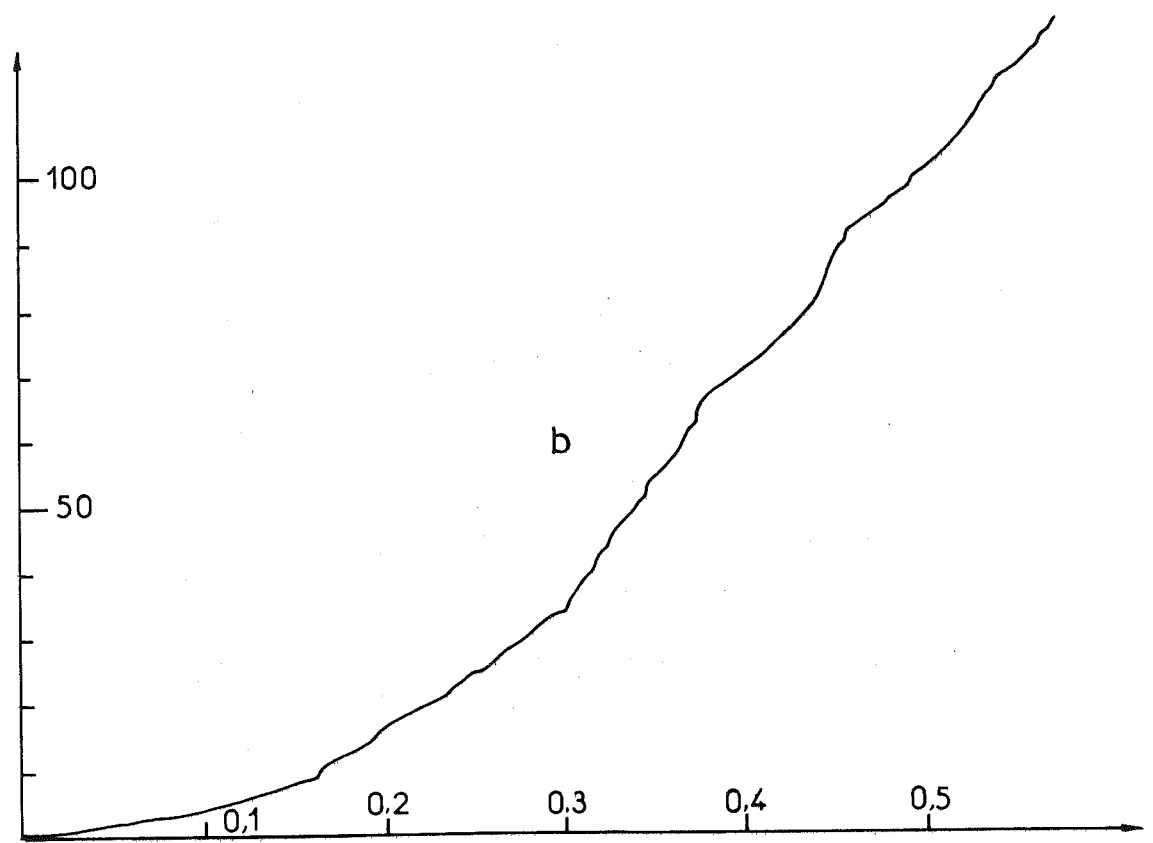
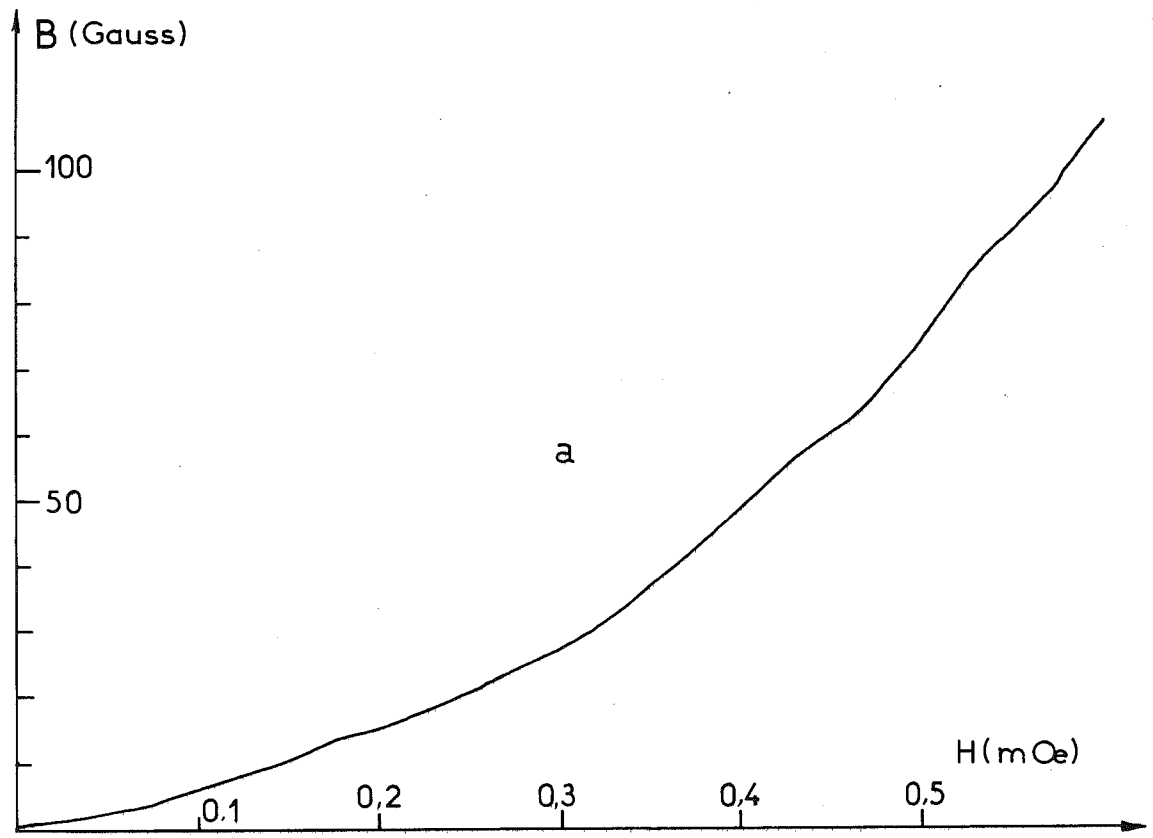


Fig.11

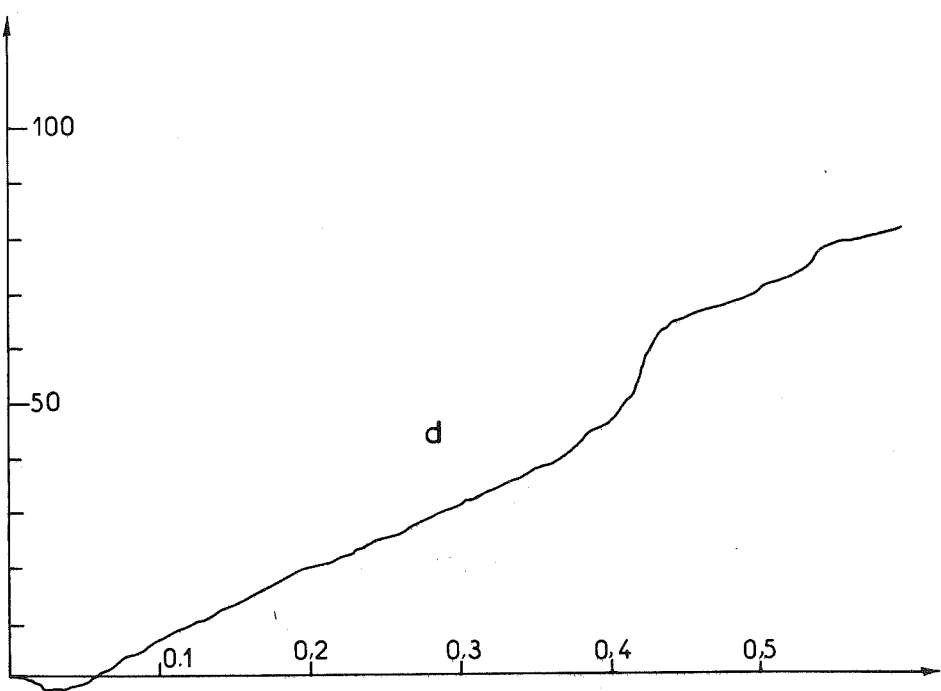
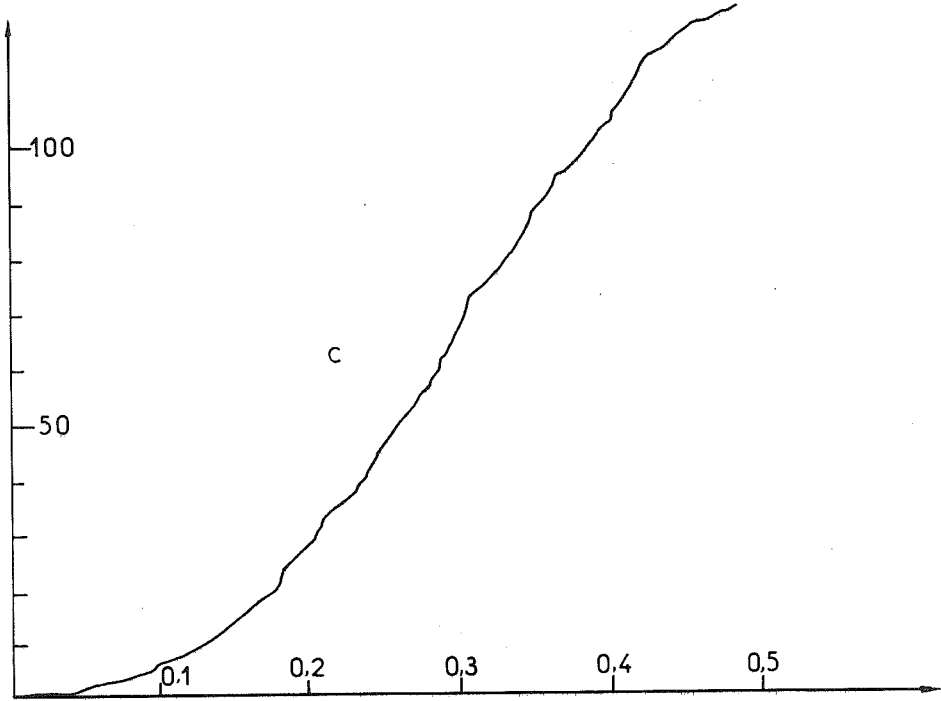
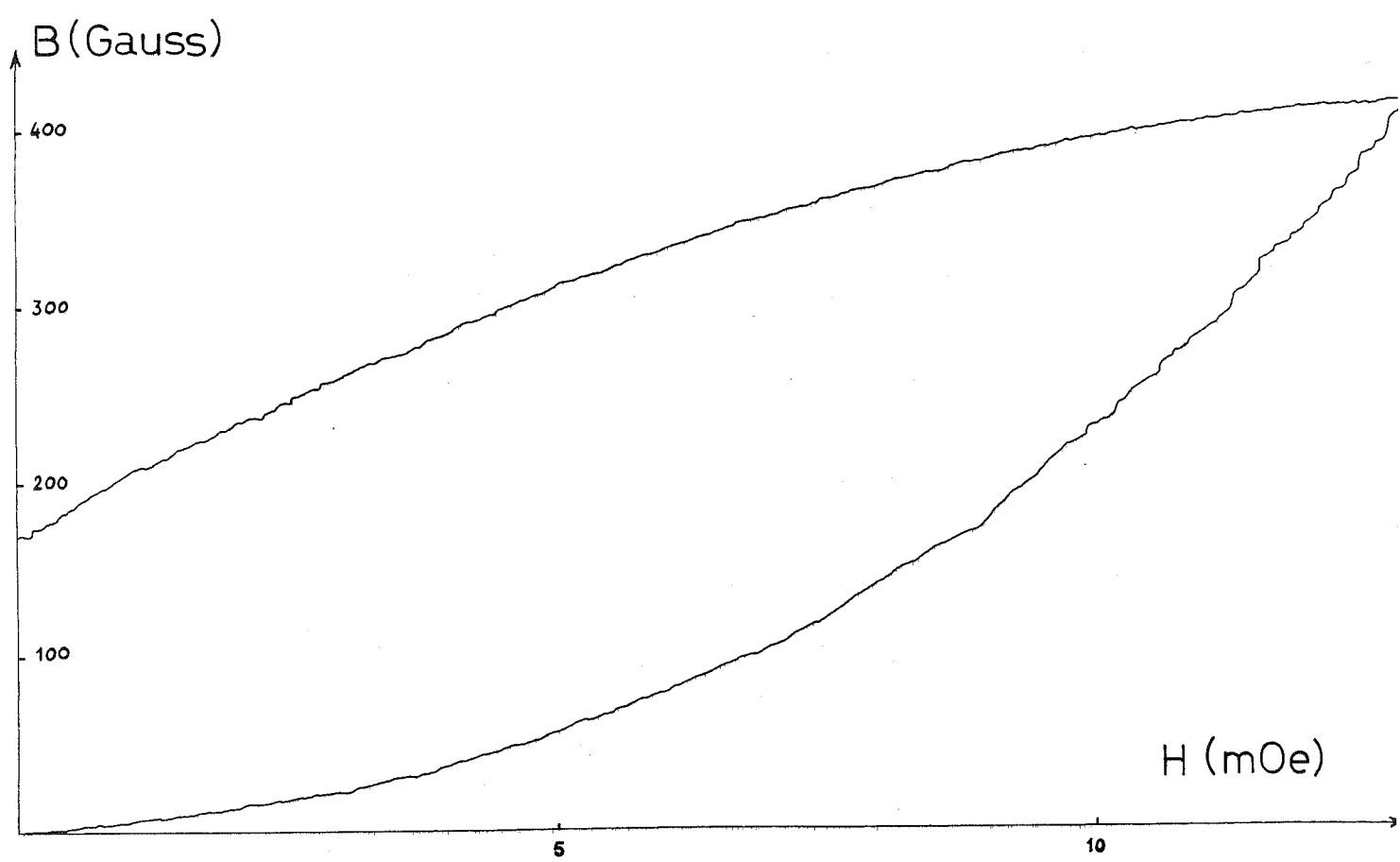


Fig.11 (Suite)



**Fig.12**

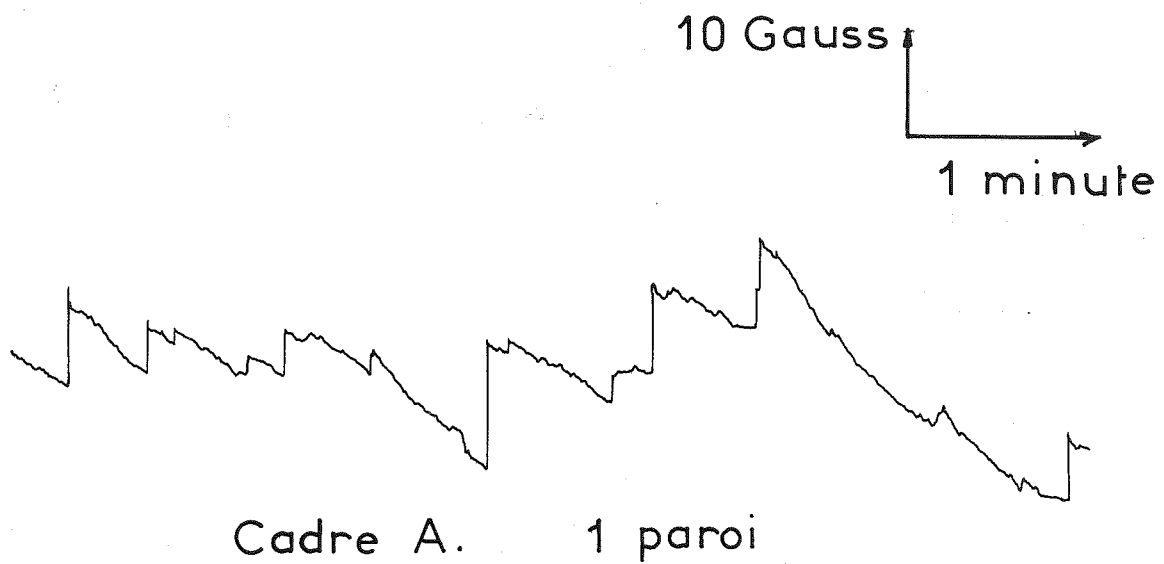


Fig. 13

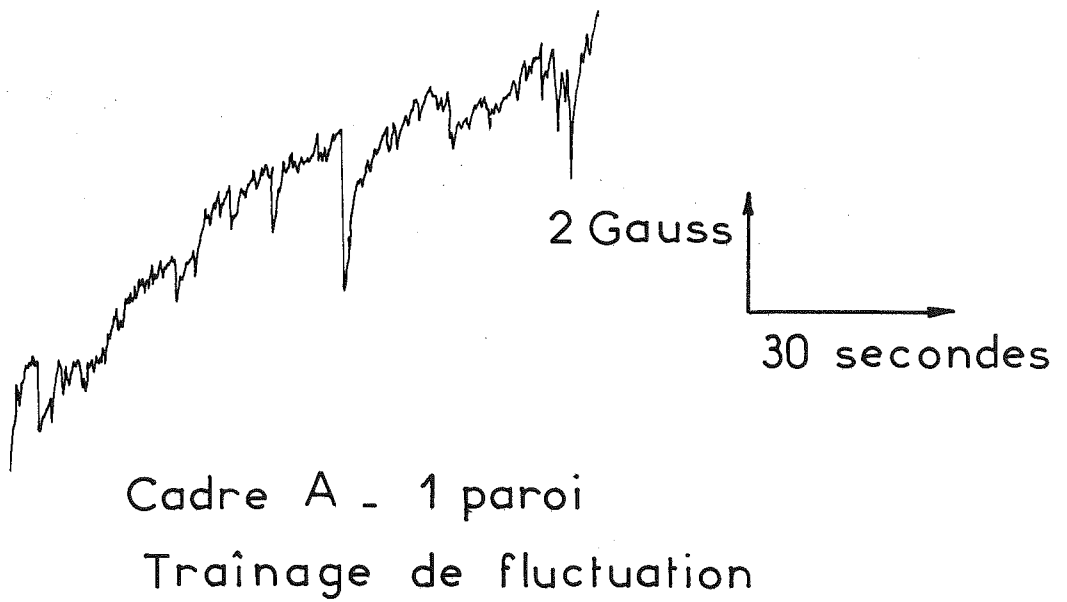


Fig. 14

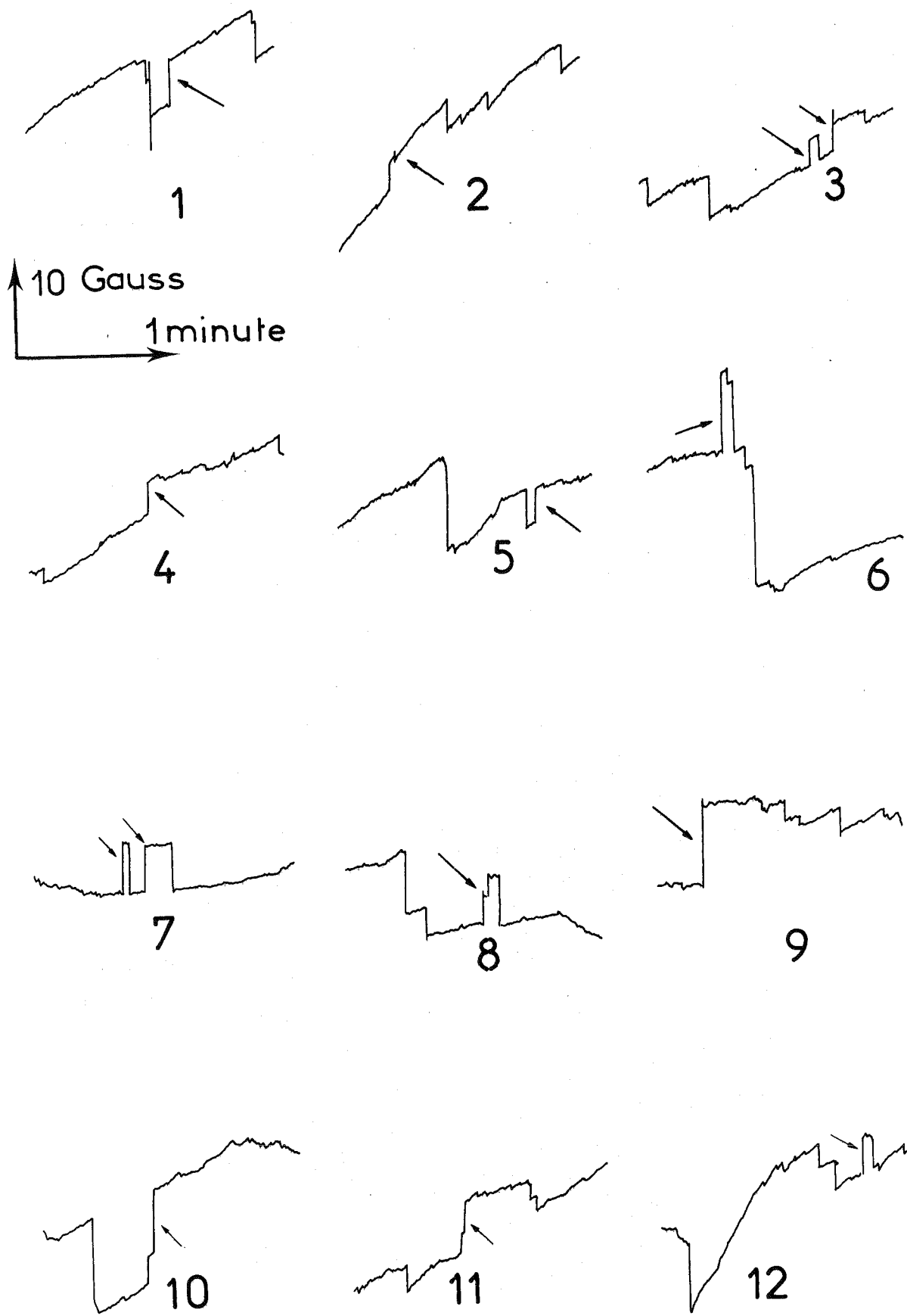


Fig. 15

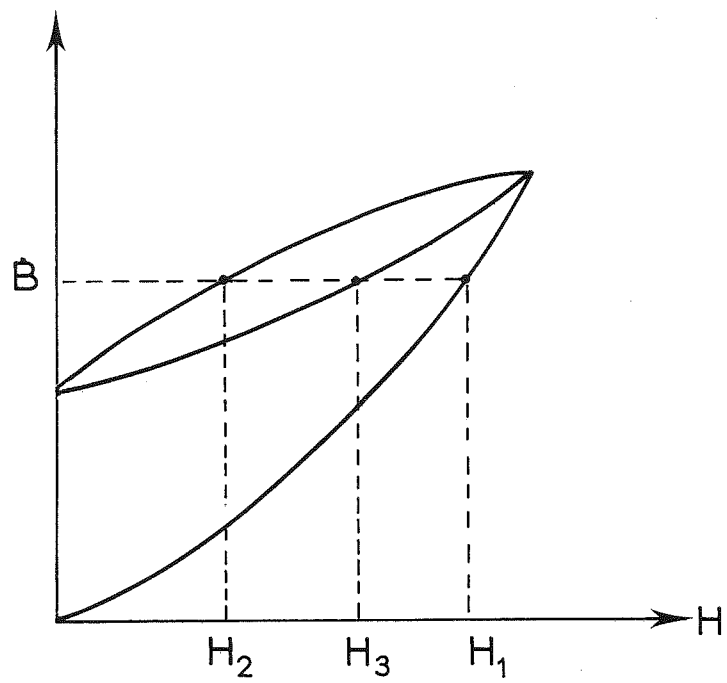


Fig. 16

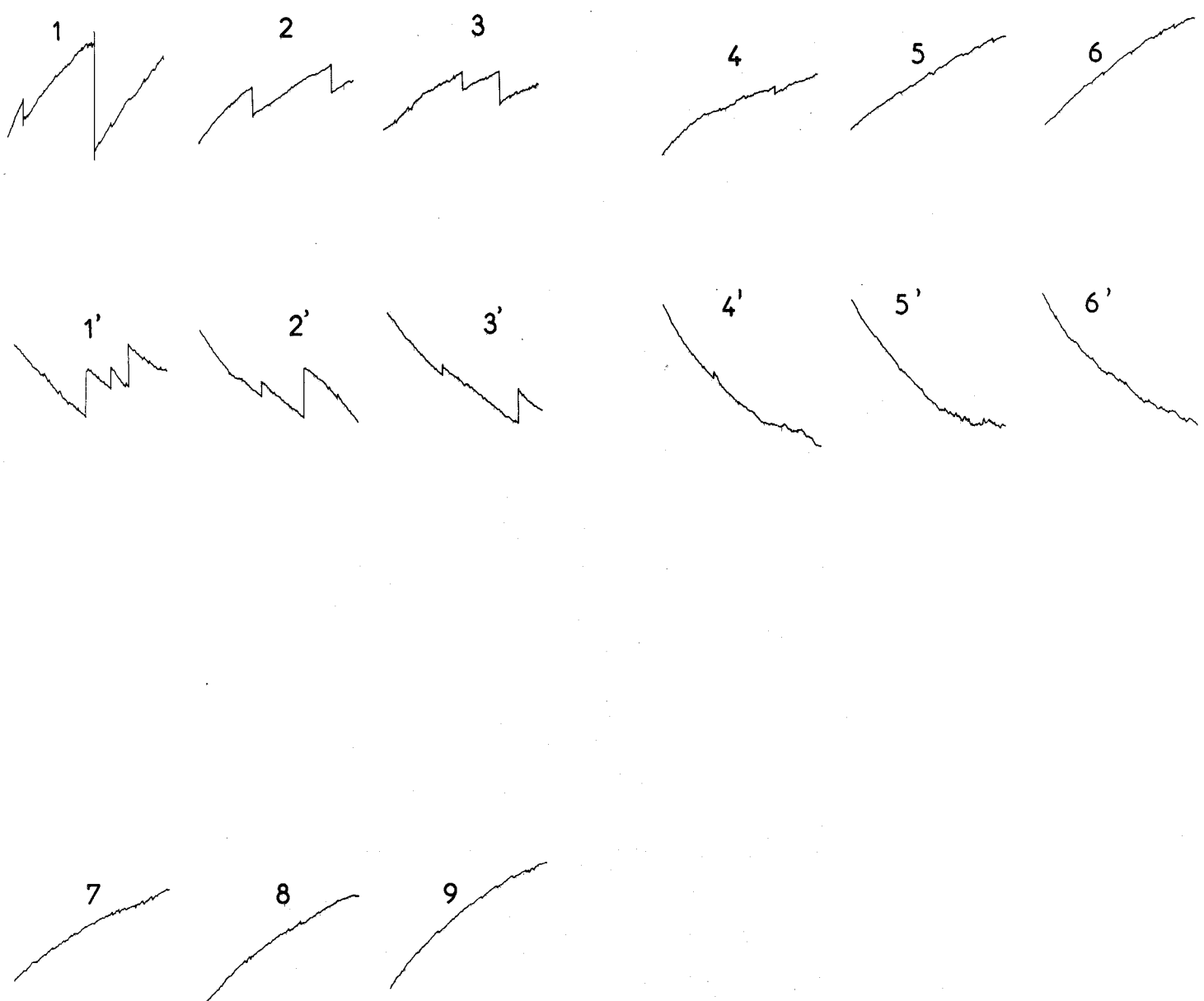


Fig. 17

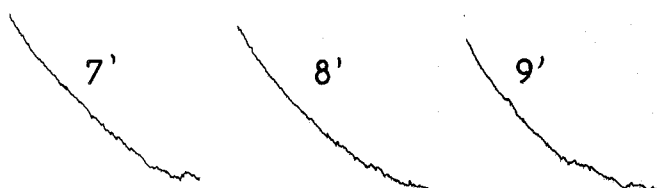
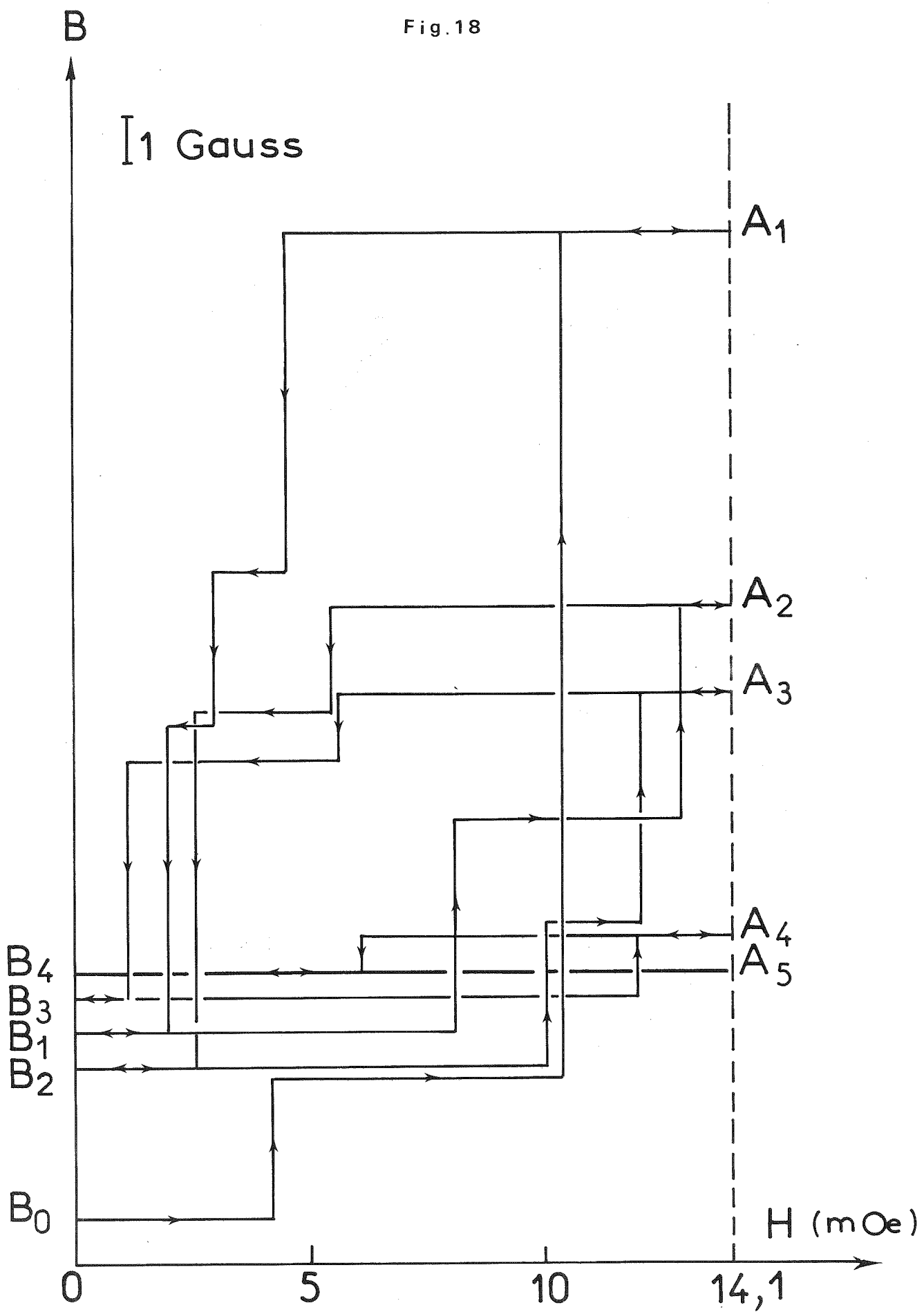


Fig. 18



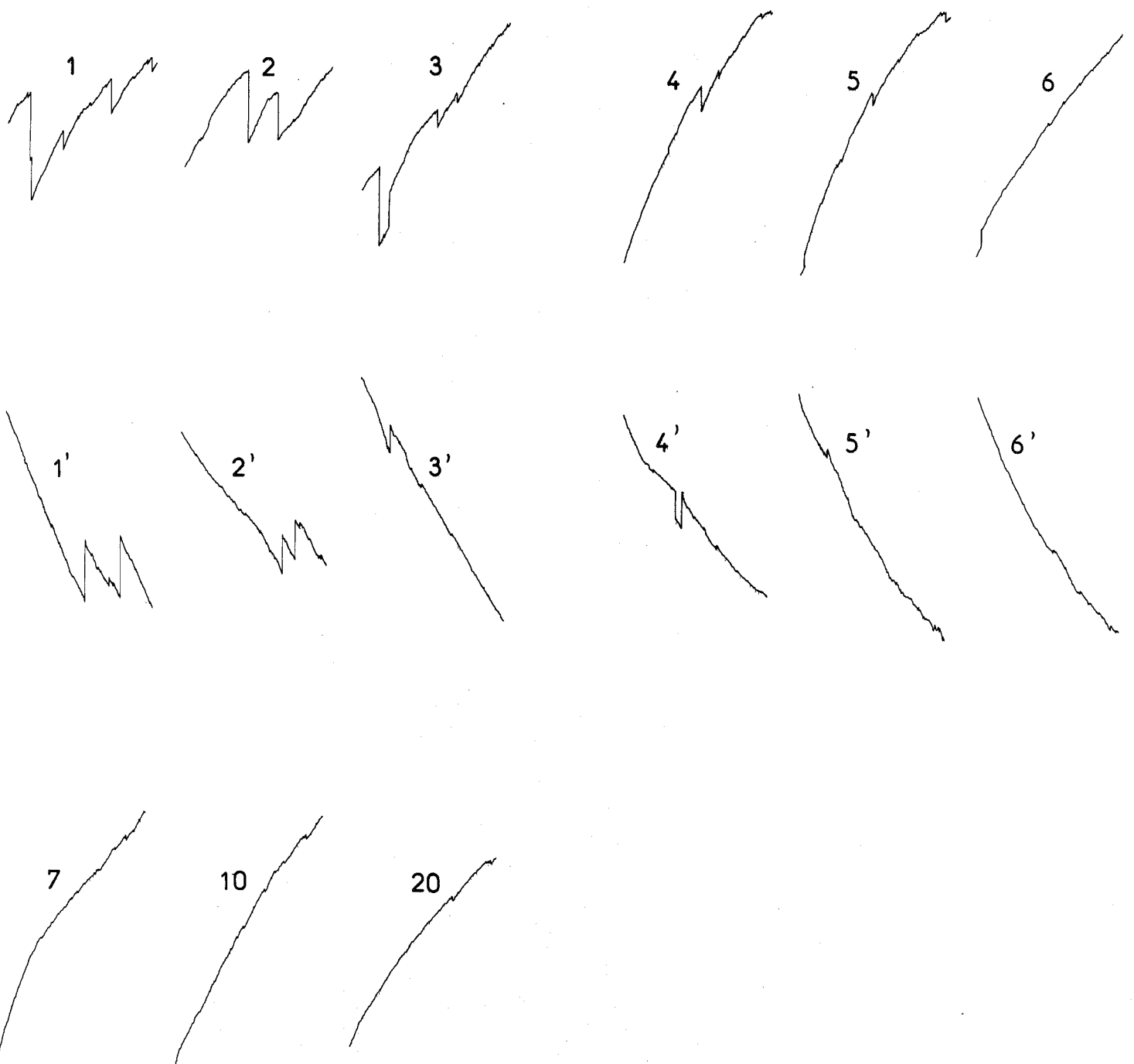
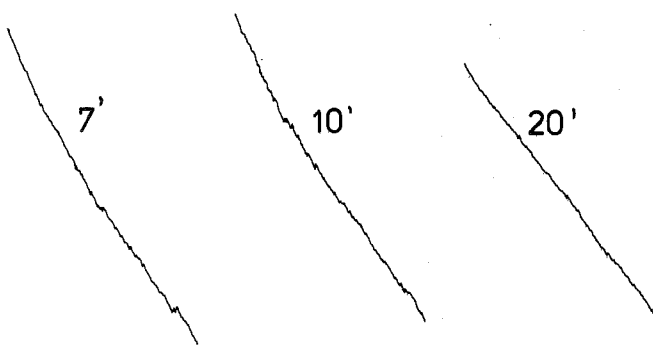


Fig. 19



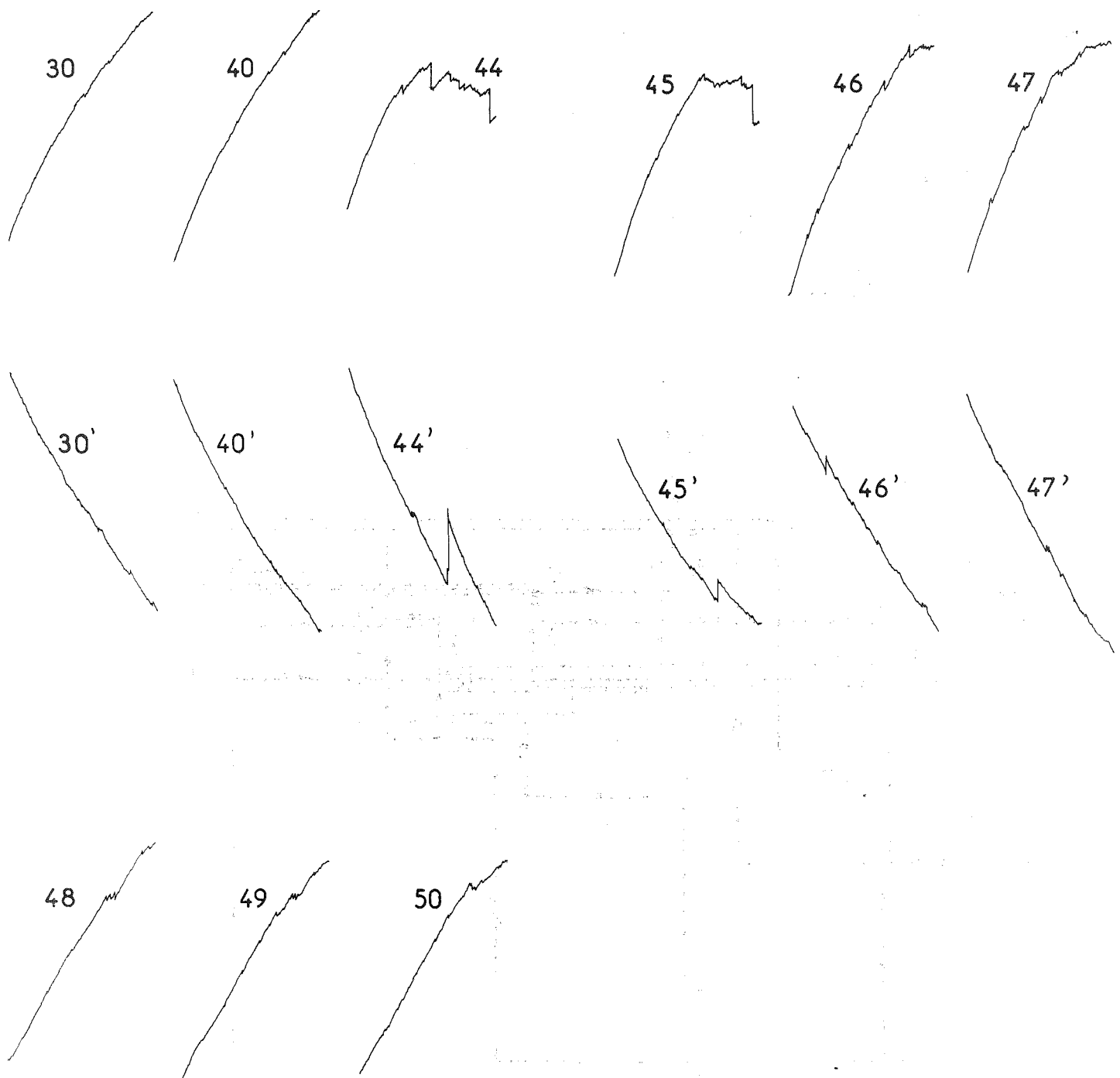
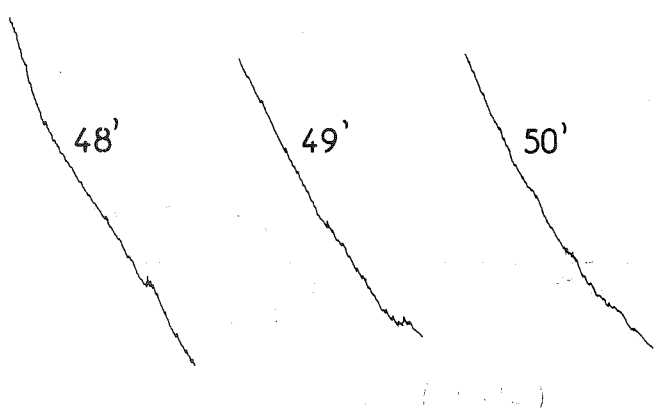


Fig. 19 (Suite)



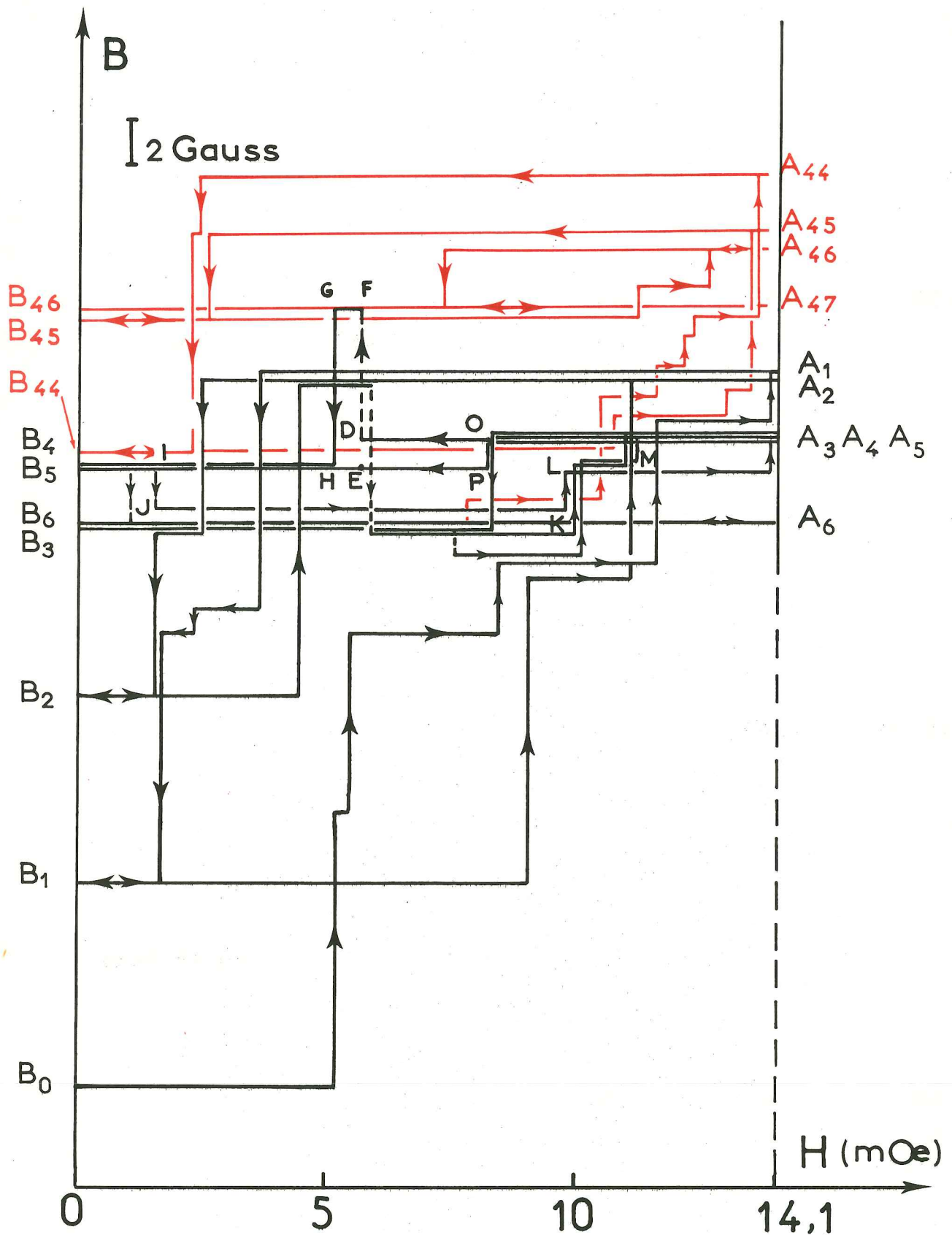
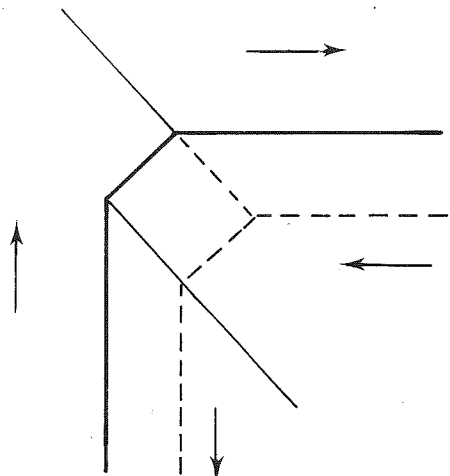
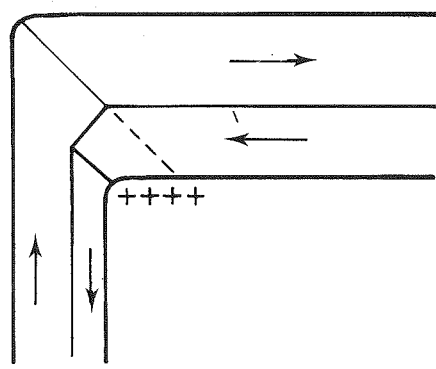


Fig. 20

**Fig. 21a**



**Fig. 21b**

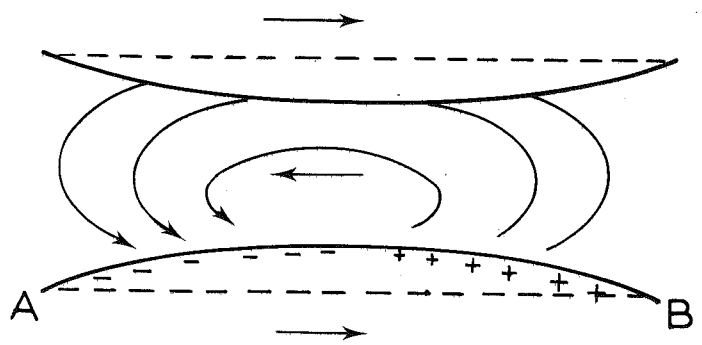


Fig. 22

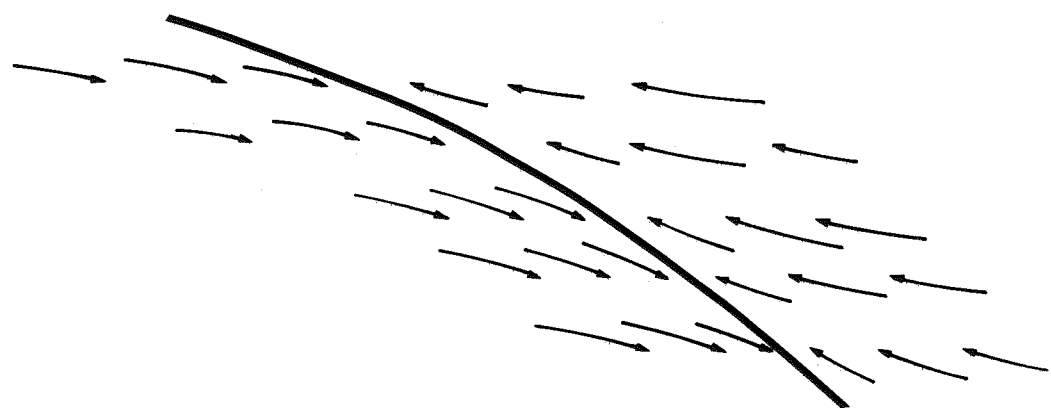


Fig. 23

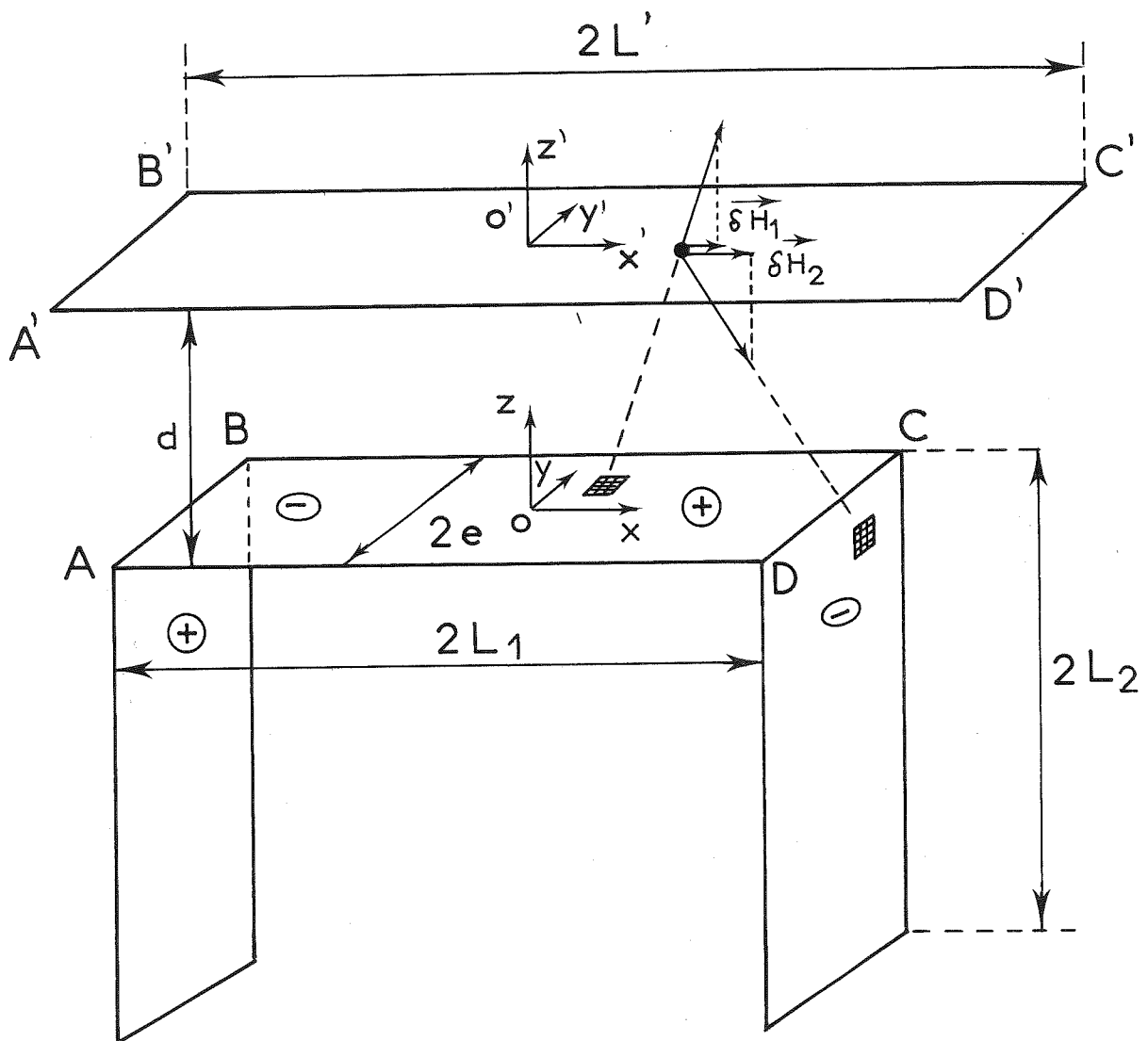


Fig. 24

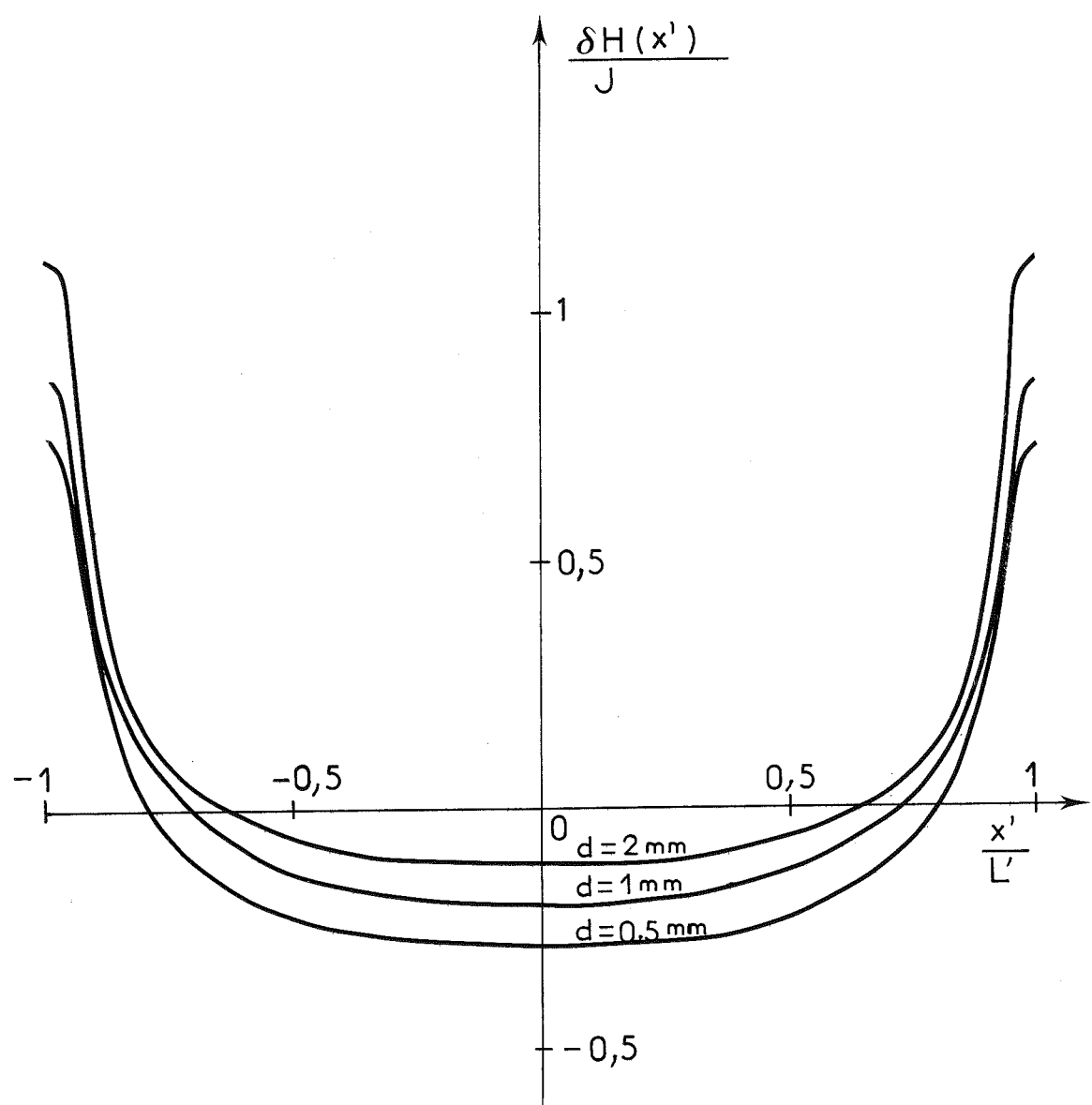


Fig. 25

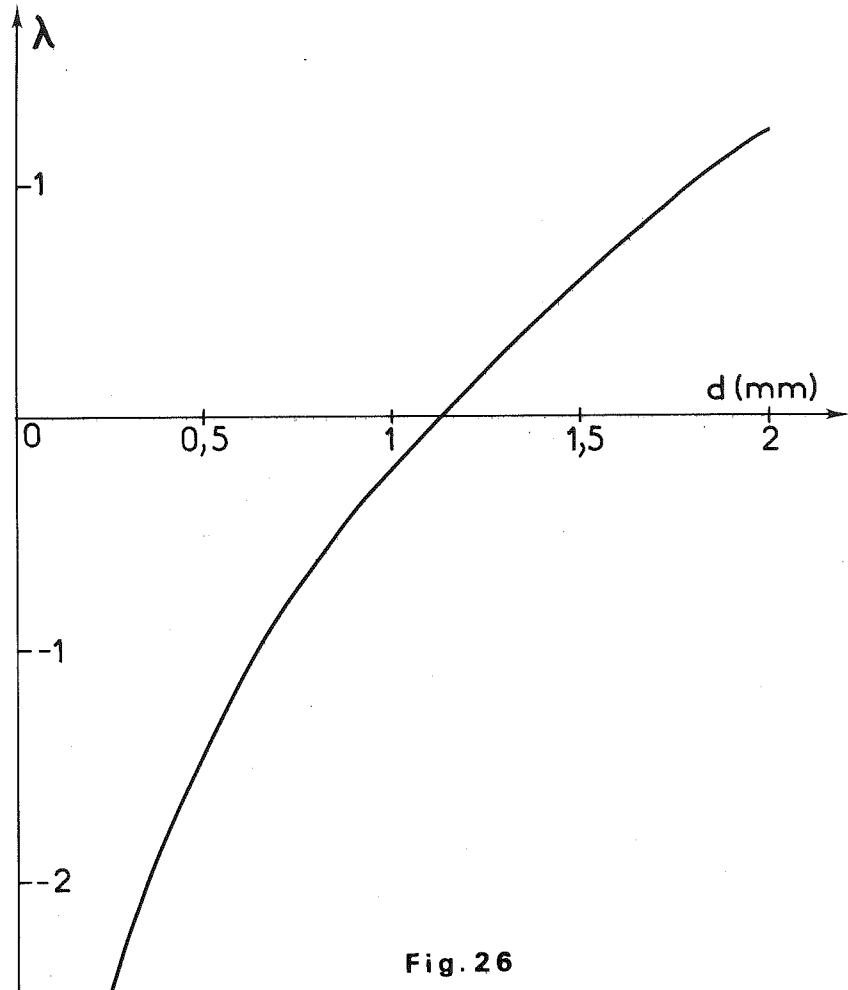


Fig. 26

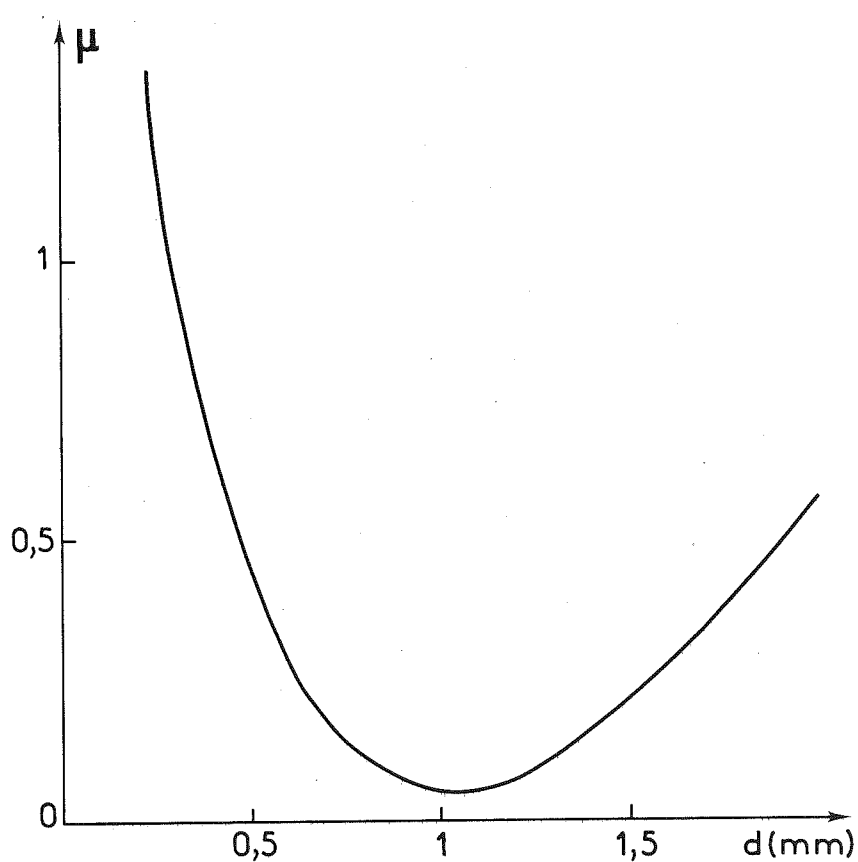


Fig. 27

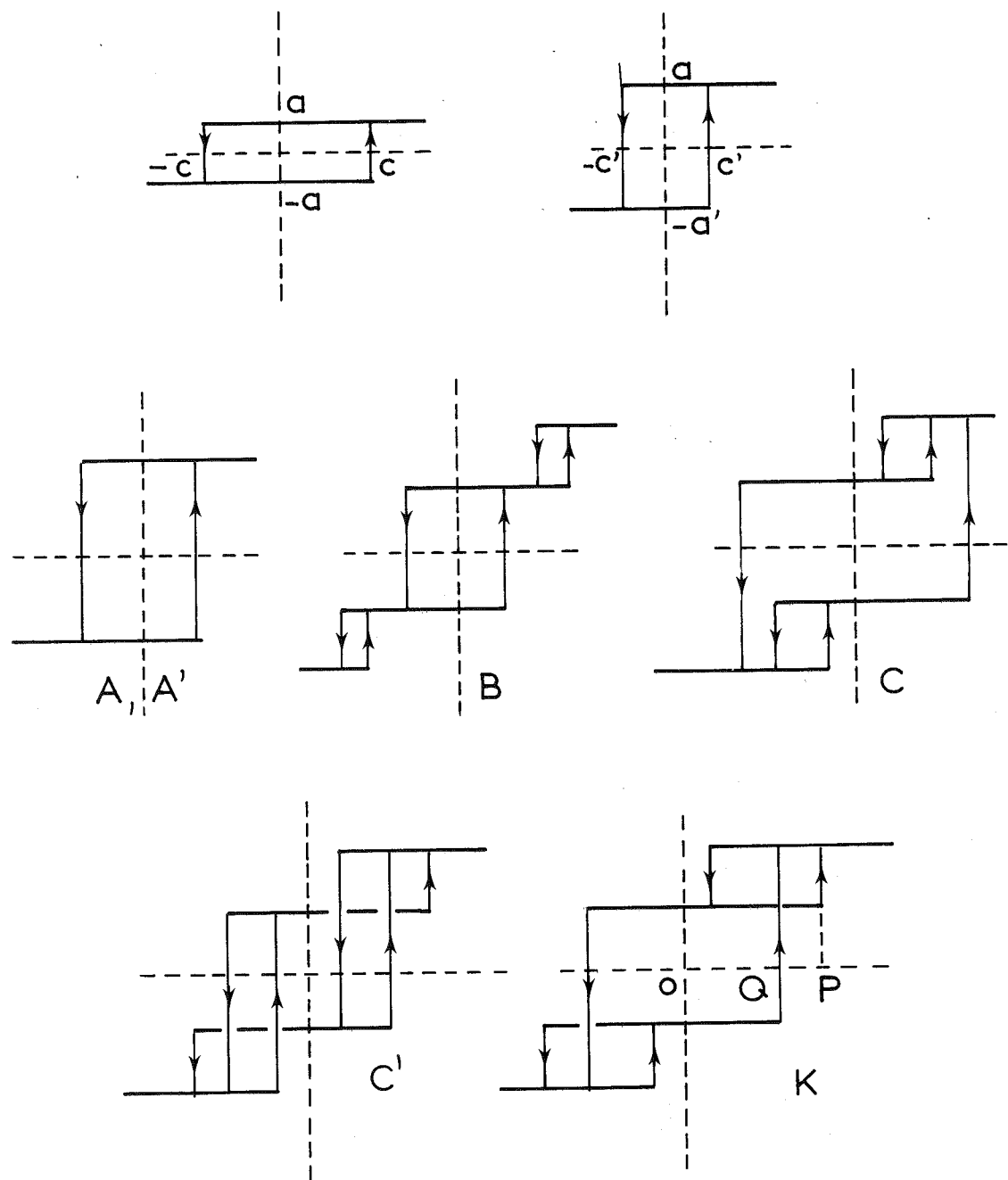


Fig. 28

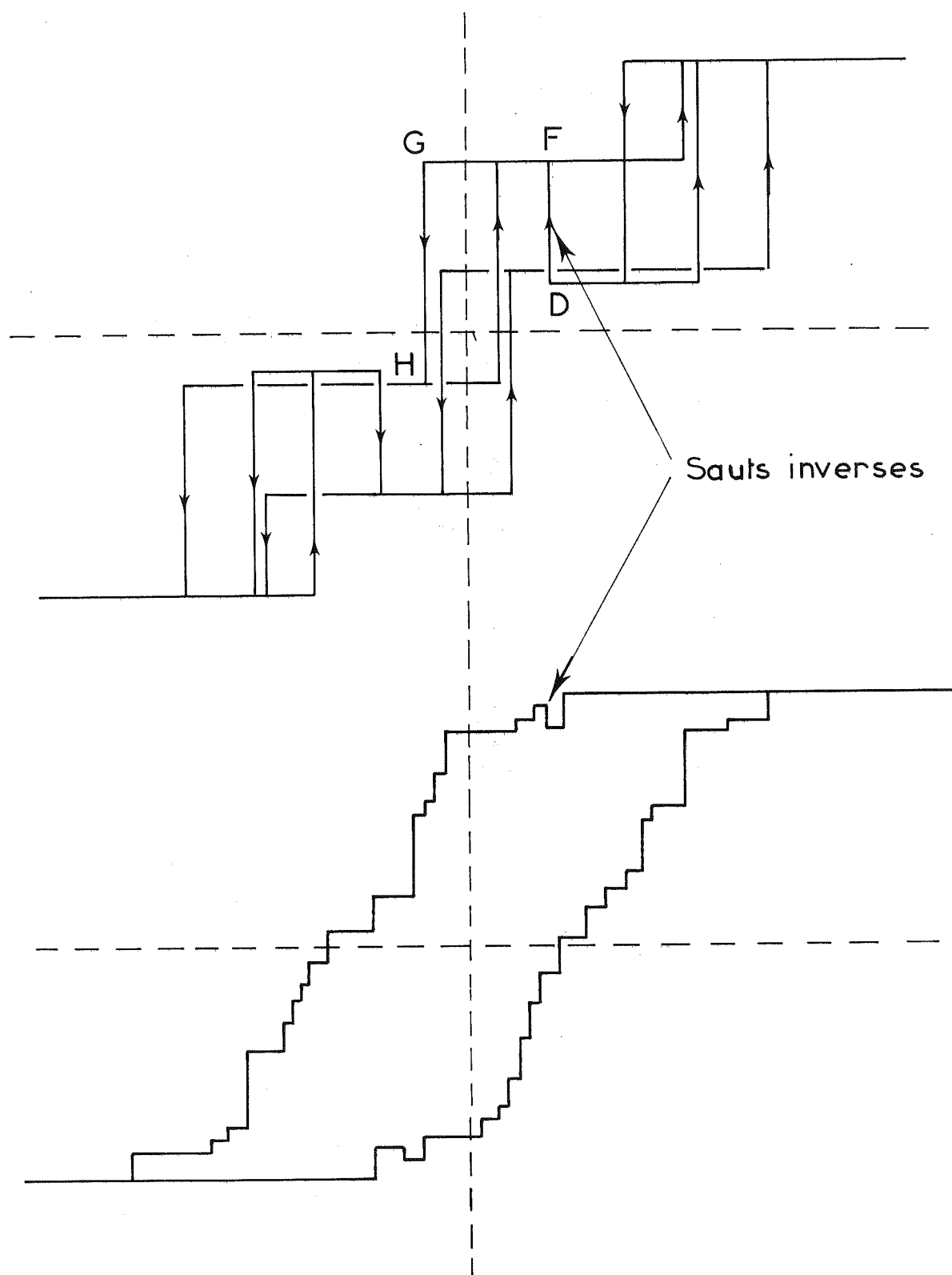


Fig. 29

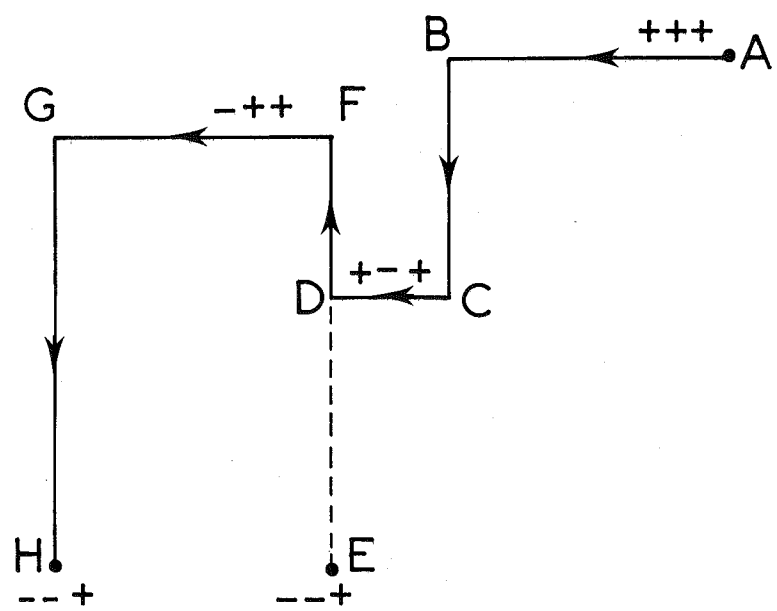


Fig. 30

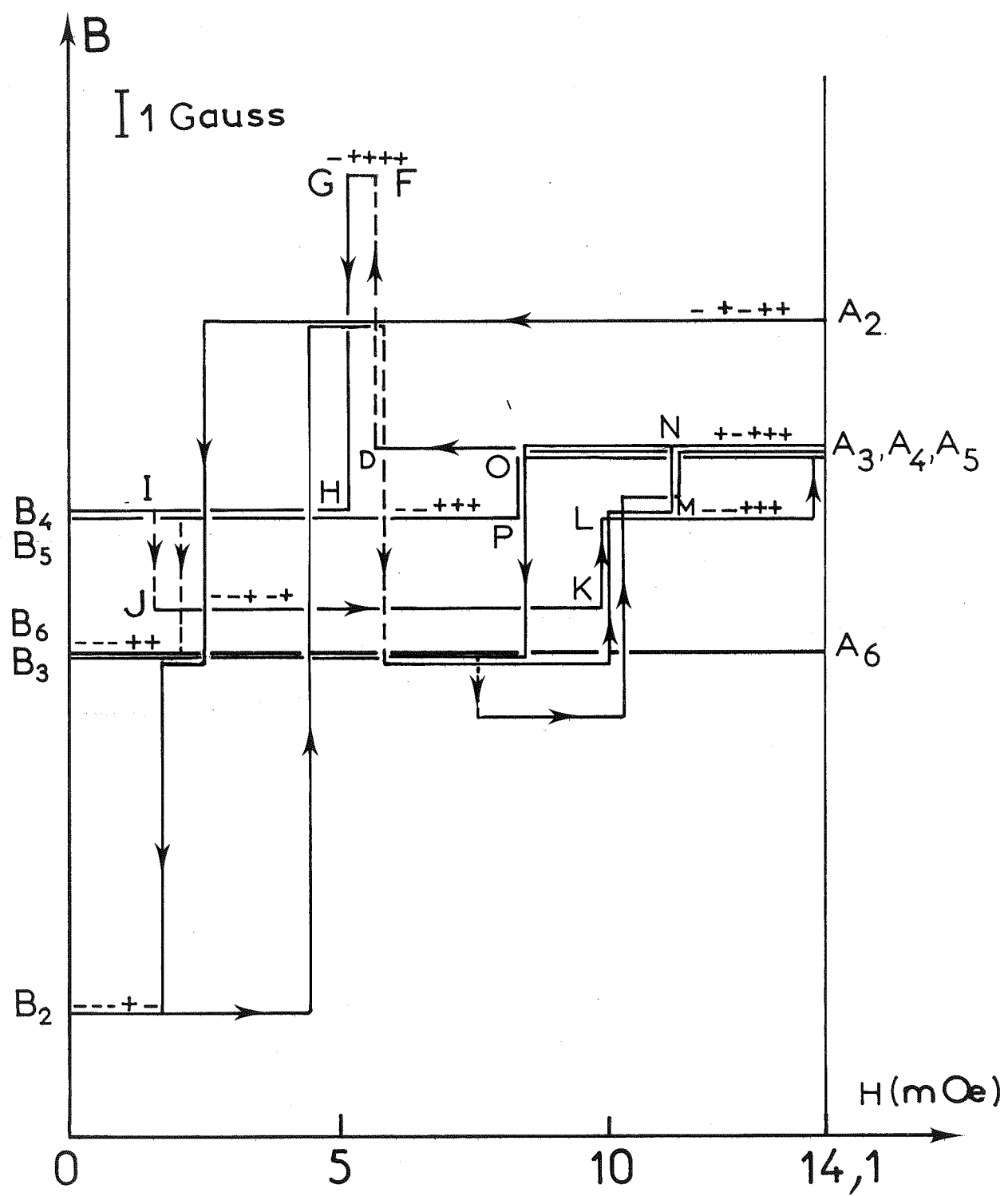


Fig. 31

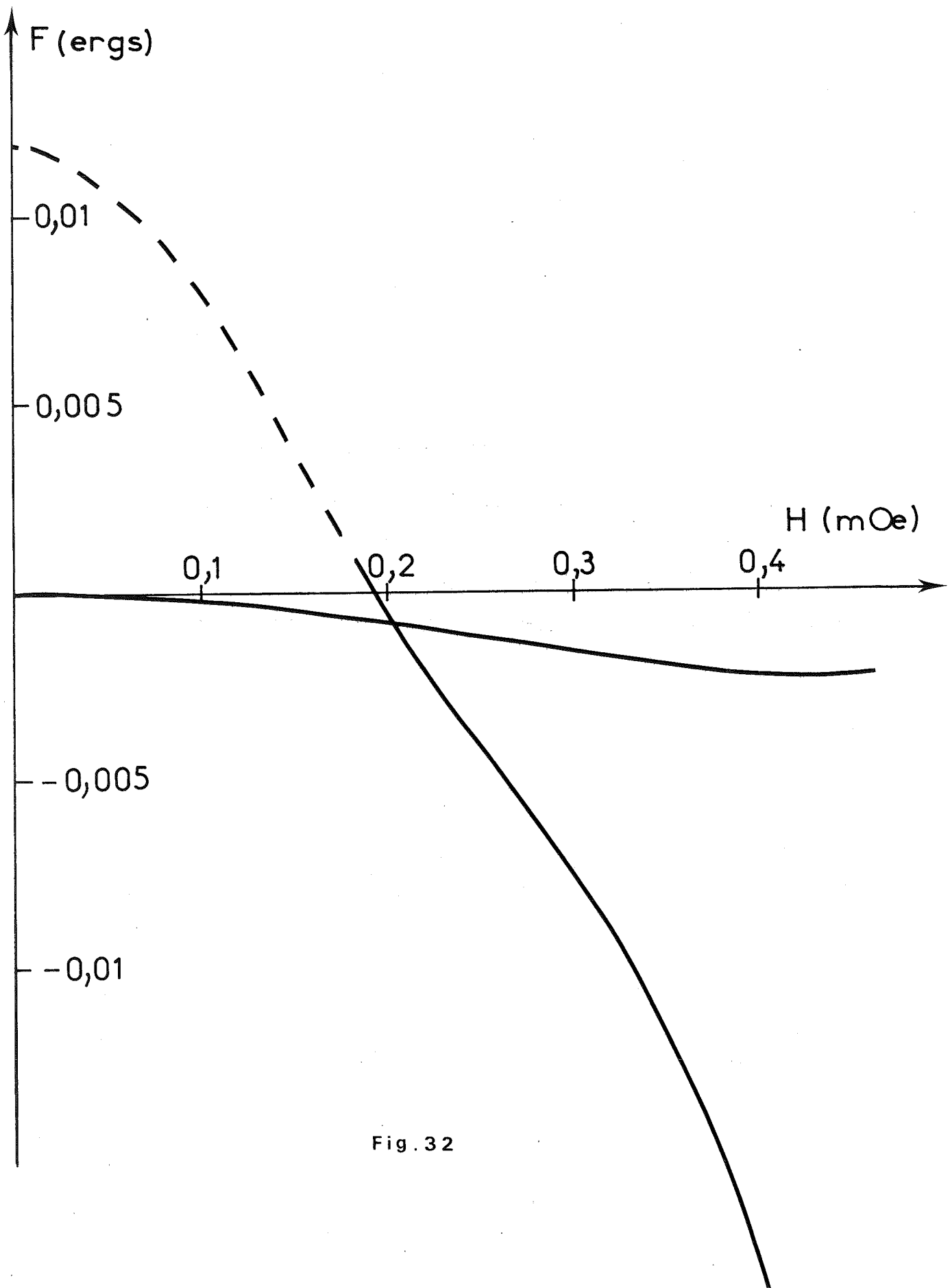


Fig. 32

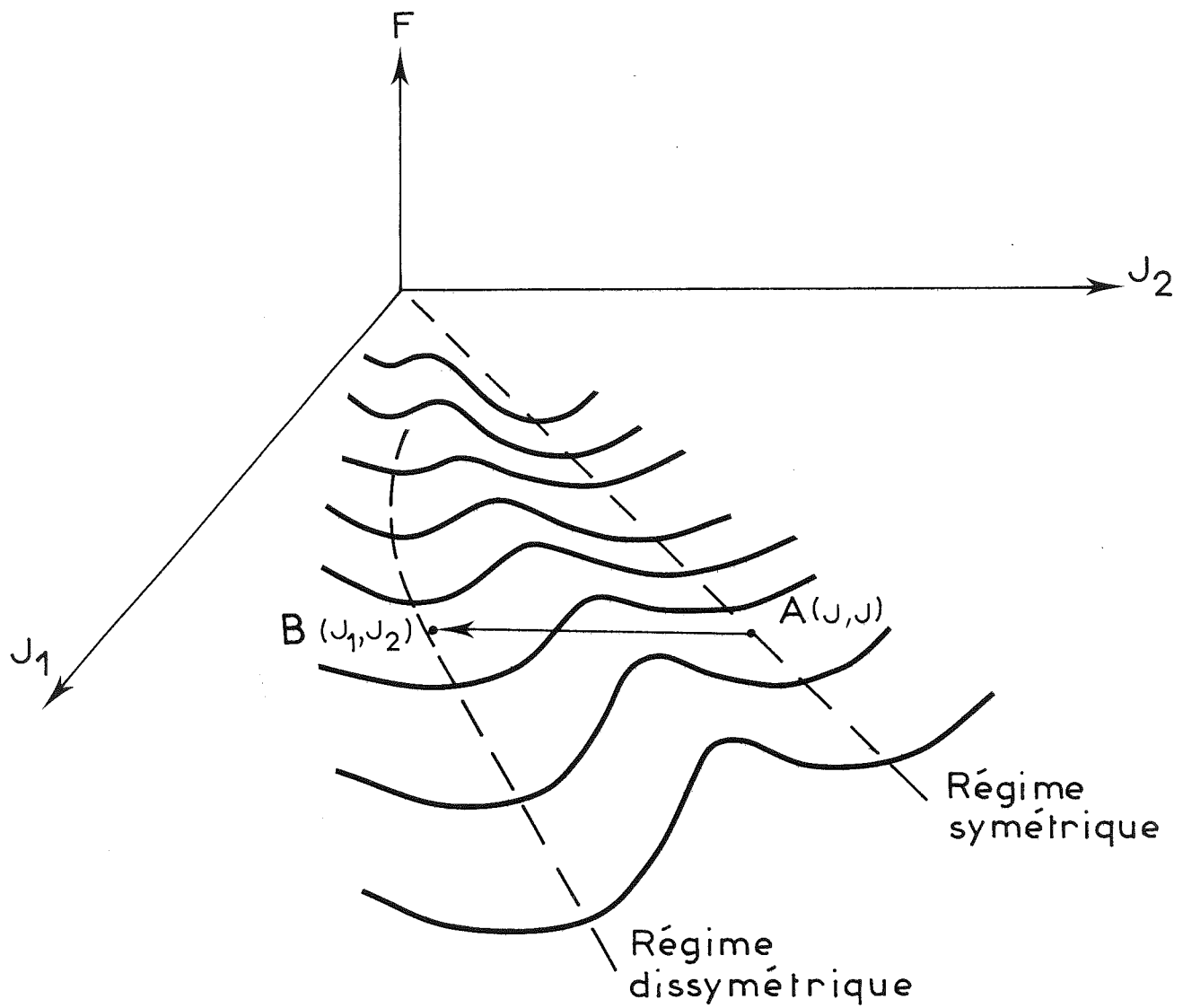


Fig. 33

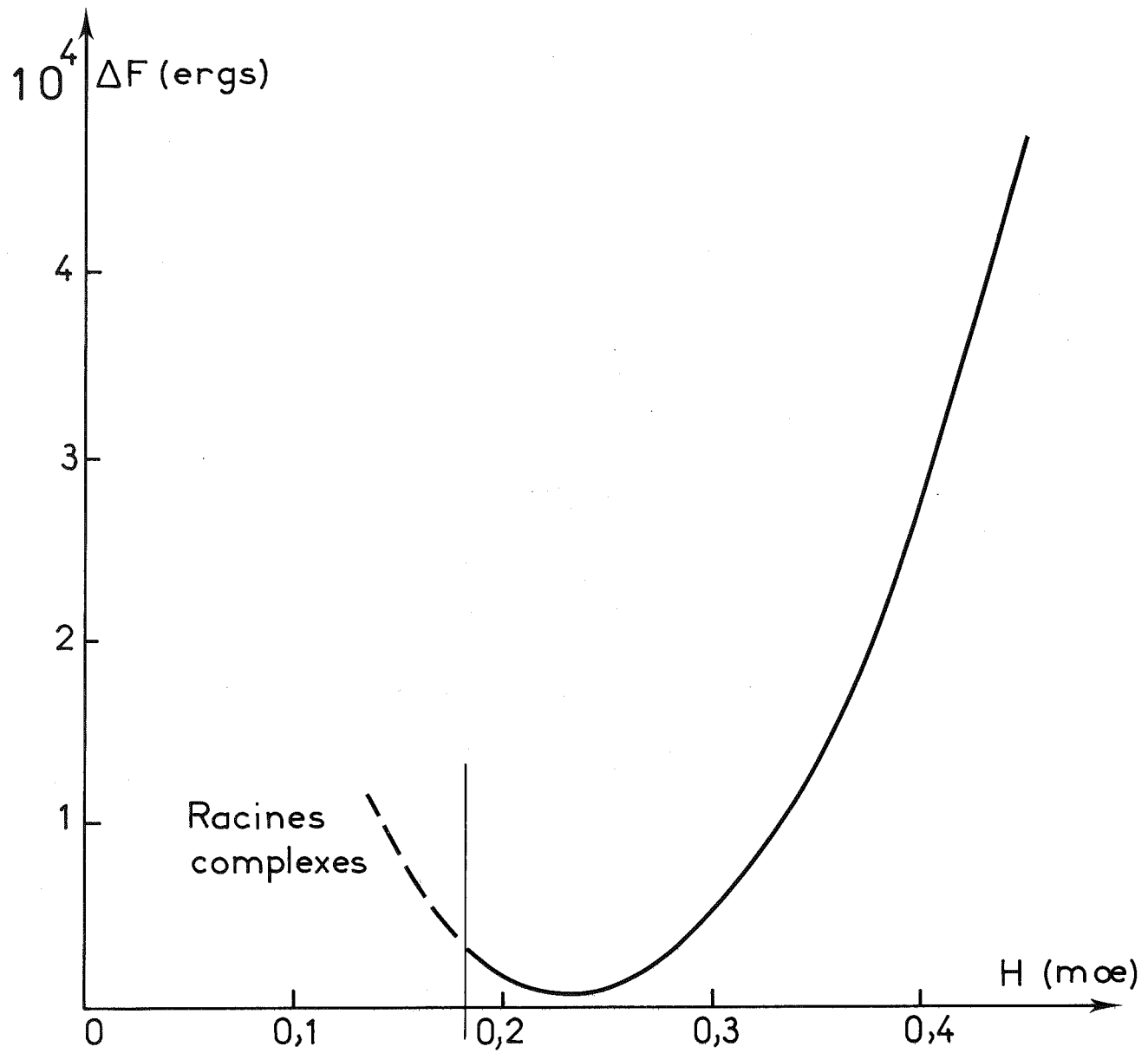


Fig.34

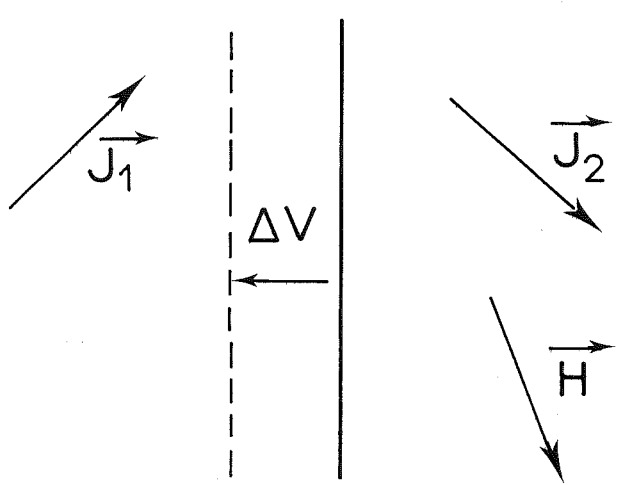


Fig. 35

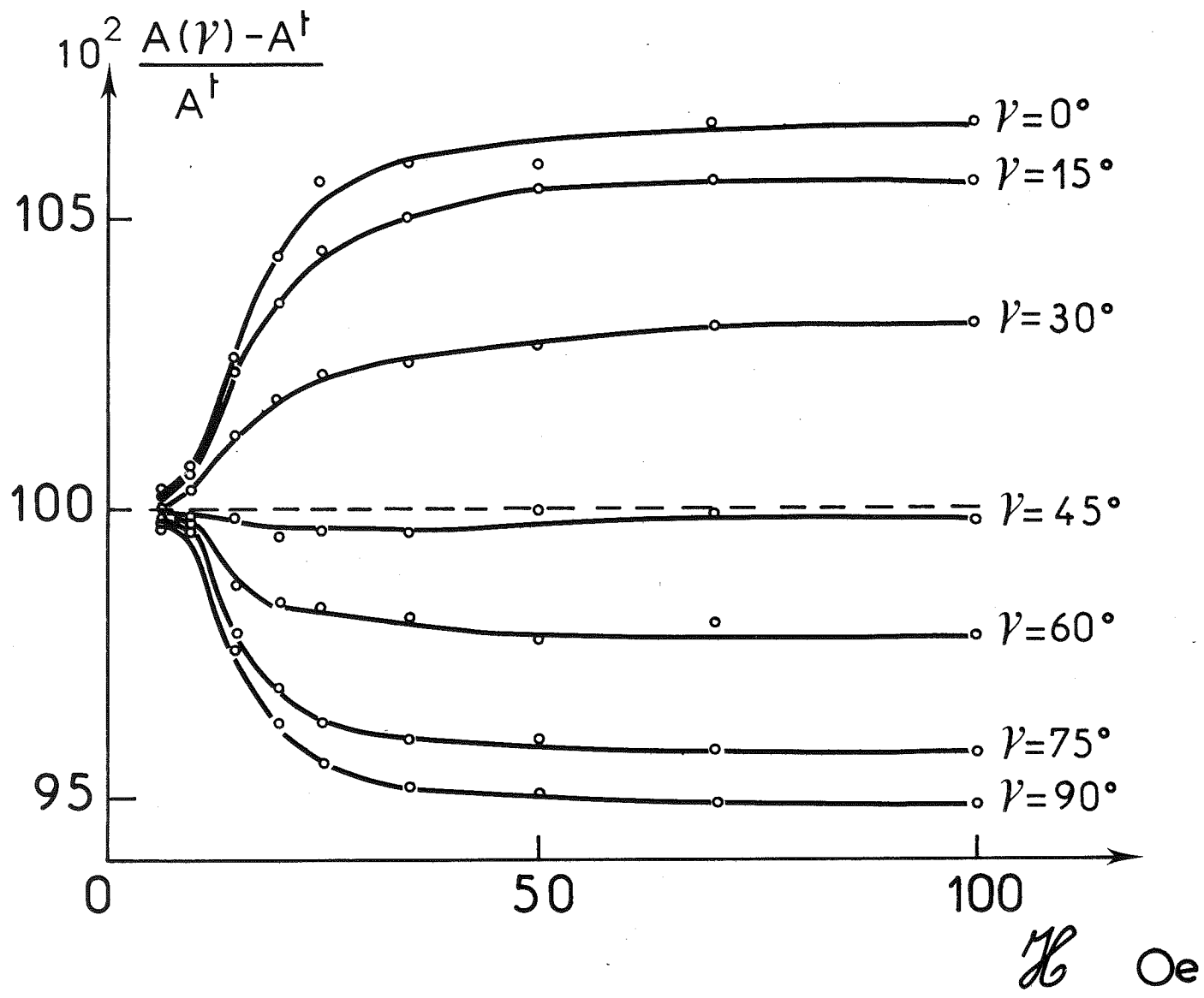


Fig. 36

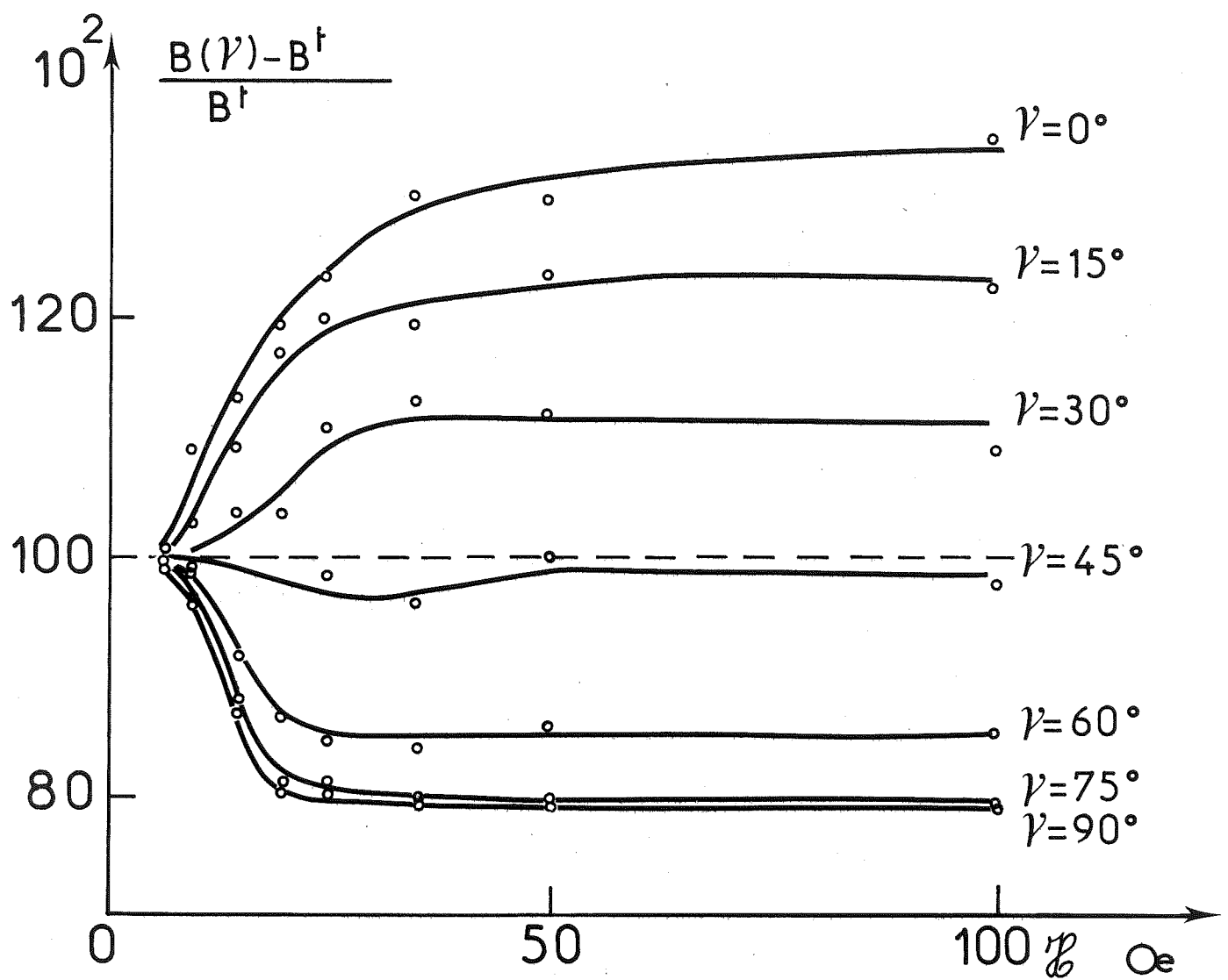


Fig. 37

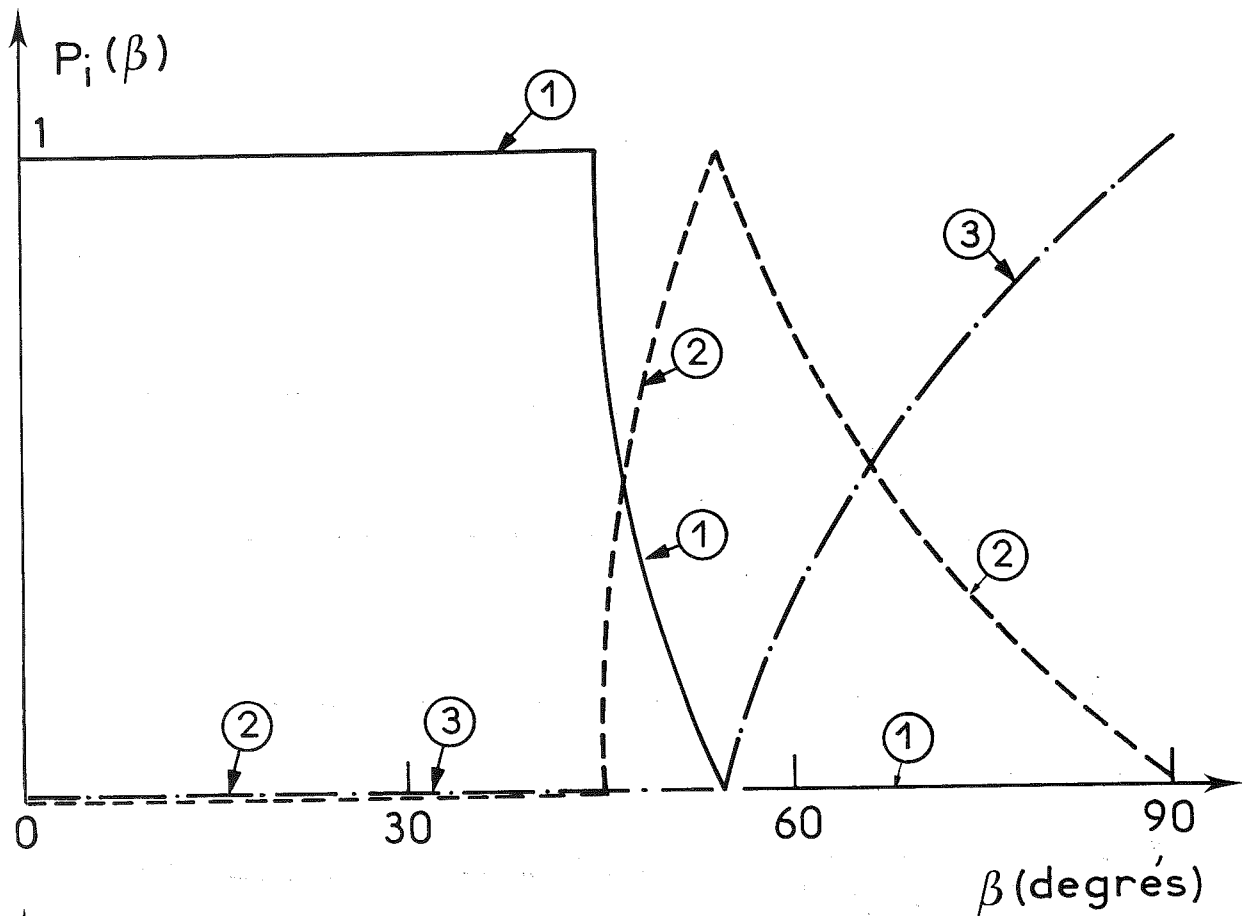


Fig. 38

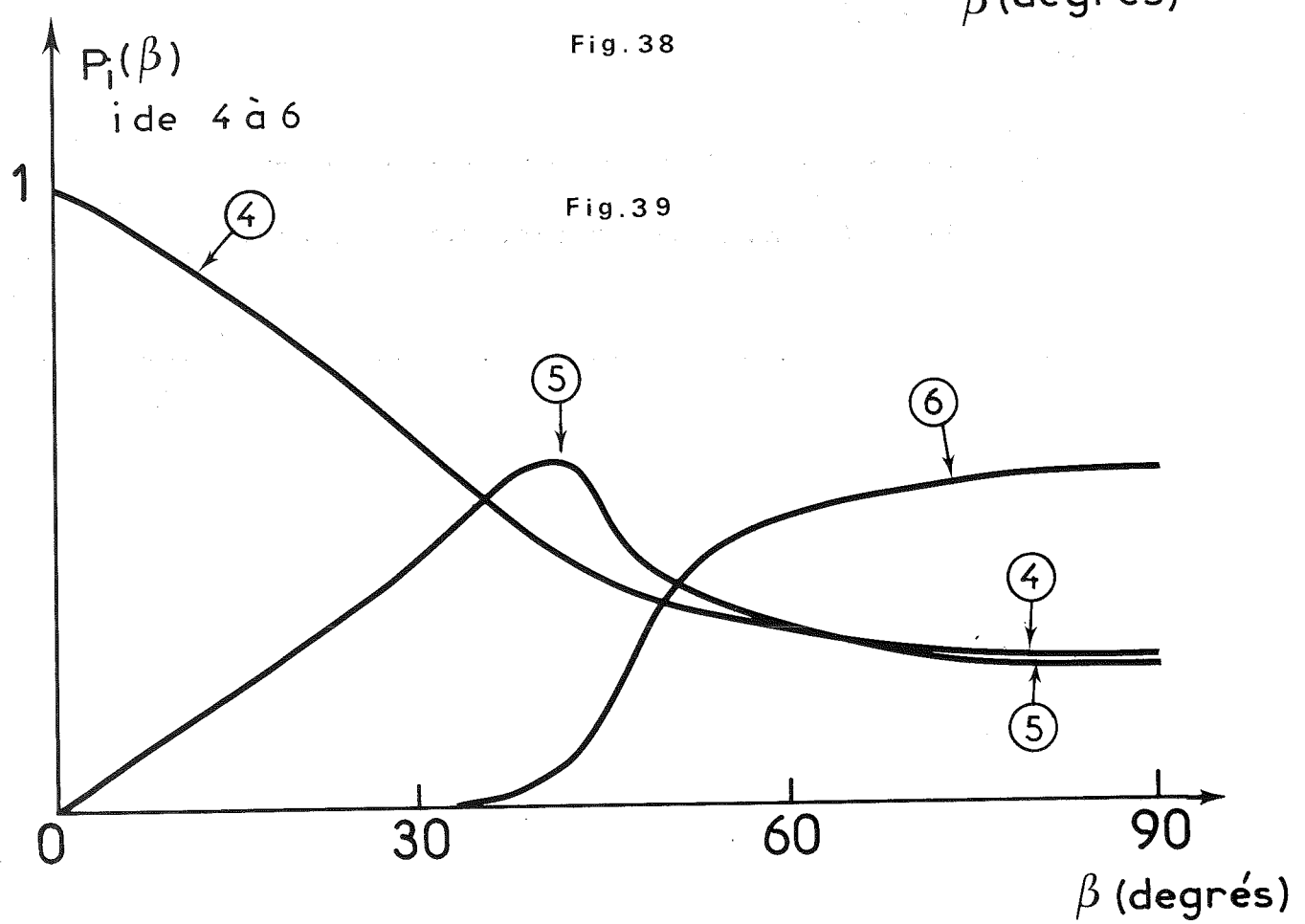


Fig. 39

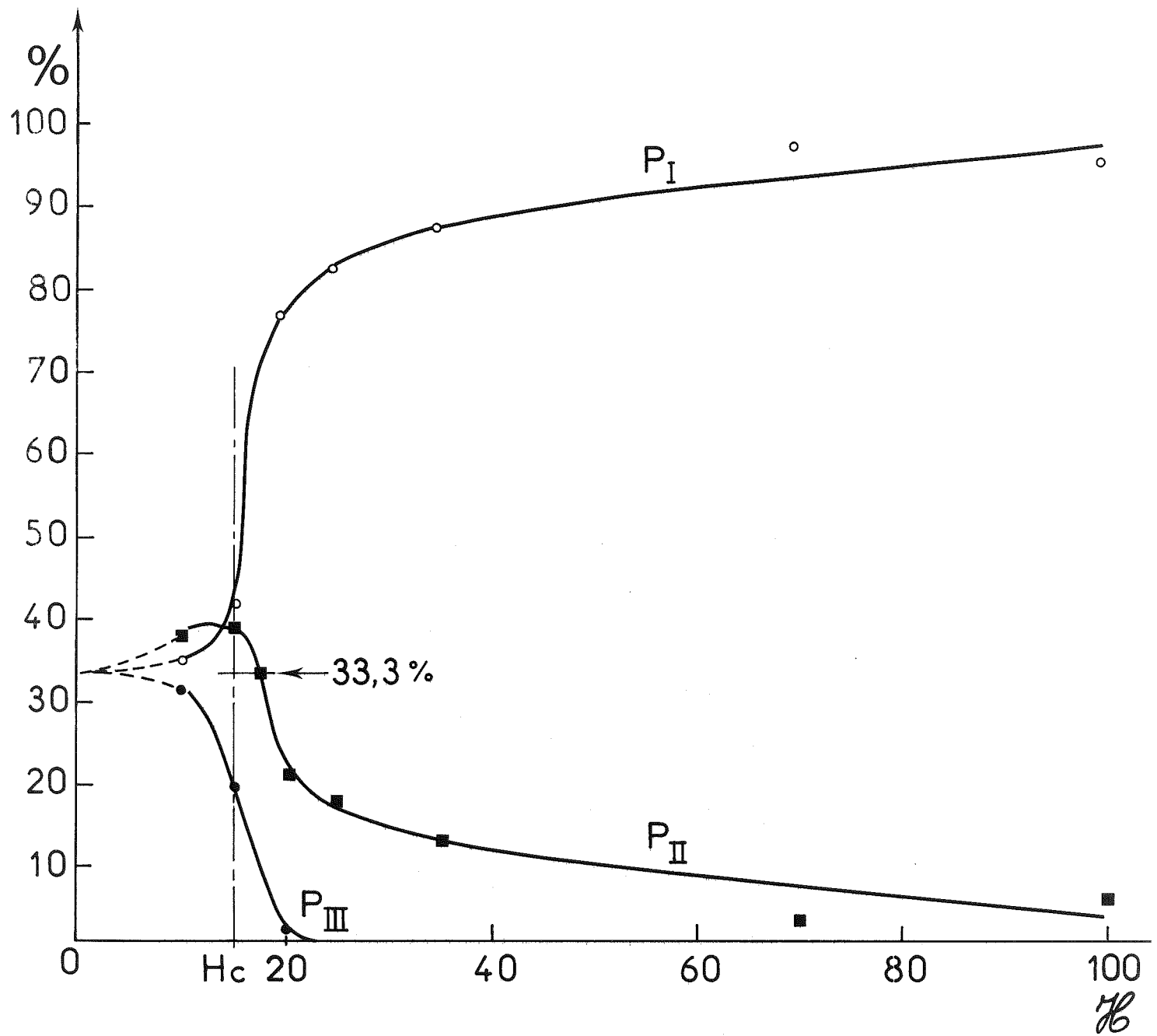


Fig.40

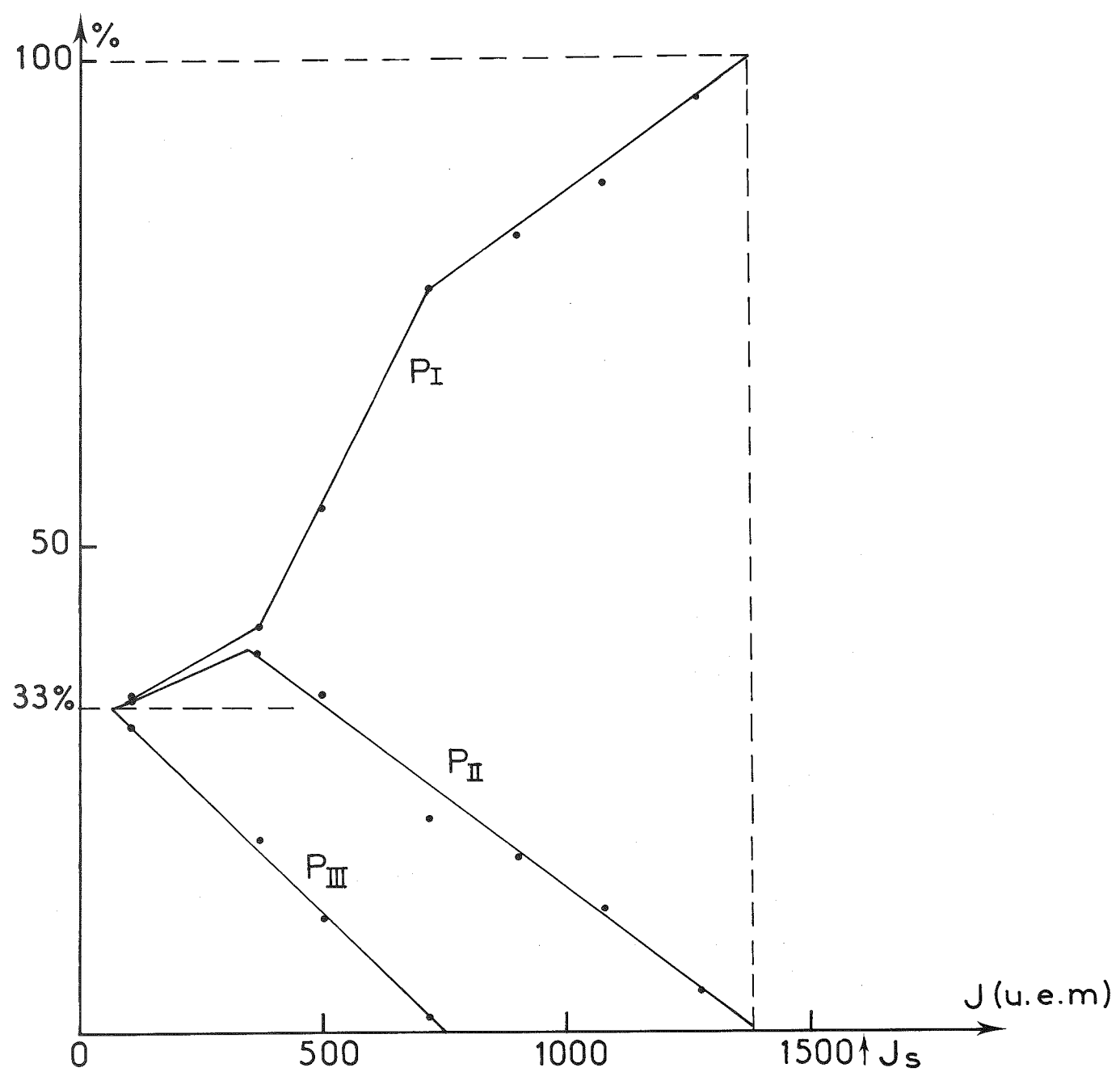


Fig. 41

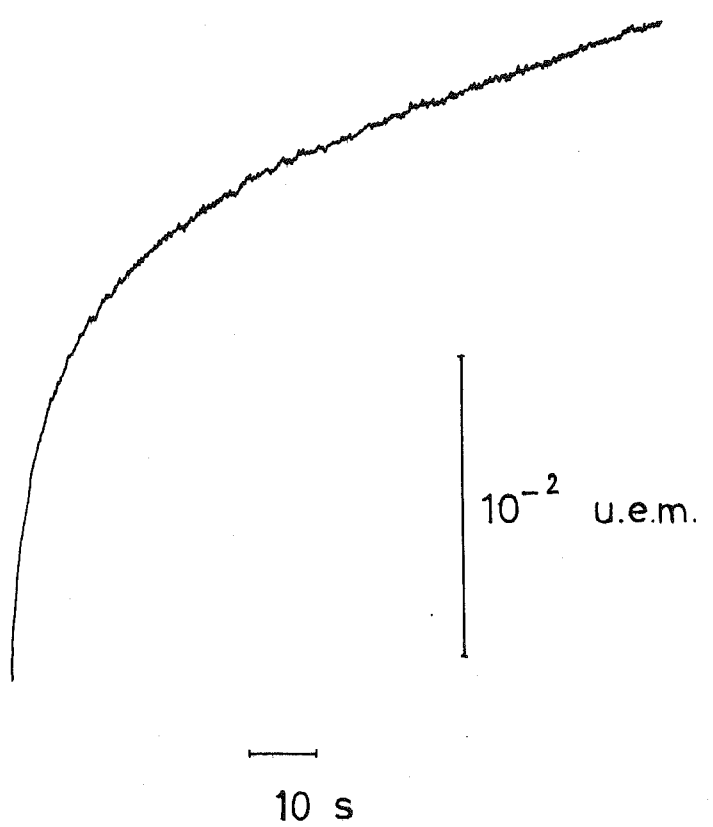


Fig. 42

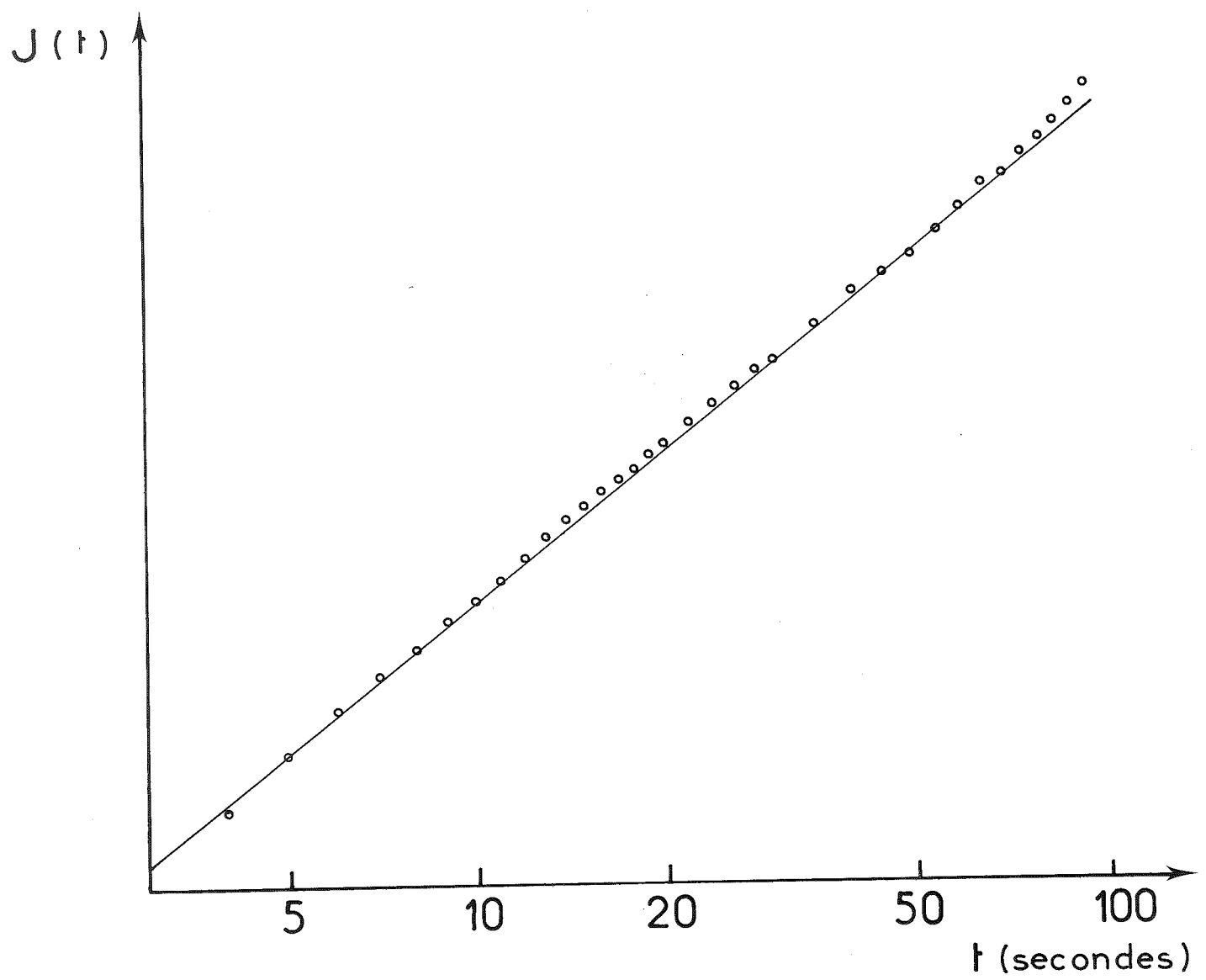


Fig. 43

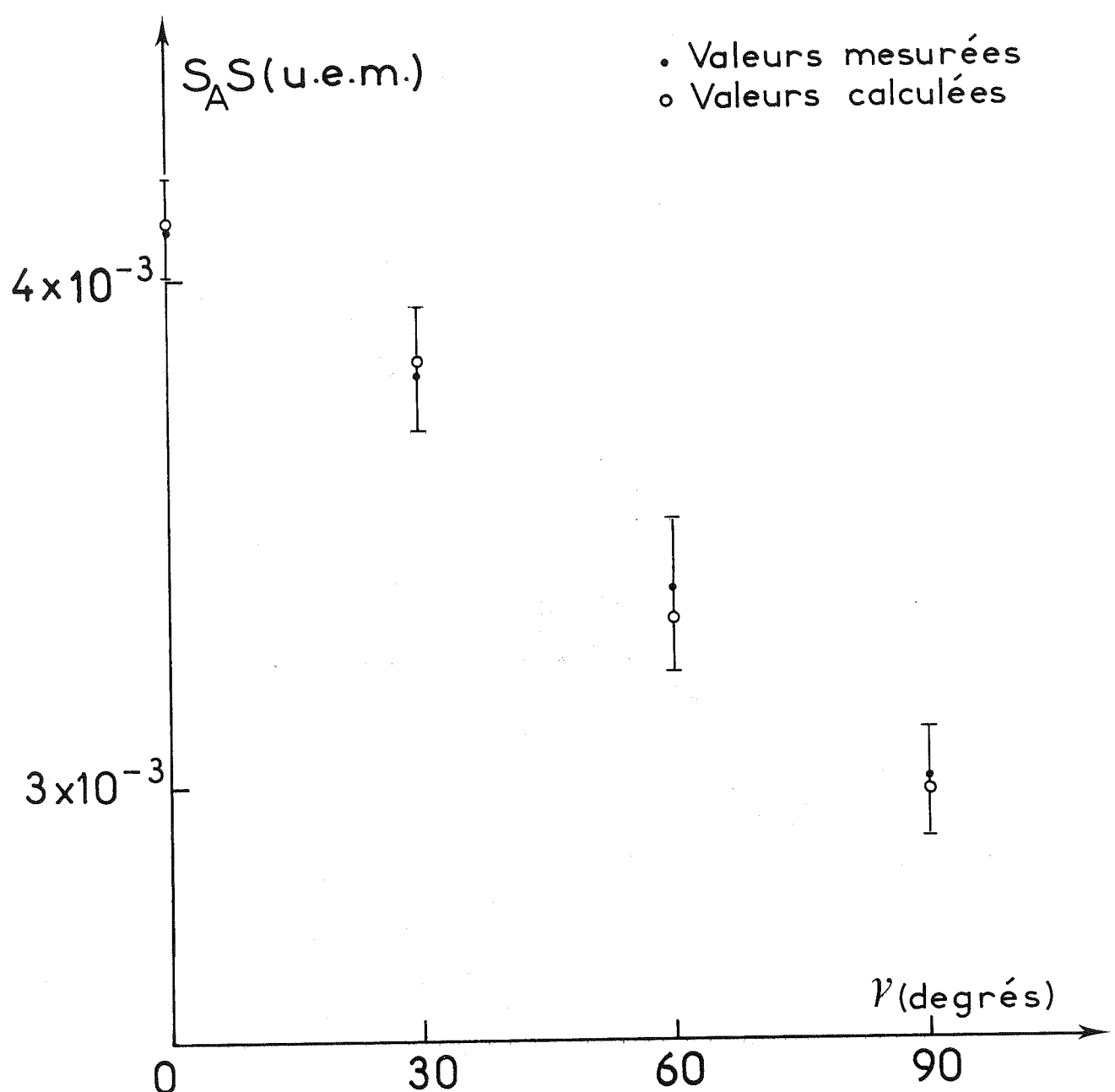


Fig. 44

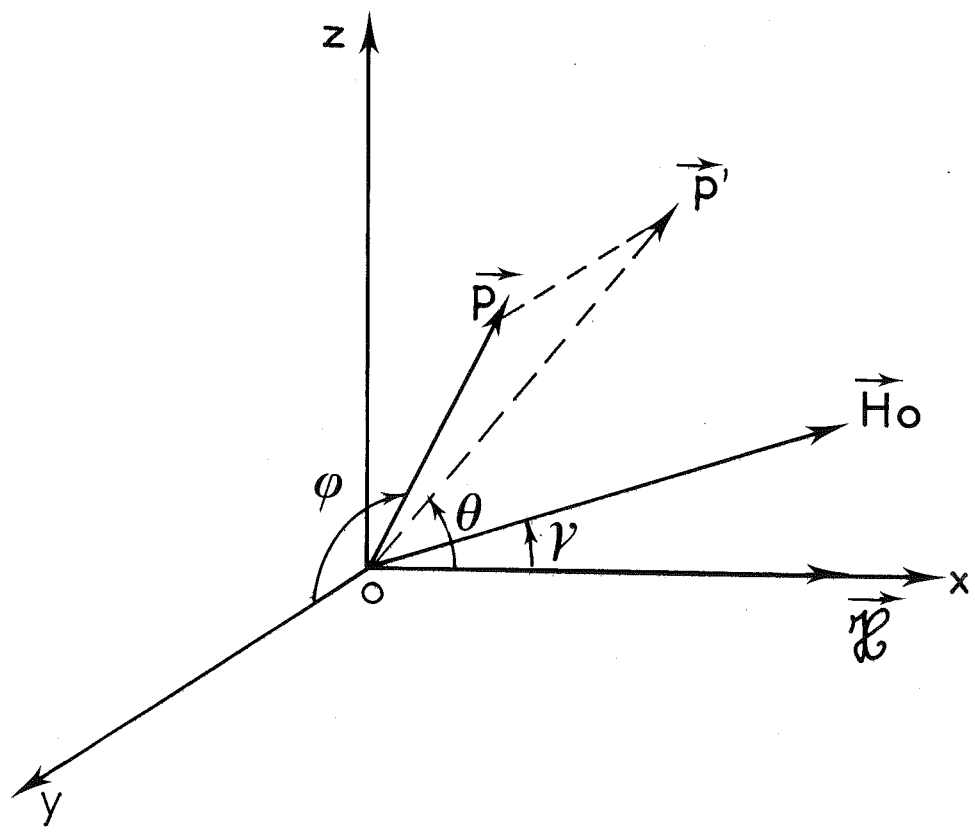


Fig. 45

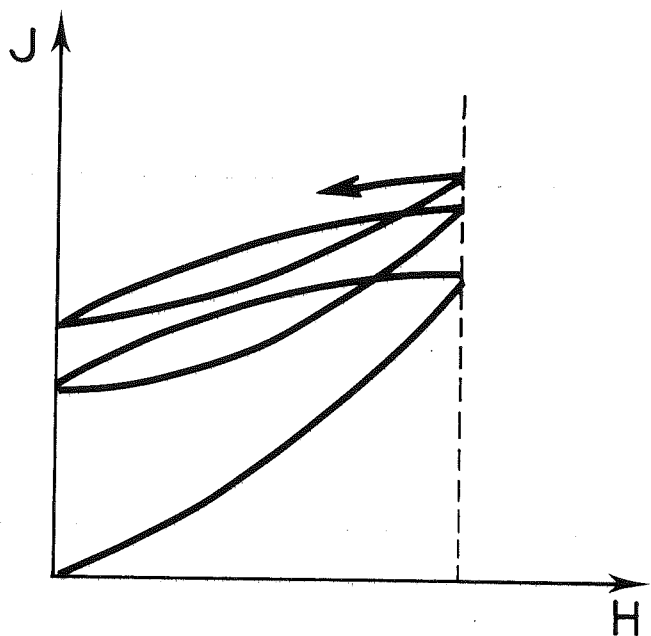


Fig. 46

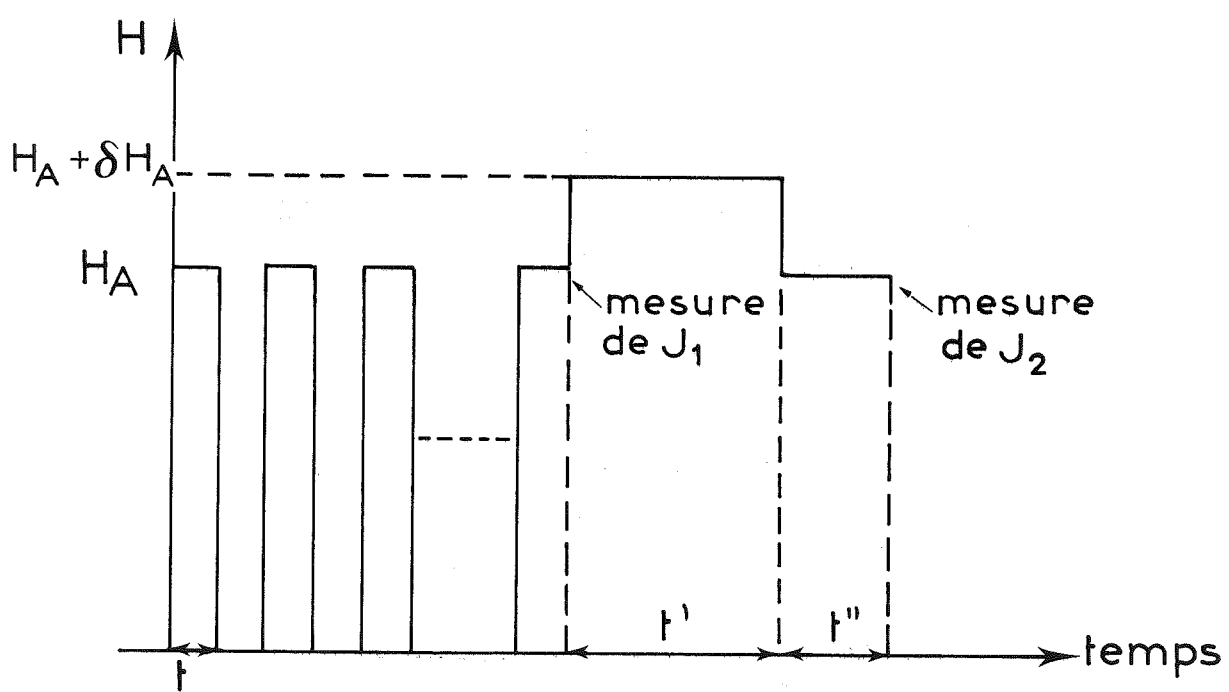


Fig. 47

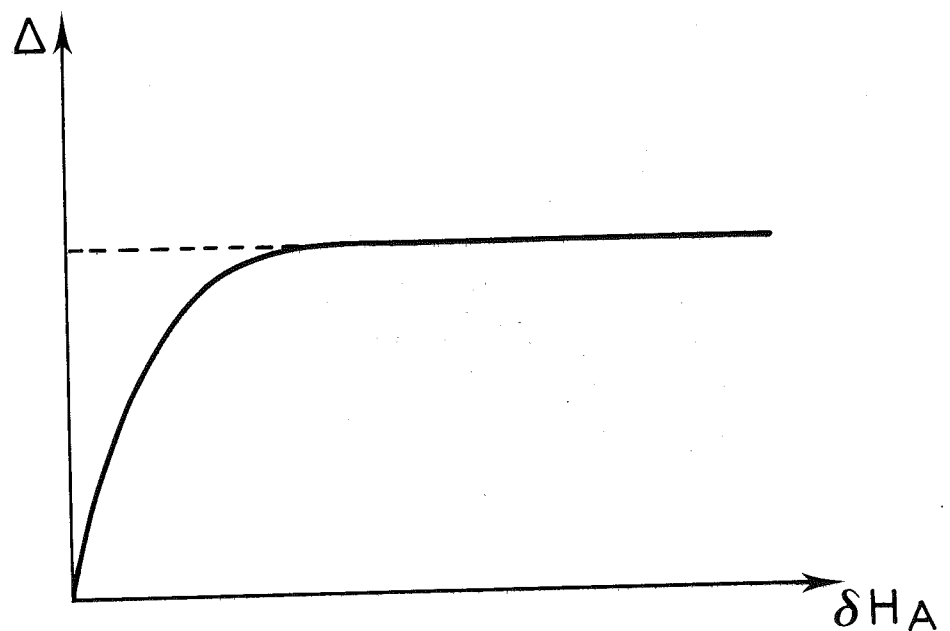


Fig. 48

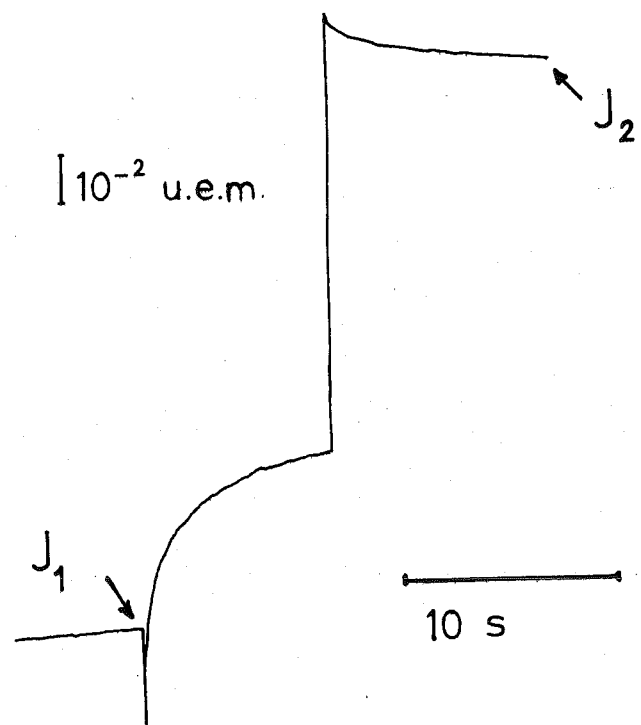


Fig. 49

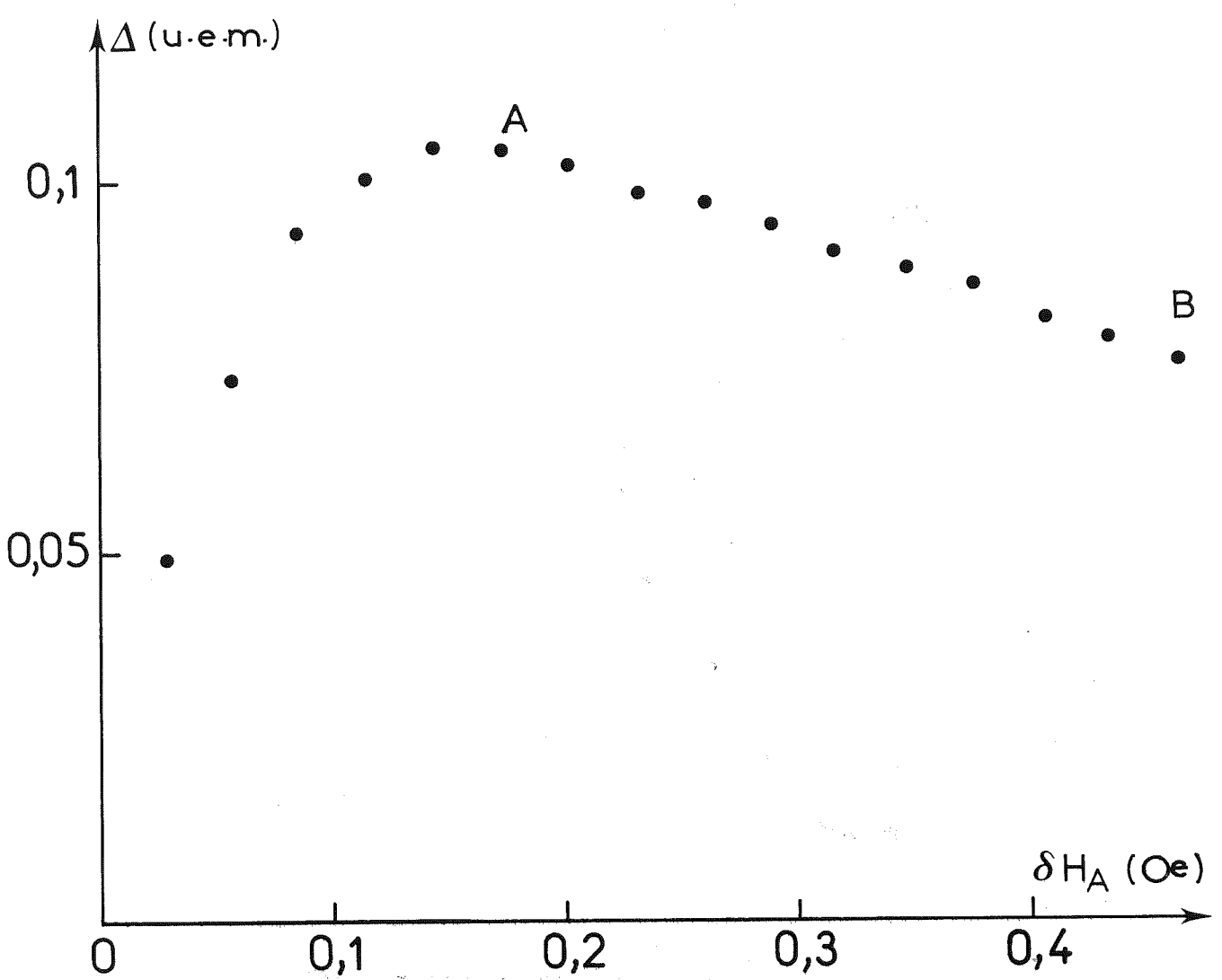


Fig. 50

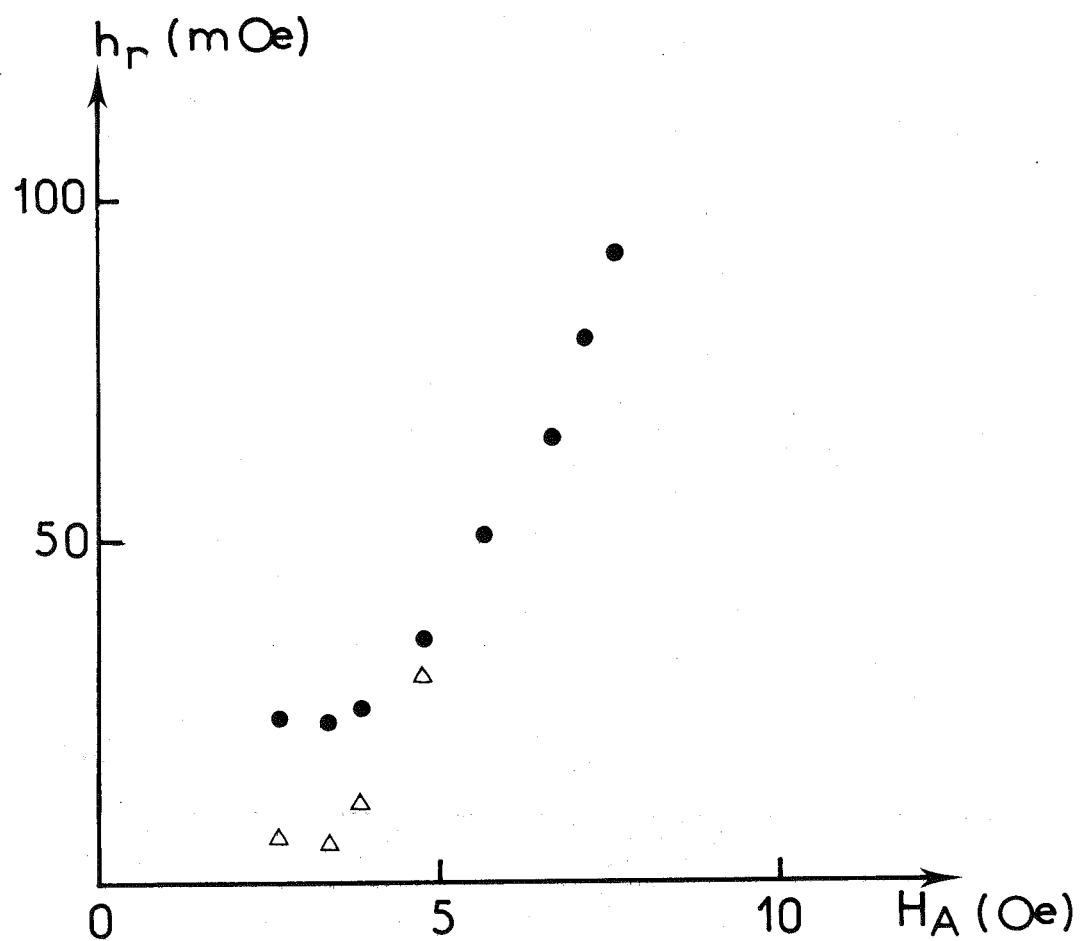


Fig. 51

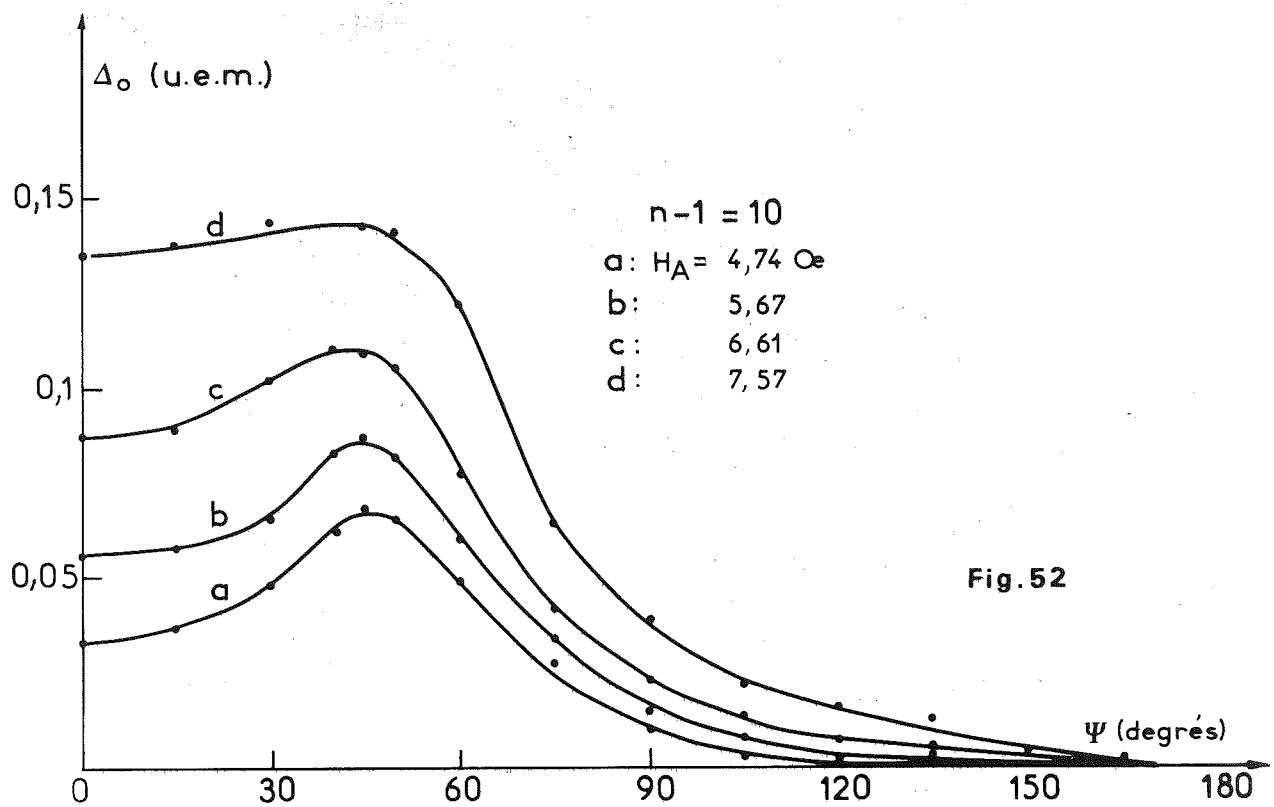


Fig. 52

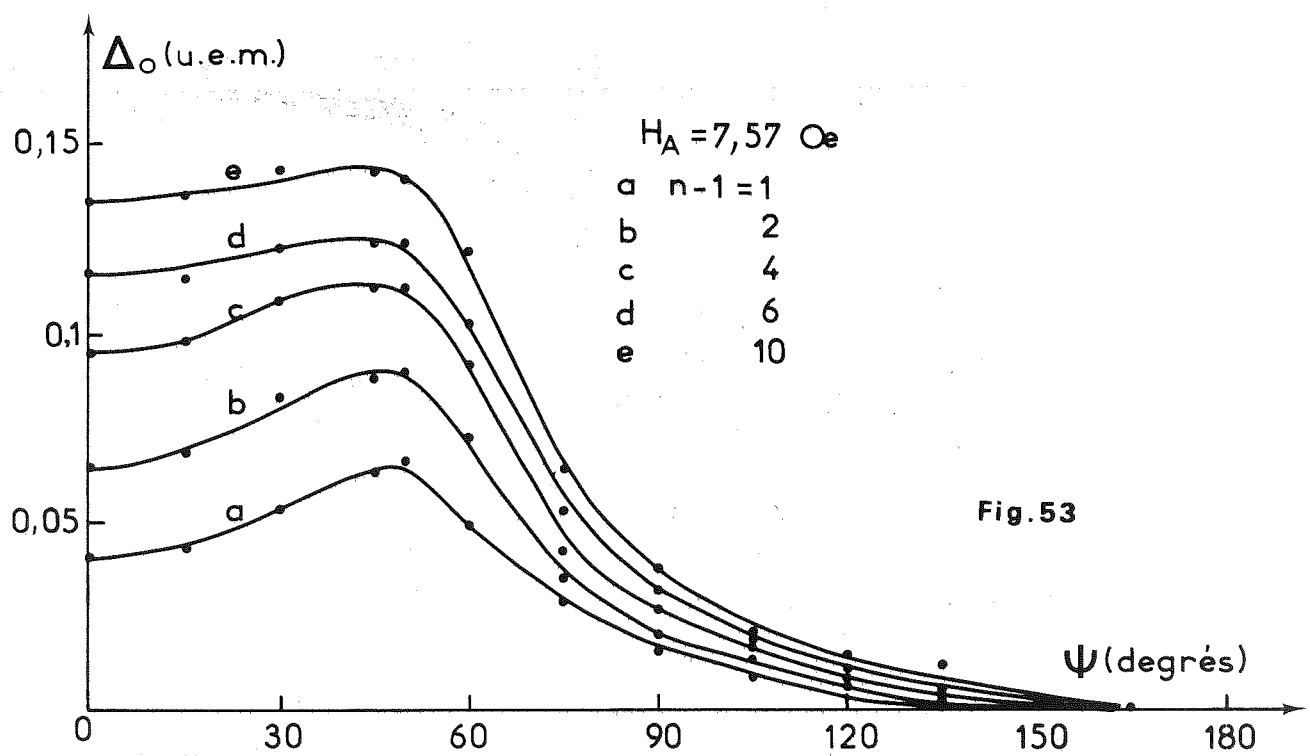


Fig. 53

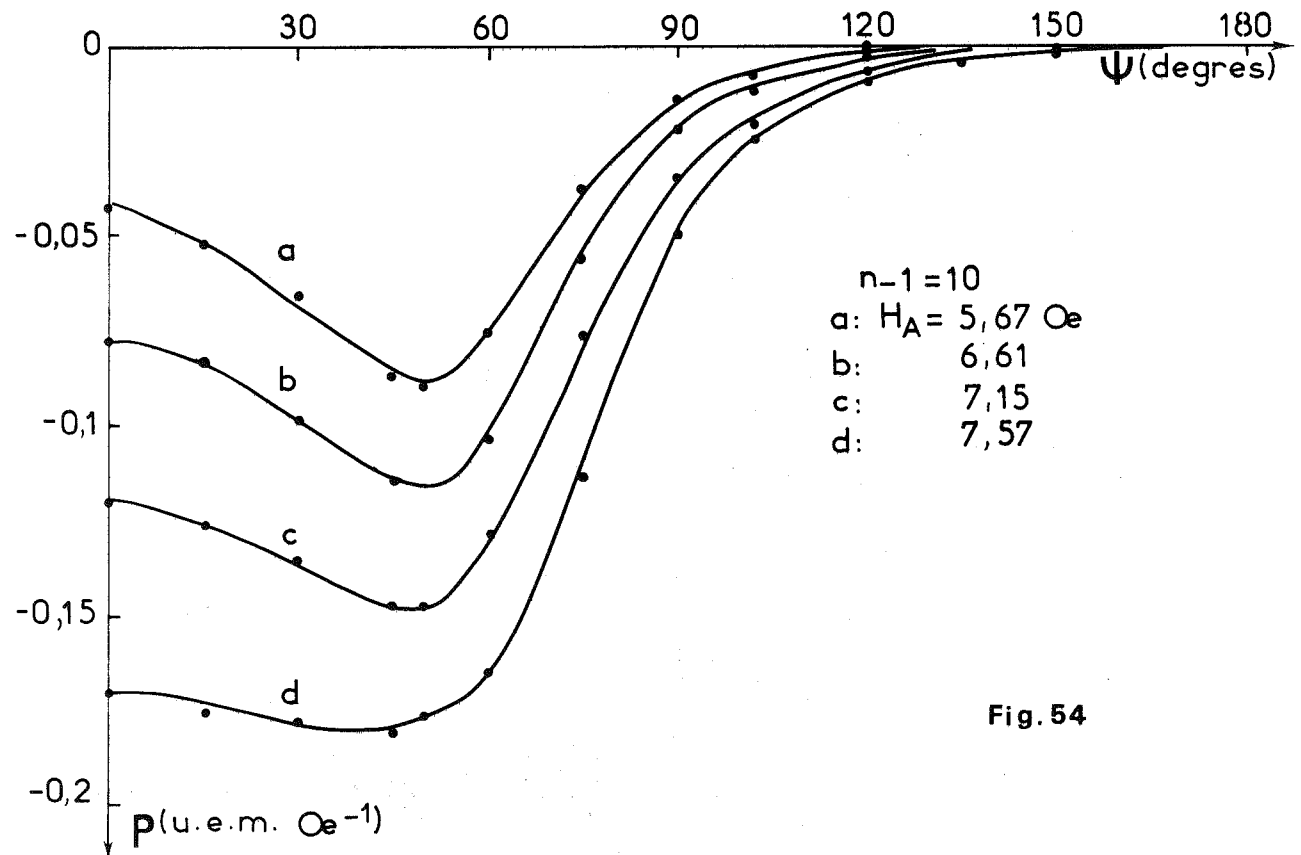


Fig. 54

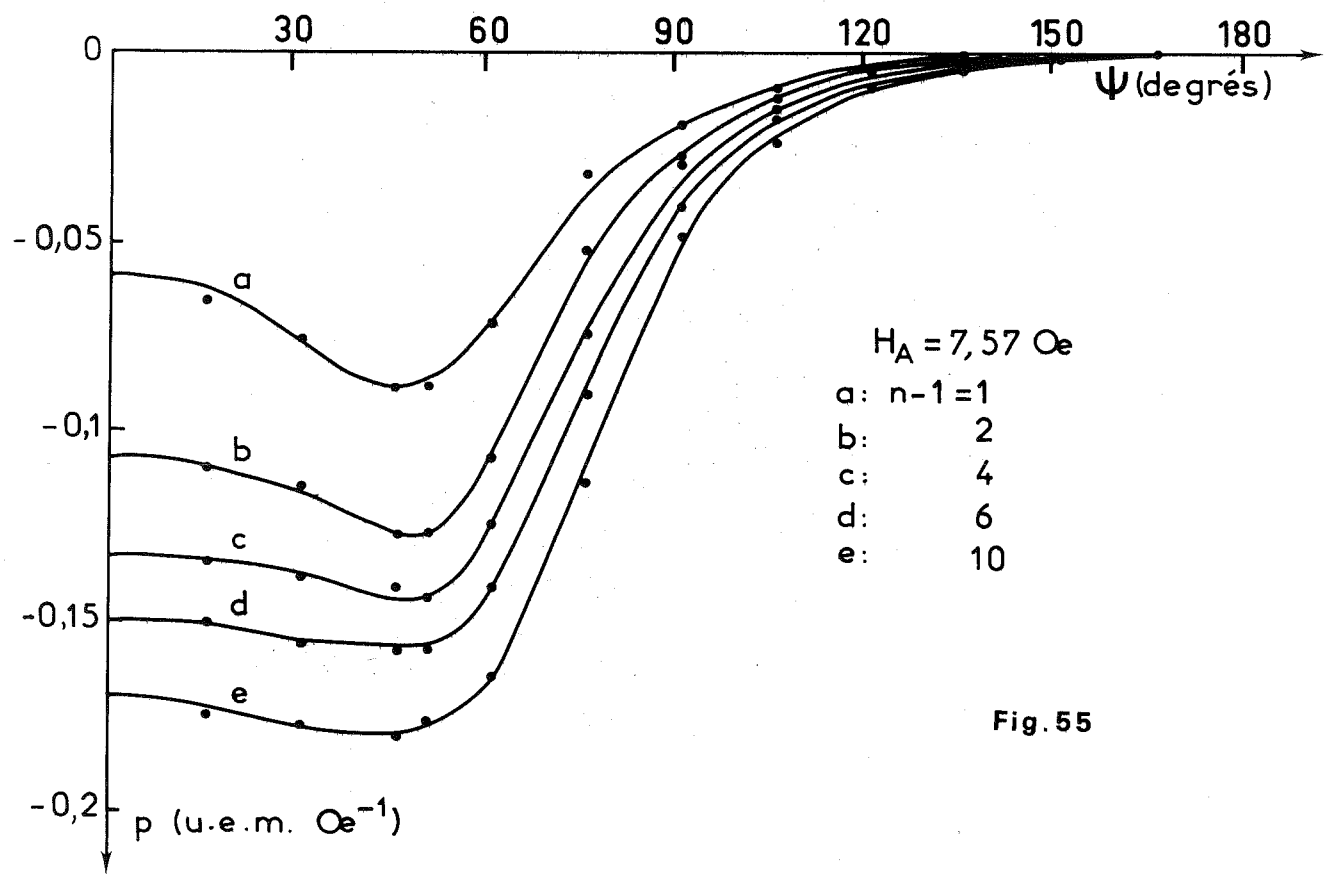
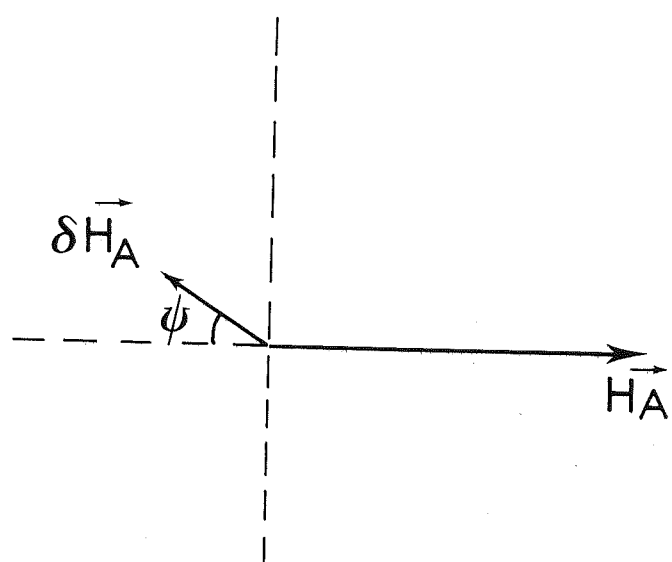
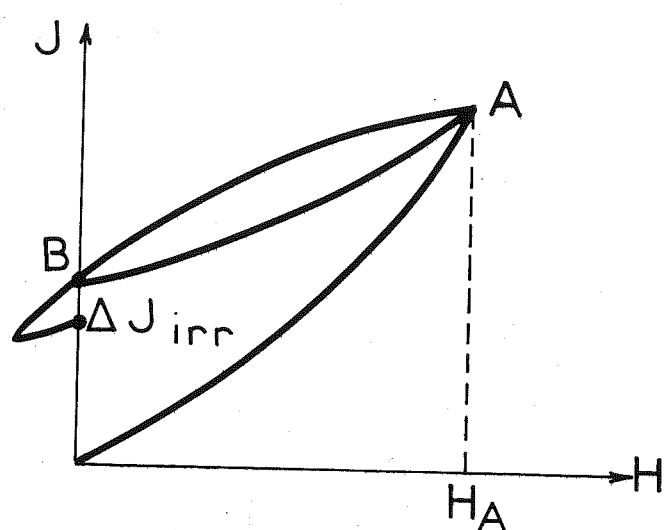
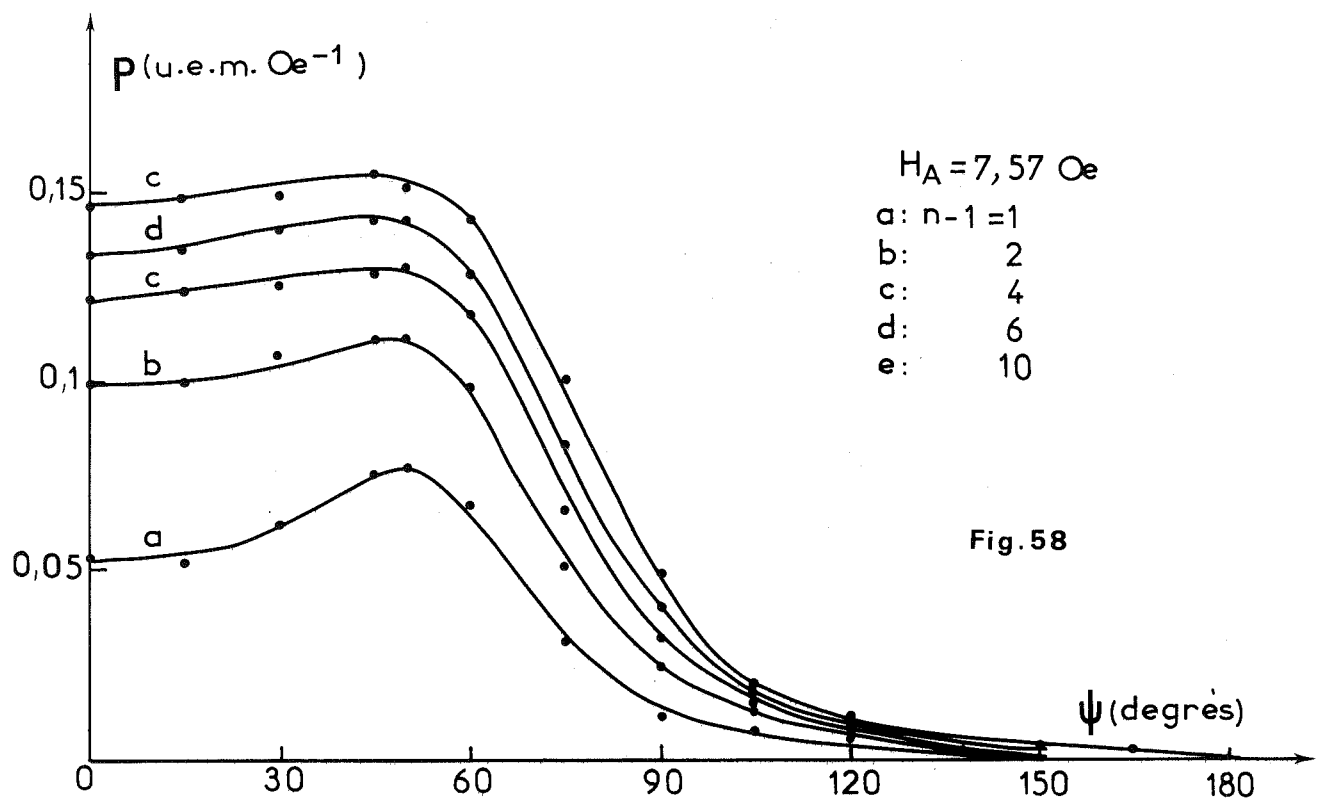
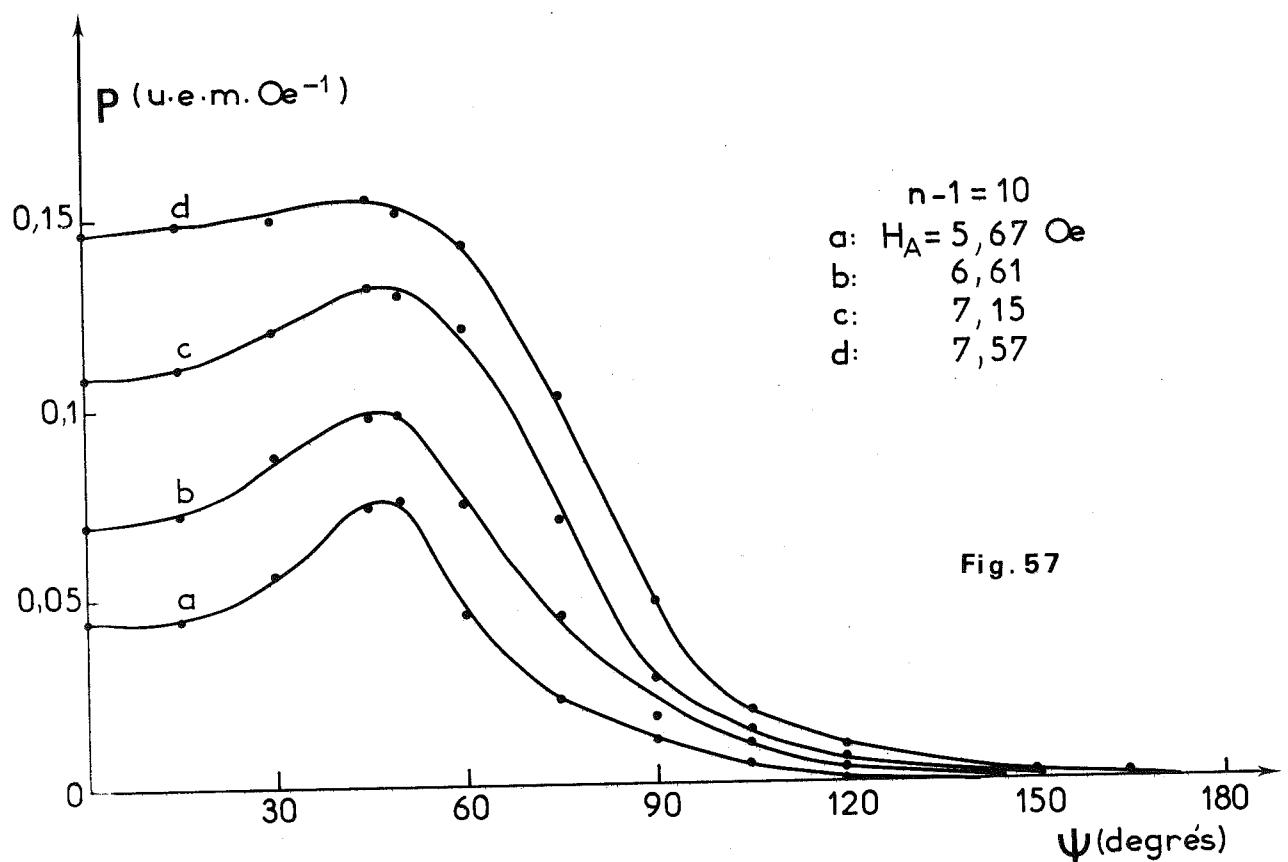


Fig. 55



Mesure de la susceptibilité irréversible  
à l'extrémité B du cycle.

Fig.56



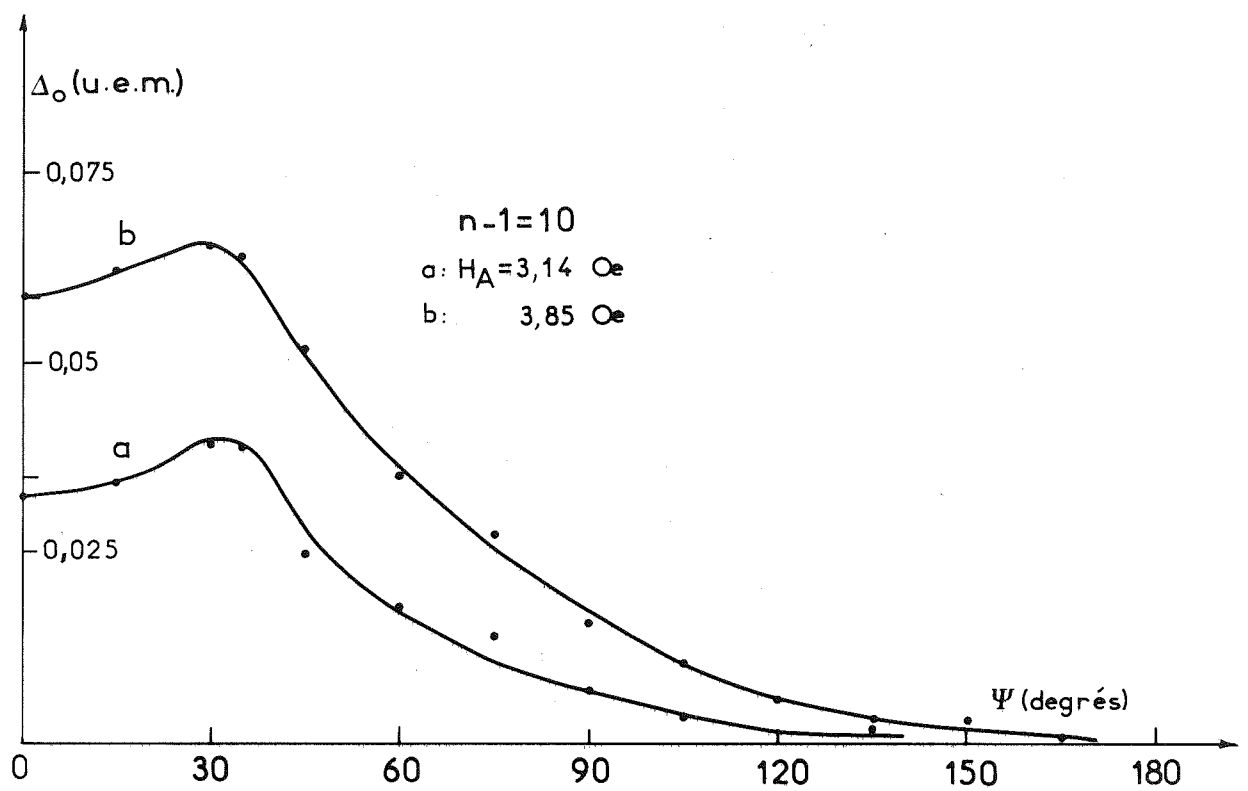
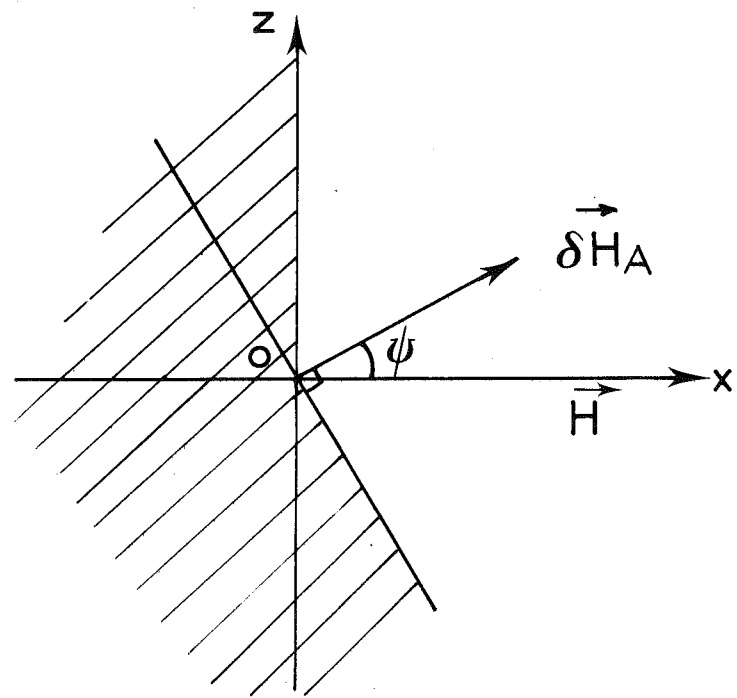
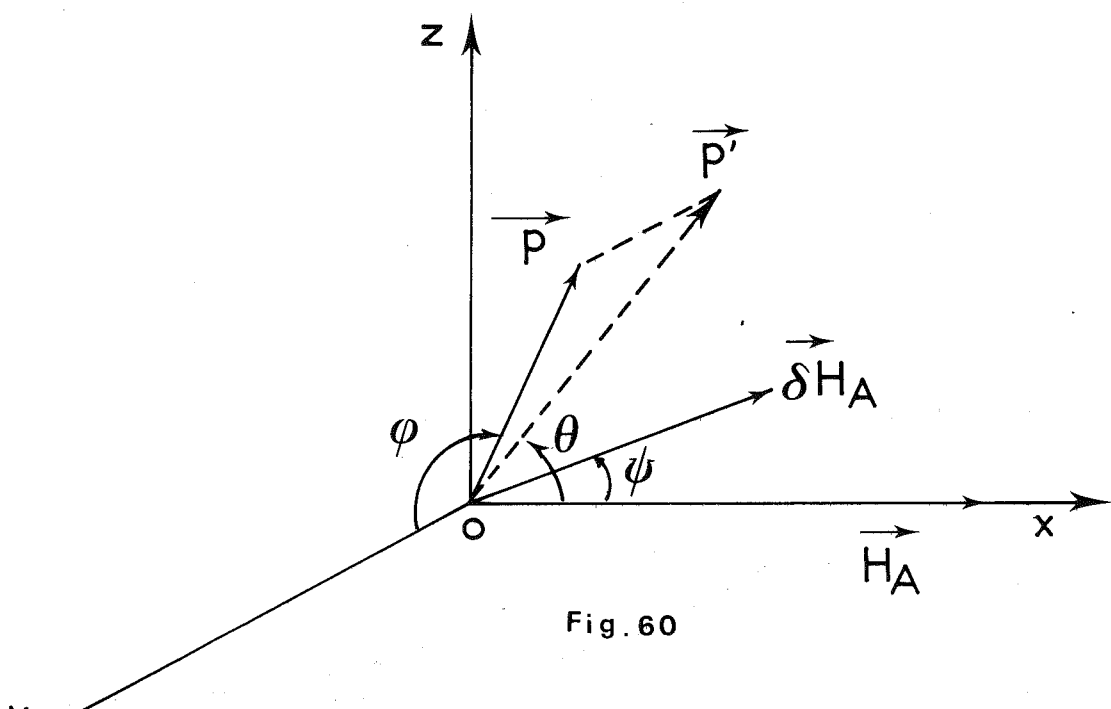


Fig. 59



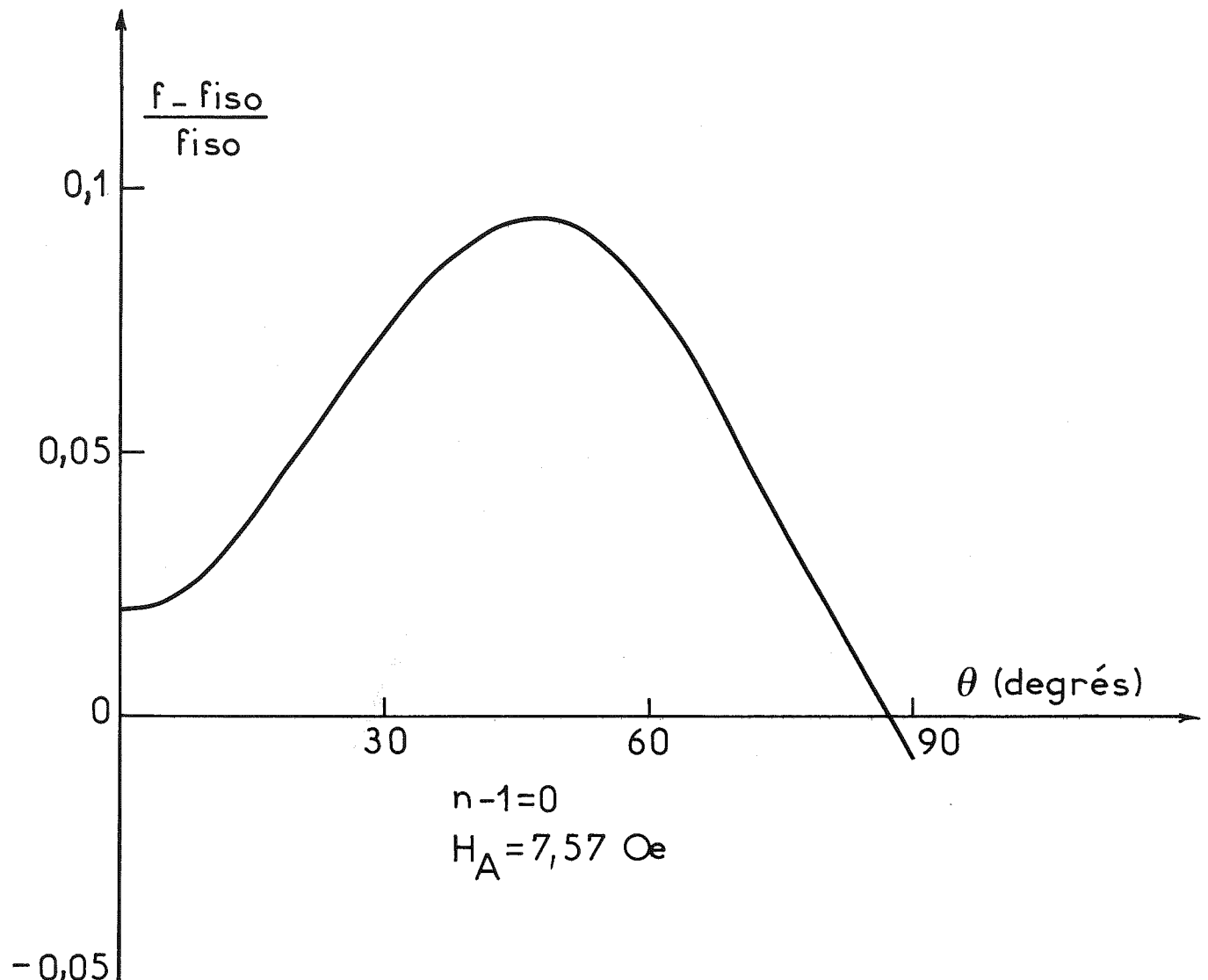


Fig.62

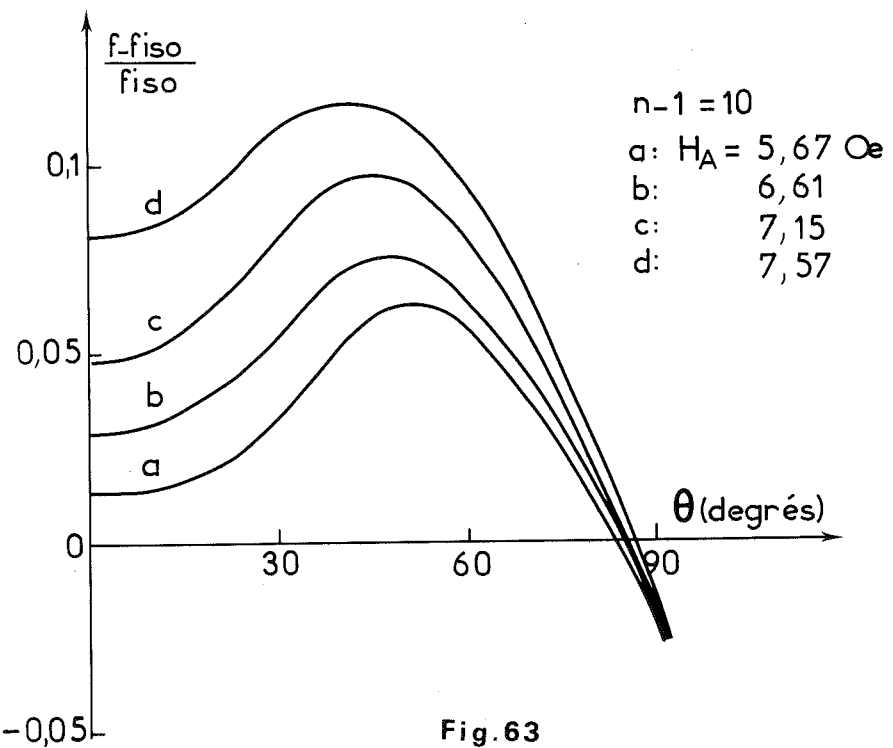


Fig. 63

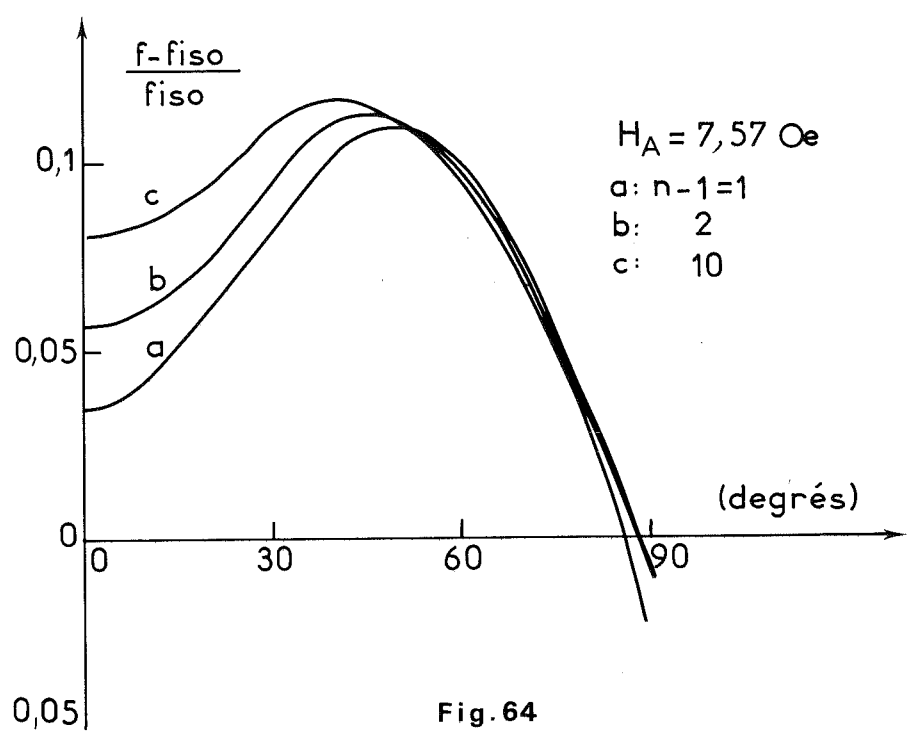


Fig. 64

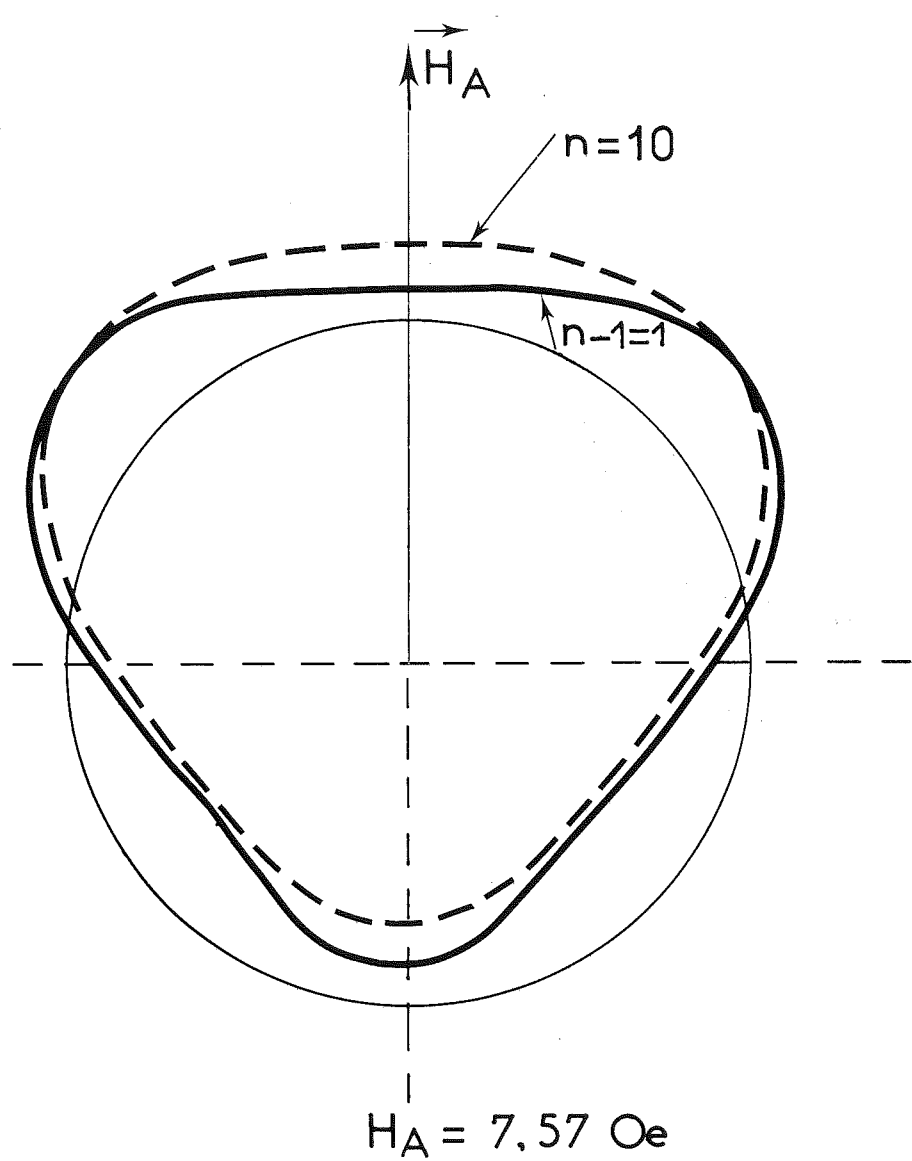


Fig. 65

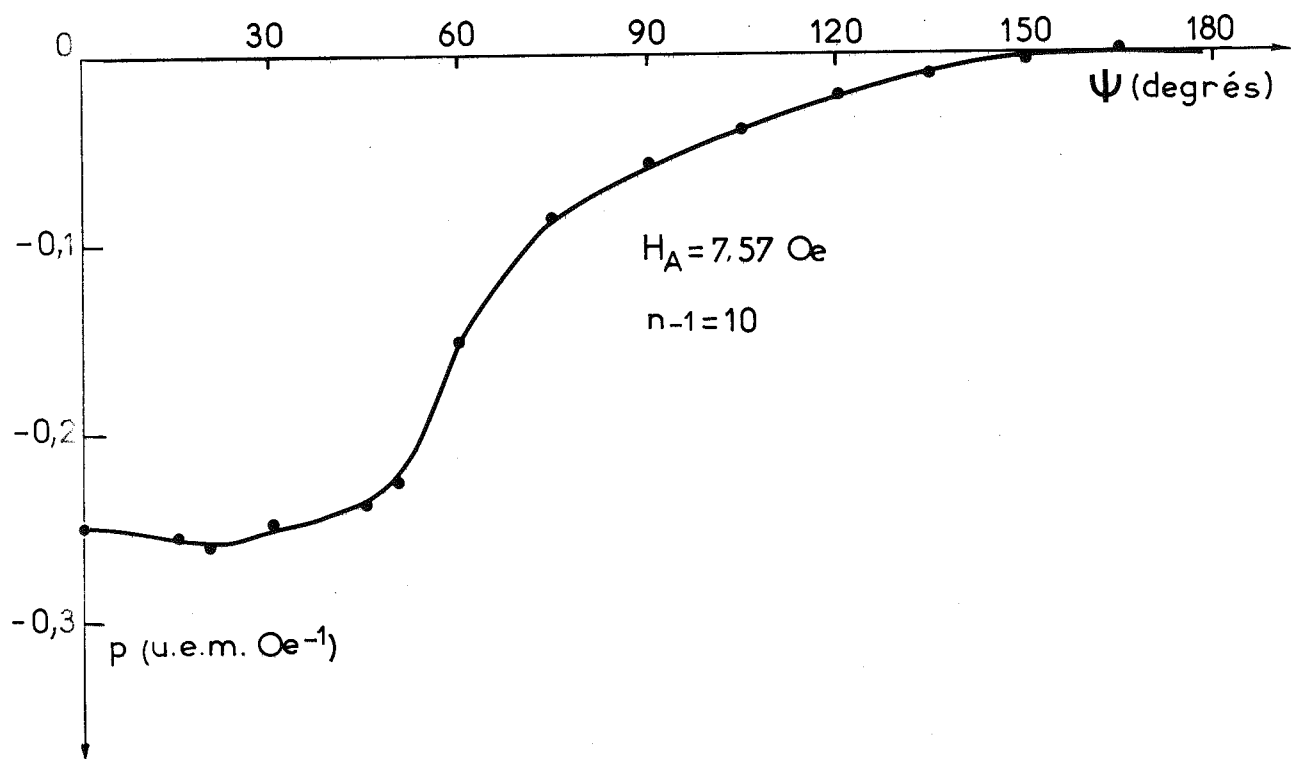


Fig. 66

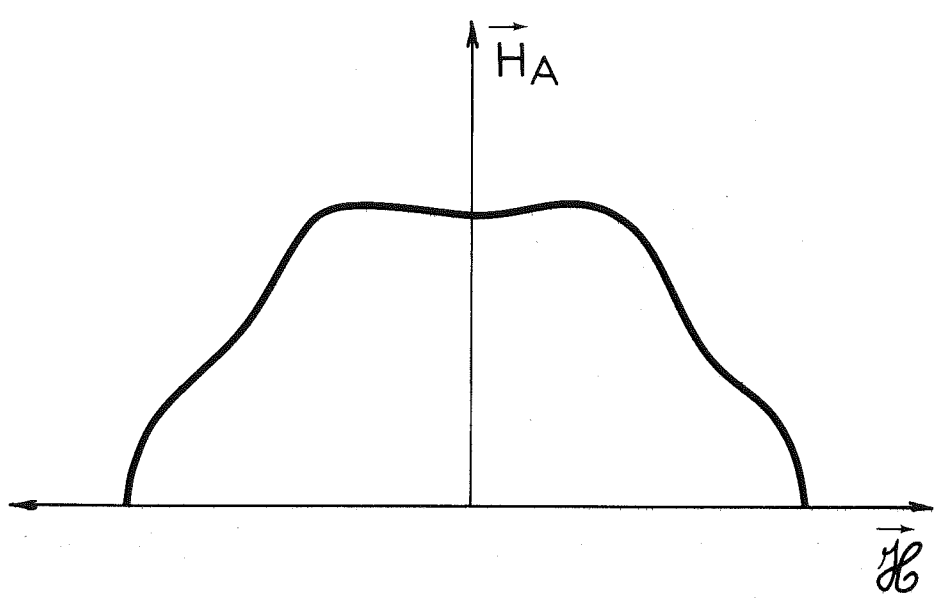


Fig. 67

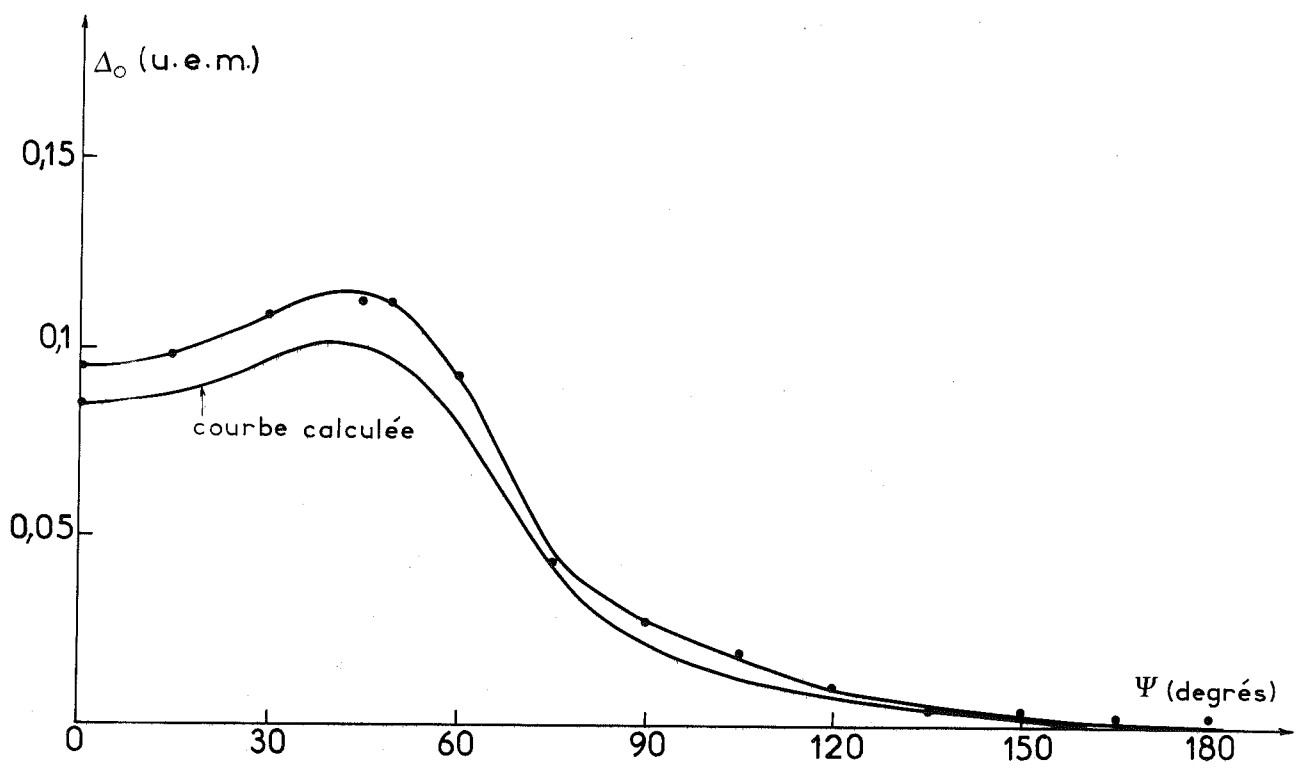


Fig. 68

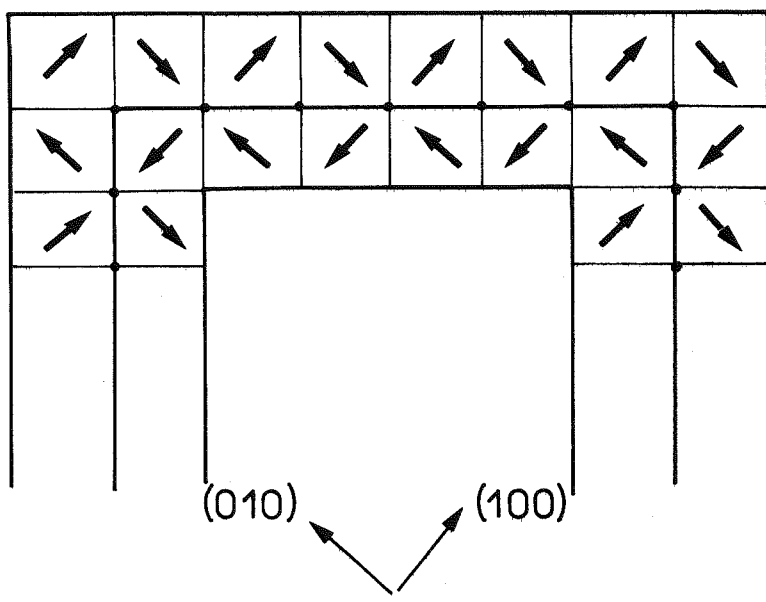


Fig. 69

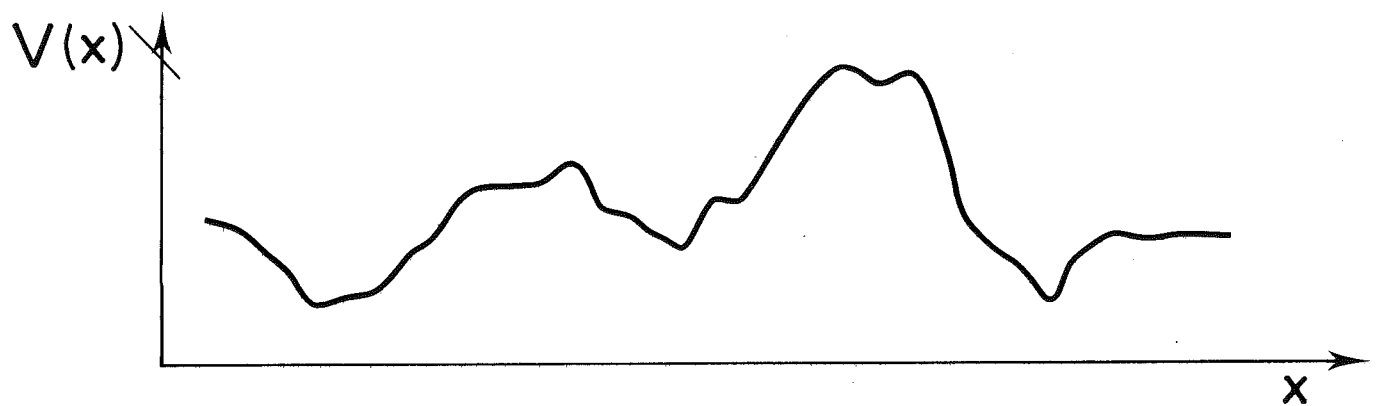


Fig. 70

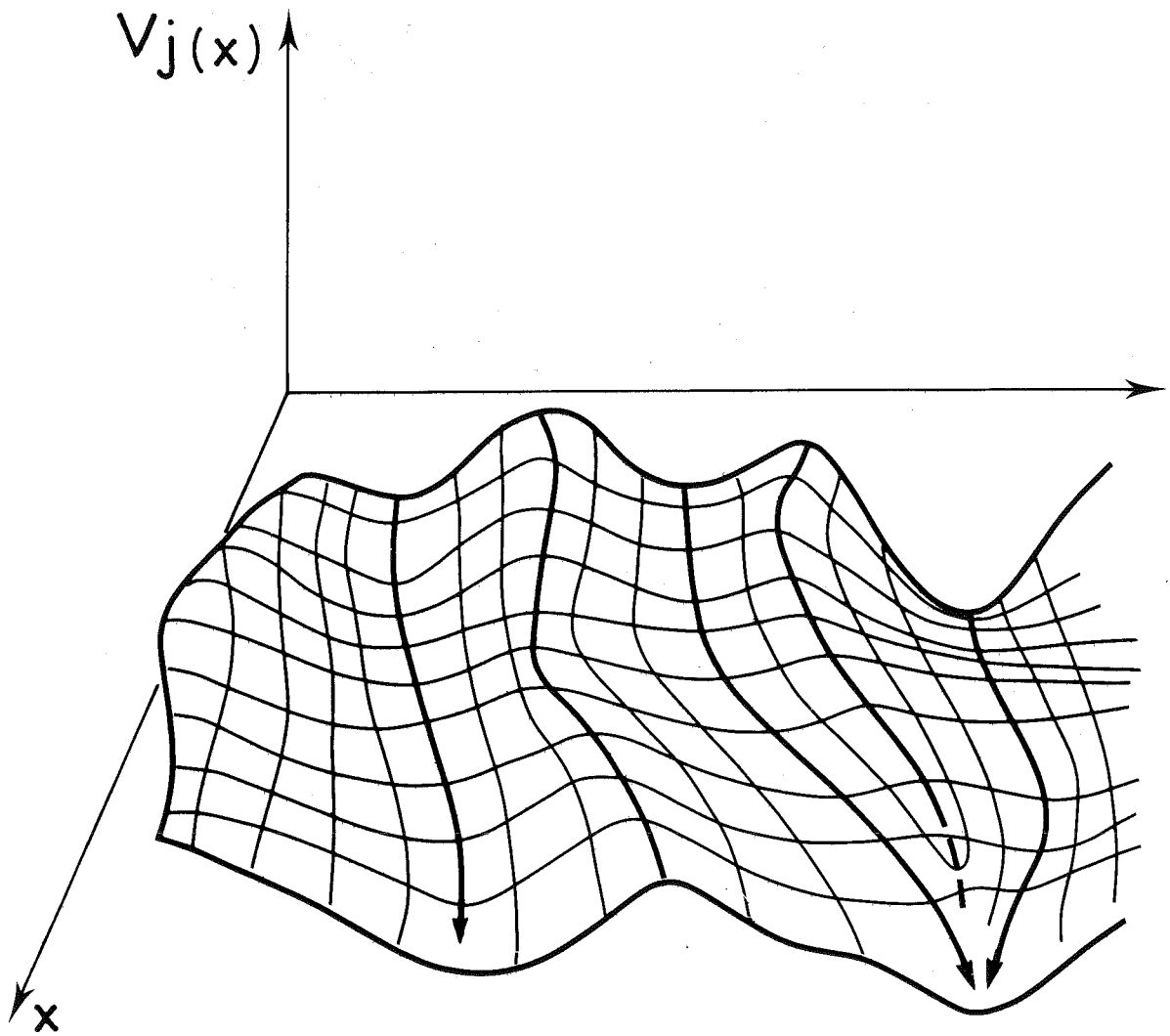


Fig. 71

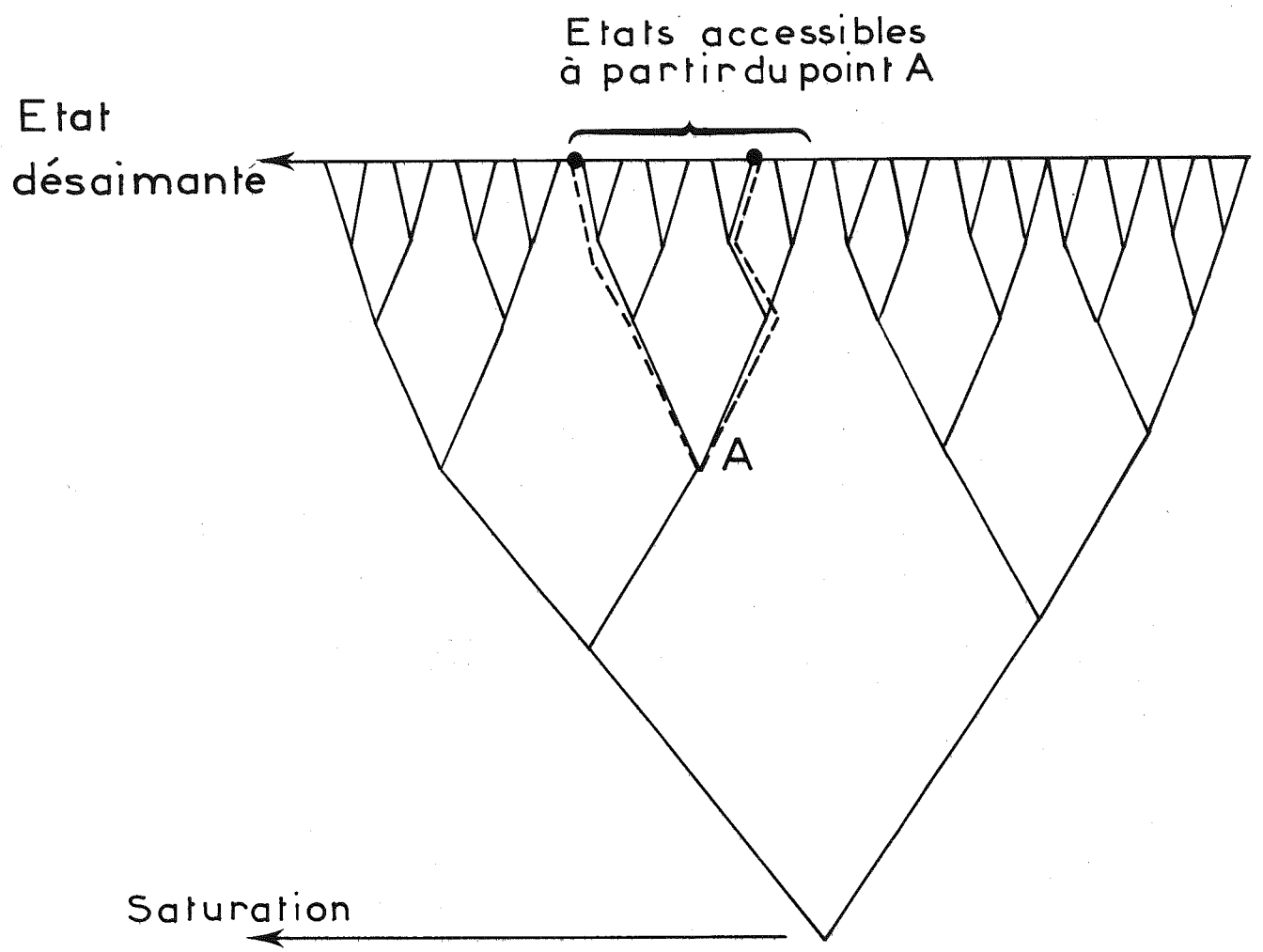


Fig.72

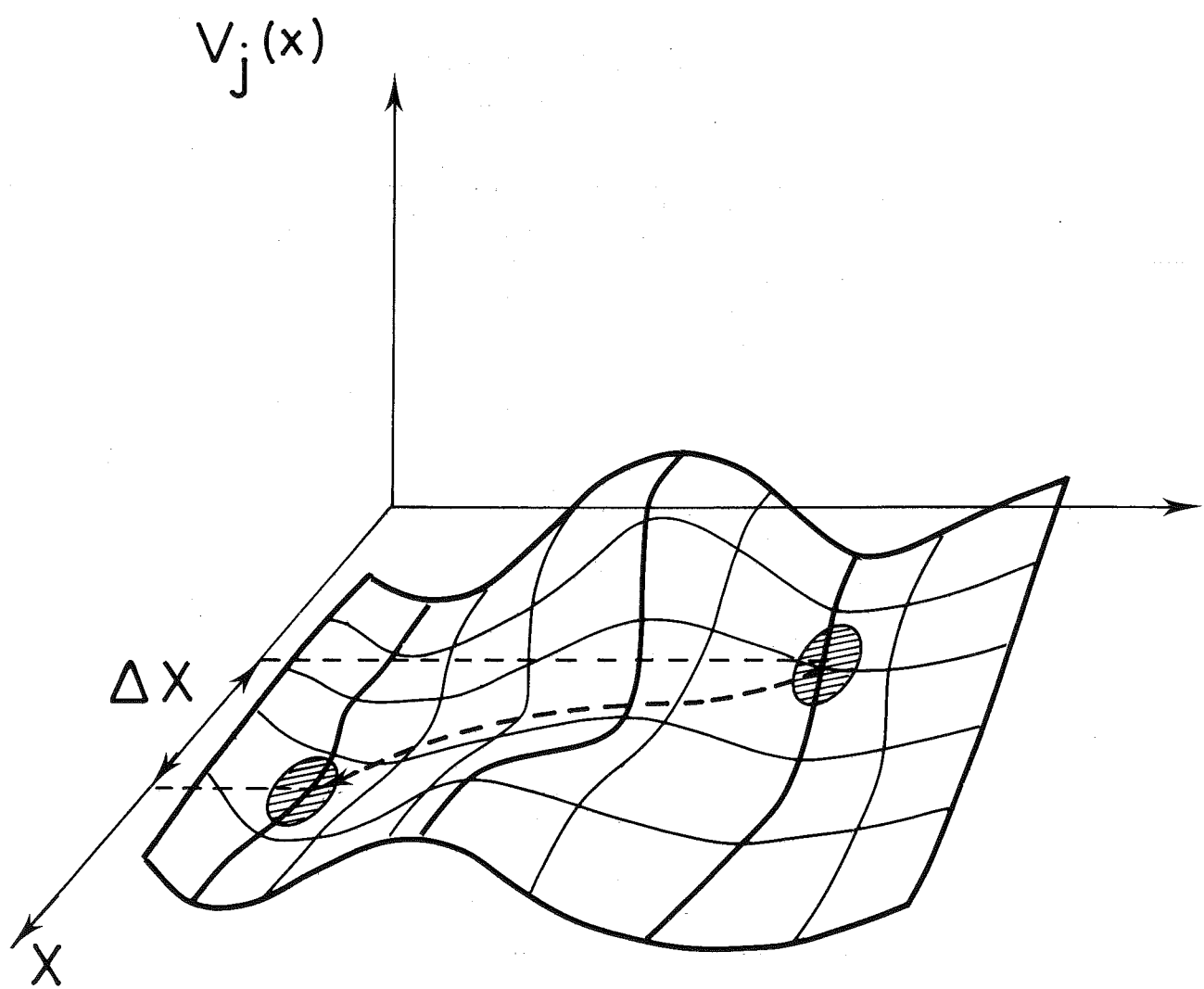


Fig. 73

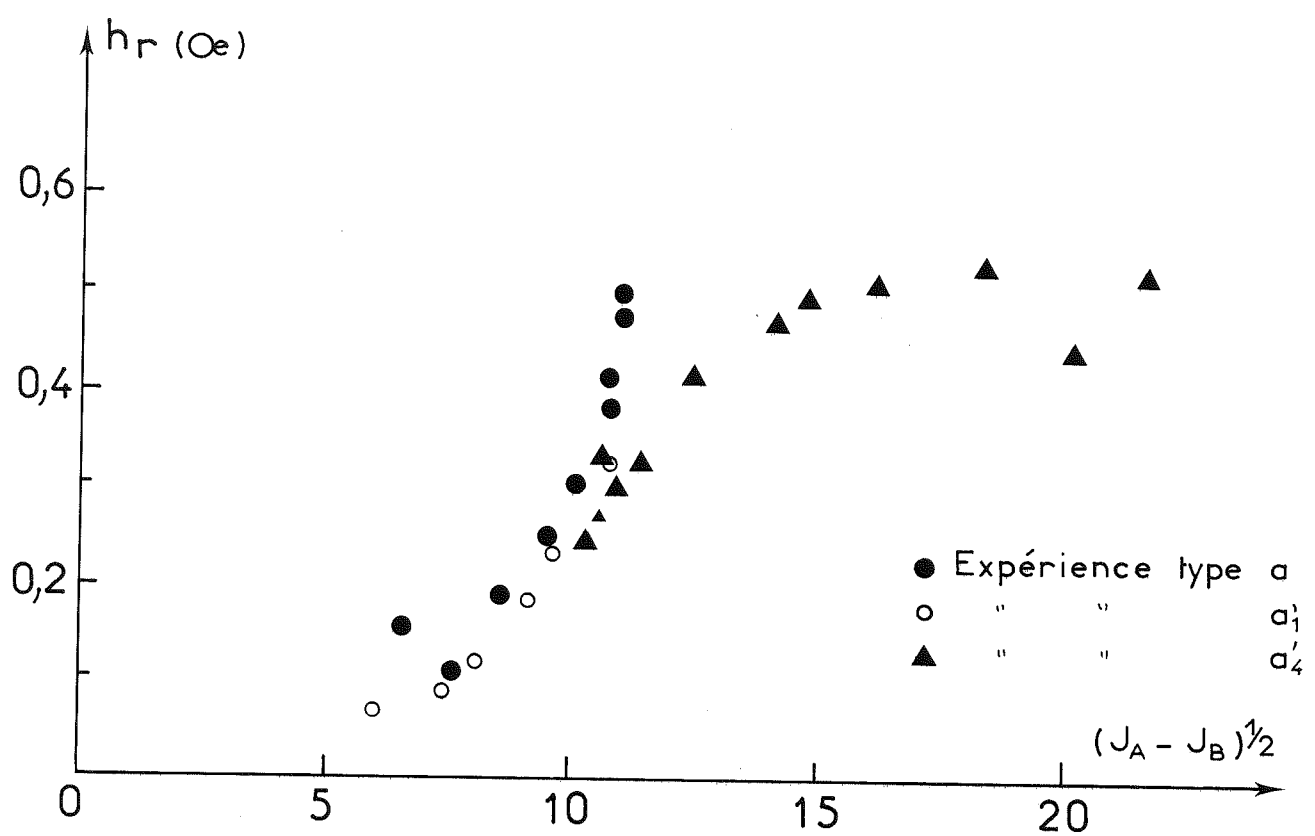


Fig.74

